

06.01.14

# FY 1005 / TFY 4165 Termisk fysikk

## Vår 2014

(1)

Hovedtema :

### I. Termodynamikk

[ PCH 1-8 ; LHL 13, 15-17 ; YF 17, 19-20 ]

- teori for makroskopiske systemer (stort antall partikler)
- i (eller nær) termisk likevekt
- beskriver sammenheng mellom (relativt få) "termiske størrelser" som trykk  $p$ , temperatur  $T$ , (partikkel-) tetthet  $\rho$  (evt. volum  $V$  og antall partikler  $N$  ;  $\rho = N/V$ ) osv.
- bygger på grunnleggende innsikt om varme, uttrykt i to lover:
  1. varme er en form for (overføring av) energi
  2. det er begrensninger for omsetting av varme til arbeid
- god, generell, gammel teori!  
Einstein: "The only physical theory of universal content which will never be overthrown."

### II. Kinetisk gasteori og Statistisk mekanikk

[ PCH 9 ; LHL 14, 17 ; YF 18 ]

- teori basert på molekylenees bevegelse, samt eventuelle vekselvirkninger mellom molekylene (stat. mek.)
- gir grunnlag for mikroskopisk mekanisk forståelse av termodynamiske størrelser ( $p, T$  osv.) og ulike transportfenomener

### III. Transportfenomener

(2)

[PCH 10; LHL 14,18; YF 17]

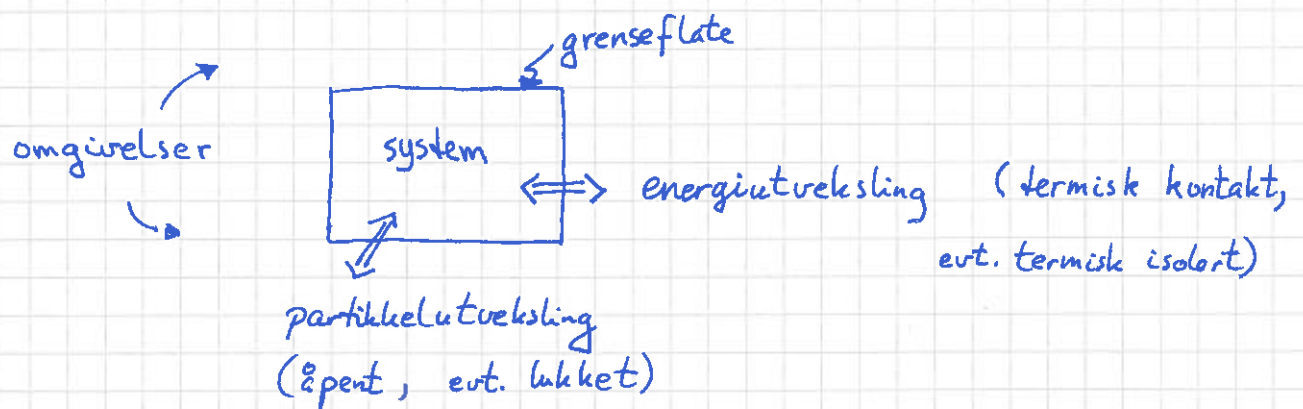
- energioverføring pga temperaturforskjeller ( $\nabla T \neq 0$ ), i medier (via kollisjoner; varmeledning) men også i vakuum (via elektromagnetiske bølger; varmestråling)
- energioverføring pga strømming (konveksjon)
- partikkeltransport pga konsentrasjonsforskjeller ( $\nabla \rho \neq 0$ ; diffusjon)

PCH

18.01.14

#### 1. Grunnbegreper [LHL 13; YF 17,18]

##### 1.1 System og omgivelser

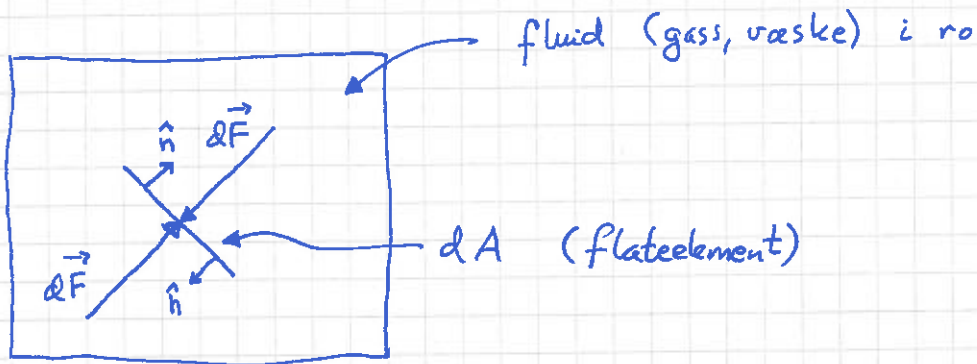


Eks: Kaffekopp: termisk kontakt, åpen  
Termos<sup>m</sup>/lokk: —"— isolert, lukket  
Vakuumpaket biff: —"— kontakt, —"—

# Trykk

[LL 7.2, 8.1-8.4 ; YF 11.4, 12.2-12.3]

③



$d\vec{F} = -p d\vec{A} = -p \hat{n} dA =$  kraft på  $dA$  fra  
fluidet (på den ene siden av  $dA$ ); netto kraft  
på  $dA$  er null

$p \stackrel{\text{def}}{=} dF/dA =$  kraft pr flateenhet = trykket i fluidet;

trykket er en skalar størrelse, og isotrop, dvs  
uavh. av  $dA$ 's orientering

[Kommentar: Har mer generelt  $\vec{F} = \sigma \vec{A}$ , der  $\sigma$  er den  
såkalte stresstensoren, generelt med både diagonale og  
ikke-diagonale elementer, sistnevnte ved f.eks. viskøse  
strømninger. Men i likevekt er  $\sigma$  diagonal, og  
prop. med enhetstensoren, dvs

$$\sigma = -p \begin{bmatrix} 1 & 0 & 0 \\ 0 & 1 & 0 \\ 0 & 0 & 1 \end{bmatrix},$$

der  $p =$  det hydrostatiske trykket.]

Enhet (SI):  $[p] = \text{N/m}^2 = \text{Pa}$  (pascal)

Andre enheter:

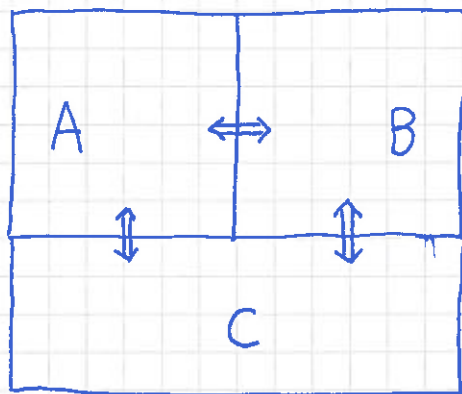
$$1 \text{ atm} \approx 1.01325 \cdot 10^5 \text{ Pa} = 1.01325 \text{ bar}$$

$$1 \text{ bar} = 10^5 \text{ Pa}$$

$$1 \text{ psi} = 1 \text{ pund (0.454 kg)} \text{ pr kvadrattomme (25.4}^2 \text{ mm}^2)$$

## 1.2 Temperatur og termisk likevekt [LHL 13.1; YF 17.1]

④



$\rightleftharpoons$  : termisk kontakt, dvs systemene kan utveksle energi

- hvis det ikke er netto energistrøm mellom A og B, er A og B i termisk likevekt
- A og B har da like temperatur,  $T_A = T_B$
- hvis A er i term. likevekt med B, og B er i term. likevekt med C, er også A i term. likevekt med C, og  $T_A = T_B = T_C$  (termodynamikkens 0. lov)

Temp.  $T$  måles med termometer, via andre fysiske størrelser:

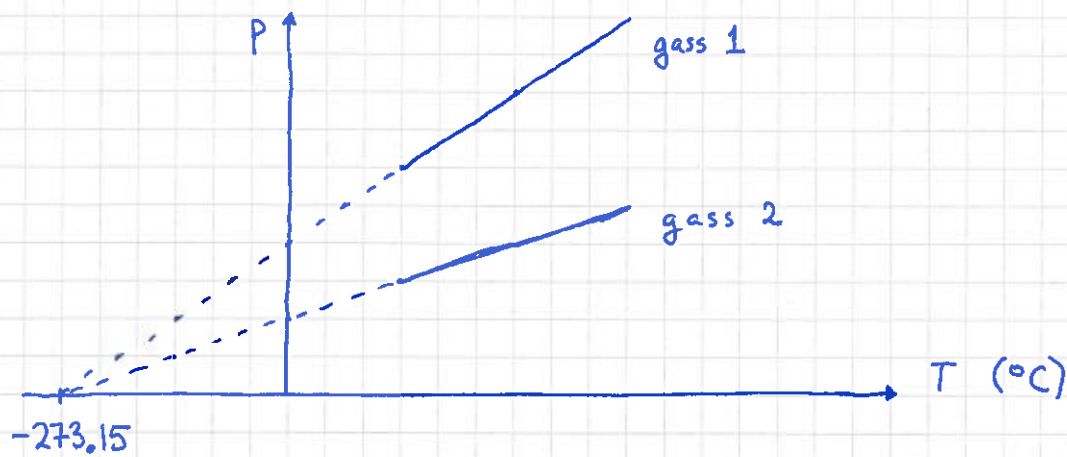
- væskevolum (økt  $T \Rightarrow$  økt volum; som regel!)
- gasstrykk (økt  $T \Rightarrow$  økt  $p$ )
- lengde av fast stoff (økt  $T \Rightarrow$  økt  $L$ )
- elektrisk motstand (økt  $T \Rightarrow$  økt  $R$  i metall)

Kalibrering av  $T$  a la Celsius (m.fl.):

- $T$  ( $H_2O$  fryser ved  $p = 1 \text{ atm}$ ) =  $0 \text{ }^\circ\text{C}$
- $T$  ( $H_2O$  koker ——— " ———) =  $100 \text{ }^\circ\text{C}$

Måling av  $p(T)$  for fortynnede gasser:

(5)



Dvs: Vi måler  $p$  prop. med  $T$  og  $p = 0$  for  $T$  ekstrapolert til  $-273.15$  °C

Dvs:  $p(T) = A \cdot T$ , med absolutt temperatur  $T$  målt i K (kelvin), slik at  $T(K) = T(°C) + 273.15$

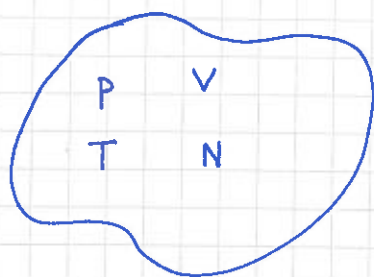
Referanse siden 1954:

Vannets trippelpunkt ( $P_t, T_t$ ), dvs der is, vann og vandamp kan eksistere i termisk likevekt med hverandre, er (eksakt)

$$P_t = 611.73 \text{ Pa} \quad \text{og} \quad T_t = 273.16 \text{ K} = 0.01 \text{ °C}$$

(Merk at  $P_t$  er partialtrykket som utøves av vannmolekylene i (f.eks) lufta.)

### 1.3 Tilstandsvariable og tilstandsligninger [LHL 13.3; YF 18.1] (6)



Makroskopisk system i termisk likevekt er i tilstand beskrevet ved tilstandsvariable  $p, T, V,$   
 $\rho (= N/V)$  osv.

Ekstensiv variable er mengdeproporsjonale:



Intensiv variable er mengdeuavhengige:



Tilstandsligning: sammenheng mellom tilstandsvariable,

$$\text{generelt } f(p, V, T) = 0,$$

dersom 2 variable er nok for å

spesifisere tilstanden (for gitt stoffmengde)

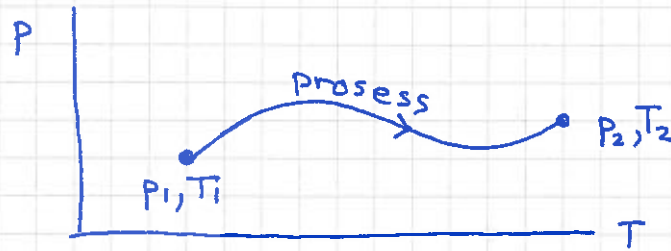
Med  $p$  og  $T$  som variable er  $V = V(p, T)$

—  $p$  og  $V$  — " —————  $T = T(p, V)$

—  $V$  og  $T$  — " —————  $p = p(V, T)$

Tilst.ligninger kan (i enkle tilfeller) beregnes fra en mikroskopisk modell, evt. fastlagges eksperimentelt.

Termodynamisk prosess : endring i tilstandsvariable



13.01.14

1.4 Ideell gass

[LHL 13.3; YF 18.1]

$$pV = nRT$$

Tilst.lign. for ideell gass; god tilnærming for fortynnede gasser

$n$  = antall mol ; 1 mol  $\approx 6.02 \cdot 10^{23}$  molekyler

$R \approx 8.314$  J/mol·K = (den molare) gasskonstanten

$n$  mol tilsvarer  $N = n N_A$  molekyler,

$N_A = 6.02 \cdot 10^{23}$  = Avogadros tall

$$\Rightarrow pV = N \cdot \frac{R}{N_A} \cdot T = NkT$$

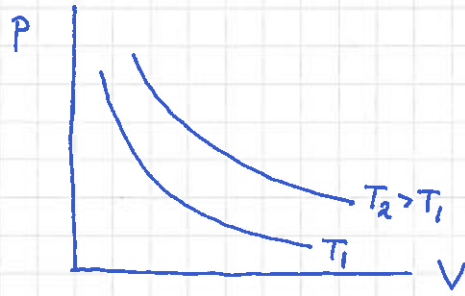
med  $k = R/N_A \approx 1.38 \cdot 10^{-23}$  J/K = Boltzmanns konstant

$$\Rightarrow p = \frac{N}{V} kT = \rho kT ; \rho = \frac{N}{V} = \text{partikkeltettheten}$$

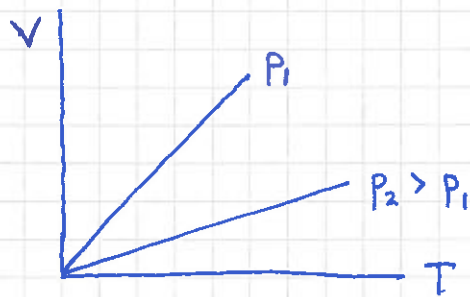
$$\Rightarrow \rho = \frac{1}{kT} \cdot p = \beta p ; \beta = \frac{1}{kT}$$

Senere skal vi utlede tilst.lign. for ideell gass med kinetisk gassteori.

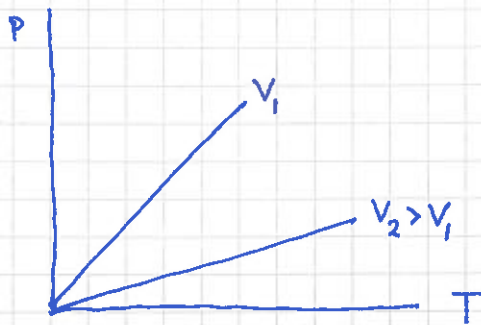
Isoterm :  $T = \text{konstant} \Rightarrow p = \frac{\text{konst.}}{V}$  (ideell gass) (8)



Isobar :  $p = \text{konstant} \Rightarrow V = \text{konst.} \cdot T$



Isokor :  $V = \text{konstant} \Rightarrow p = \text{konst.} \cdot T$



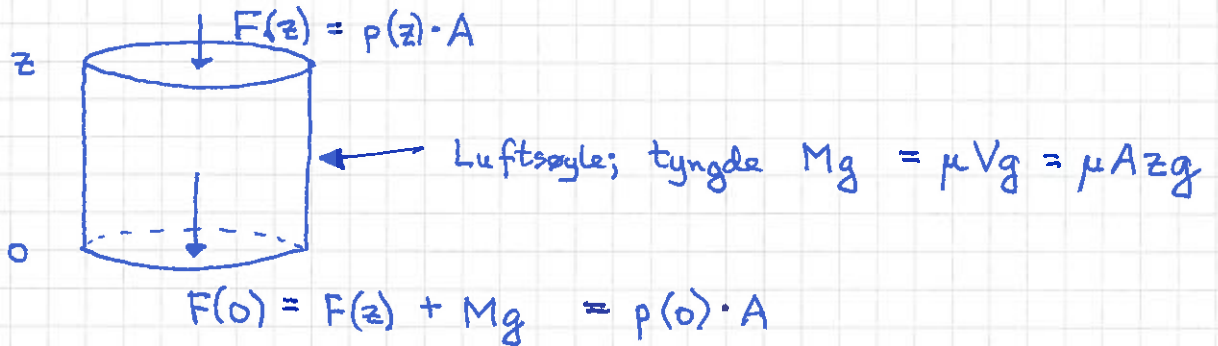
## Eksempler

9

Eks 1: Hvordan avtar lufttrykket med høyden over bakken?

Løsn:

Antar først små høyder  $z \Rightarrow$  massetetthet  $\mu$  og tyngdens akselerasjon  $g$  tilnærmet konstant



$$\Rightarrow p(z) A + \mu A z g = p(0) A$$

$$\Rightarrow \underline{p(z) = p(0) - \mu g z}$$

[Gjelder også i væsker, og gir f.eks. trykkøkning som funksjon av dybden ( $z < 0$ ) under overflaten.]

På differensiell form:  $\frac{dp}{dz} = -\mu g$  [Øving 1]

Anta ideell gass:  $pV = nRT$

$$\Rightarrow \mu = nm/V = pm/RT; \quad m = \text{midlere molare masse}$$

$$\text{Dermed: } dp/p = -(mg/RT) dz$$

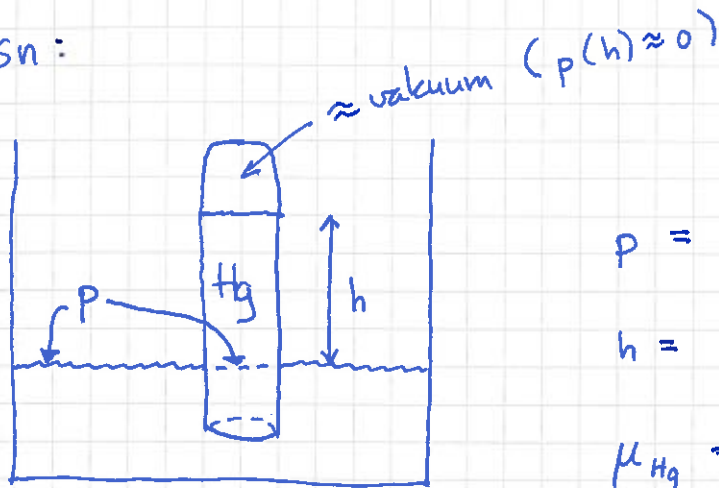
som med f.eks. kjent  $p(0) = p_0$  gir

$$p(z) = p_0 \exp \left\{ - \int_0^z \frac{mg}{RT} dz \right\}$$

Løses analytisk eller numerisk, etter behov.

Eks 2: Hva er 1 atm i mm Hg? Og i mm H<sub>2</sub>O? (10)

Løsn:



$$p = \rho g h$$

$$h = p / \rho g$$

$$\rho_{\text{Hg}} = 13.6 \text{ g/cm}^3 = 13.6 \cdot 10^3 \text{ kg/m}^3$$

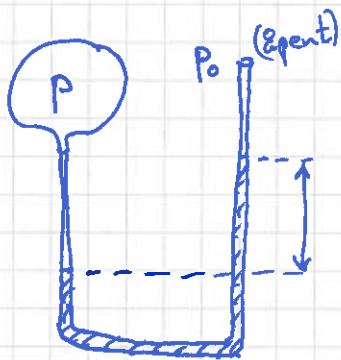
$$\Rightarrow h_{\text{Hg}} (1 \text{ atm}) = \frac{1.013 \cdot 10^5 \text{ N/m}^2}{13.6 \cdot 10^3 \text{ kg/m}^3 \cdot 9.81 \text{ m/s}^2} \approx 0.760 \text{ m} = \underline{760 \text{ mm}}$$

Med vann:

$$\rho_{\text{H}_2\text{O}} = 10^3 \text{ kg/m}^3 \Rightarrow h_{\text{H}_2\text{O}} (1 \text{ atm}) = 0.76 \text{ m} \cdot 13.6 \approx \underline{10.3 \text{ m}}$$

[som da blir max høydeforskjell for pumping av vann med ei sugepumpe;  $p_{\text{min}} = 0$ ]

Eks 3: Hva er trykket i en oppblåst ballong?



$$h \sim 25 \text{ cm} \Rightarrow p - p_0 \sim 10^3 \cdot 9.8 \cdot 0.25 \text{ Pa}$$

$$\sim 2500 \text{ Pa}$$

$$\sim 0.025 \text{ atm}$$

## 1.5 Målbare koeffisienter [LHL 13.2; YF 17.4]

(11)

Eks: Hva blir relativ volumendring,  $\Delta V/V$ , som følge av temp.ending  $\Delta T$ , målt ved  $p = \text{konst.}$  ?

### Volumutvidelseskoeffisient

$$\alpha_V = \lim_{\Delta T \rightarrow 0} \left( \frac{\Delta V/V}{\Delta T} \right)_{p = \text{konst.}} = \frac{1}{V} \left( \frac{\partial V}{\partial T} \right)_p$$

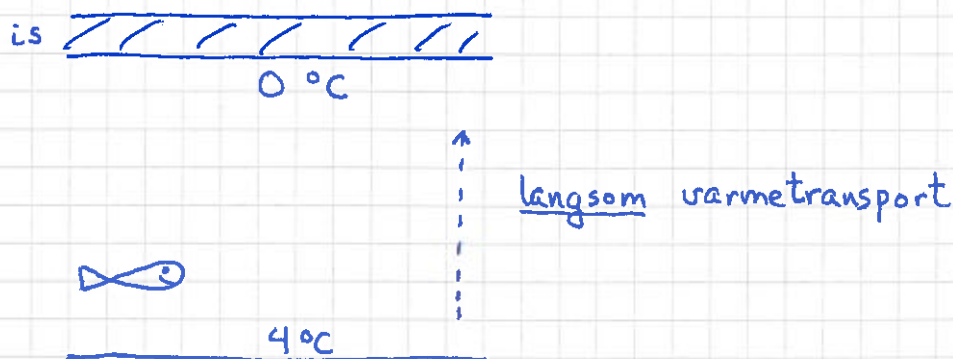
Eks 1:  $\alpha_V(\text{glass}) = 2.7 \cdot 10^{-5} \text{ K}^{-1} \ll \alpha_V(\text{etanol}) \approx 10^{-3} \text{ K}^{-1}$

$\Rightarrow$  spritsøylen stiger i termometeret når det blir varmere

Eks 2:  $\alpha_V(\text{H}_2\text{O}) < 0$  for  $0^\circ\text{C} < T < 4^\circ\text{C}$

$\Rightarrow \rho_{\text{H}_2\text{O}}(4^\circ\text{C}) > \rho_{\text{H}_2\text{O}}(0^\circ\text{C})$   
(0.999973 kg/L)      (0.999841 kg/L)

$\Rightarrow$  innsjøer fryser ikke til bunns



Mikroskopisk forklaring: Åpen (Romsig) krystallstruktur i is delvis intakt i vann opp til  $4^\circ\text{C}$ .

## Lengdeutvidelseskoeffisient

(12)

$$\alpha_L = \frac{1}{L} \left( \frac{\partial L}{\partial T} \right)_p ; \text{ kun relevant for faste stoffer}$$

For kloss med sidelengder  $L$  er  $V = L^3$ , dvs  $L = V^{1/3}$

$$\Rightarrow \underline{\alpha_L} = V^{-1/3} \cdot \frac{1}{3} V^{1/3-1} \cdot \left( \frac{\partial V}{\partial T} \right)_p = \underline{\frac{1}{3} \alpha_V}$$

## Trykk-koeffisient

$$\alpha_p = \frac{1}{p} \left( \frac{\partial p}{\partial T} \right)_V$$

## Isoterm kompressibilitet

$$\beta_T = -\frac{1}{V} \left( \frac{\partial V}{\partial p} \right)_T$$

$$[\Delta p > 0 \Rightarrow \Delta V < 0 \Rightarrow \beta_T > 0]$$

## Bulkmodulen

$$B = 1/\beta_T$$

$$[B > 0]$$

alltid (?)

$$\text{Eks: } \beta_T (\text{H}_2\text{O}) \approx 5 \cdot 10^{-5} \text{ atm}^{-1}$$

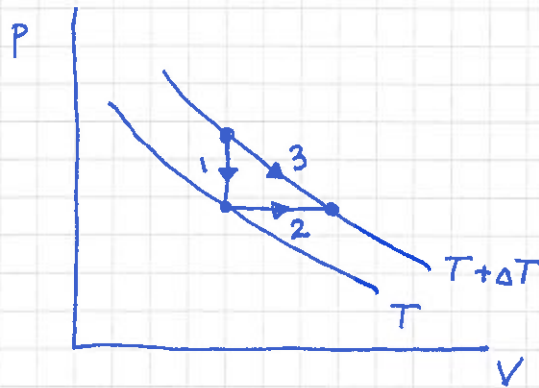
$\Rightarrow$  inkompressibel, med god tilnærming!

(gjelder de fleste væsker og faste stoffer)

Eks: Vis at  $\alpha_p \cdot \beta_T / \alpha_V = p^{-1}$

(13)

Løsn:



langs 1:  $-\Delta p = p \alpha_p \Delta T$  ( $\Delta p < 0$ )

langs 2:  $\Delta V = V \alpha_V \Delta T$  ( $\Delta V > 0$ )

langs 3:  $\Delta p = -\Delta V / V \beta_T$  (isoterm)

Fra 1 og 2:  $-\frac{\Delta p}{\Delta V} = \frac{p \alpha_p}{V \alpha_V} \Rightarrow \frac{p \alpha_p}{V \alpha_V} = \frac{1}{V \beta_T}$

Fra 3:  $-\frac{\Delta p}{\Delta V} = \frac{1}{V \beta_T} \Rightarrow \frac{\alpha_p \beta_T}{\alpha_V} = p^{-1}$

For ideell gass er:

$$\alpha_V = \frac{1}{V} \frac{\partial}{\partial T} \left( \frac{nRT}{p} \right) = \frac{nR}{pV} = \frac{1}{T}$$

$$\alpha_p = \frac{1}{p} \frac{\partial}{\partial T} \left( \frac{nRT}{V} \right) = \frac{nR}{pV} = \frac{1}{T}$$

$$\beta_T = -\frac{1}{V} \frac{\partial}{\partial p} \left( \frac{nRT}{p} \right) = \frac{nRT}{p^2 V} = \frac{1}{p}$$

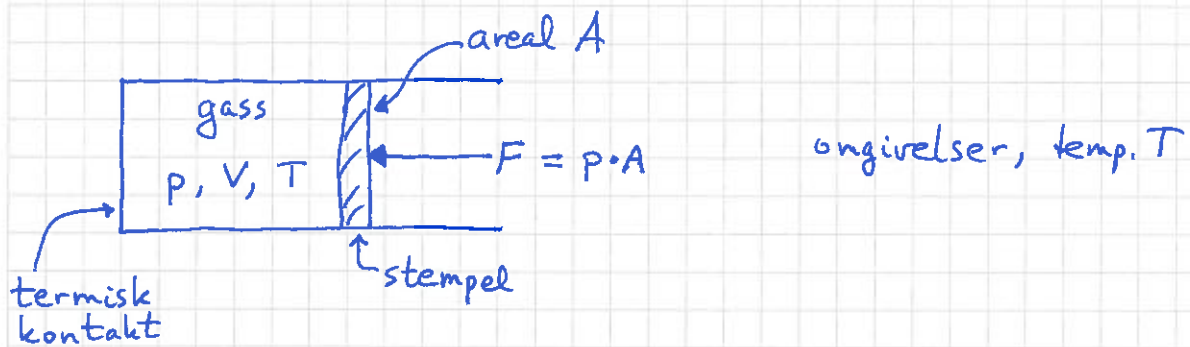
$\Rightarrow \alpha_p \beta_T / \alpha_V = 1/p$  (som altså gjelder generelt)

Måling av disse koeffisientene for et gitt stoff fastlegger sammenhengen mellom tilstandsvariablene, dvs stoffets tilstandsligning.

2.1 Reversible prosesser [LHL 13,3,13,7; YF 20.1]

= prosesser som kan reverseres / kjøres baklengs, slik at system og omgivelser returnerer til starttilstanden

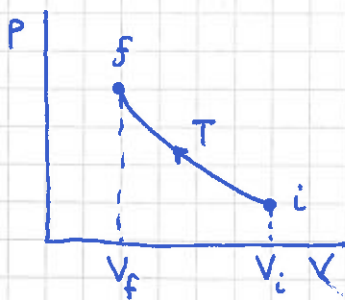
Eks: Langsom isoterm kompresjon



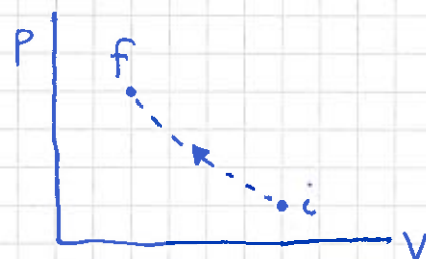
Reversibel dersom  $F$  økes "uendelig langsomt" fra  $F_i = p_i A$  til  $F_f = p_f A$ , slik at gassen har veldefinert  $p$ ,  $V$  og  $T$  hele tiden, samt at dissipative effekter kan neglisjeres (friksjon, turbulens).

Umulig i praksis ( $\Rightarrow$  alle reelle prosesser er irreversible), men kan være god tilnærming!

Kurve i likevektsdiagram  $\hat{=}$  reversibel prosess:



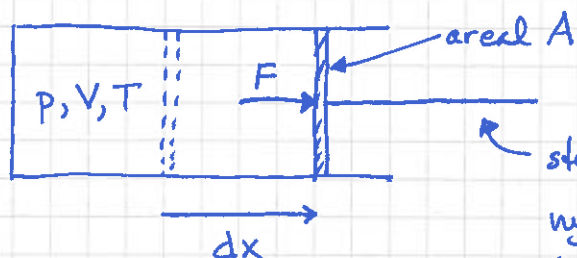
Stiplet kurve for irrev. prosess:



(ikke veldefinert  $p, T$  underveis)

Arbeid er energioverføring mellom system og omgivelser som ikke skyldes temperaturforskjeller.

Standardeksempel i termodynamikk:



stempel koblet til omgivelsene slik at nyttig arbeid kan utføres av gassen (=systemet)

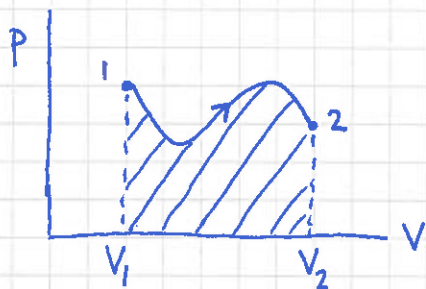
$$dW = F \cdot dx = p \cdot A \cdot \frac{dV}{A} = p \cdot dV$$

= arbeid utført av systemet på omgivelsene

Fortegnsvalg:  $dW > 0 \Rightarrow$  systemet gjør arbeid på omgir. ( $dV > 0$ )

Reversibelt arbeid fordrer langsom volumendring, og dermed ytre trykk som (nesten) bakfølger  $p$

For vilkårlig reversibel prosess:



$$W = \int_1^2 dW = \int_{V_1}^{V_2} p \, dV$$

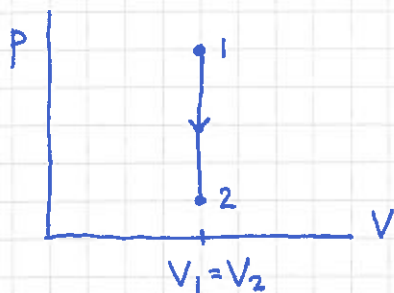
= areal under kurven  $p(V)$

Ulike veier fra 1 til 2  $\Rightarrow$  ulike arbeid  $W$

$\Rightarrow$   $W$  kan ikke være en tilstandsfunksjon, og  $dW$  er ikke et totalt differensial  $\Rightarrow$  skriver gjerne  $\oint dW$ , og  $\oint dW \neq 0$ .

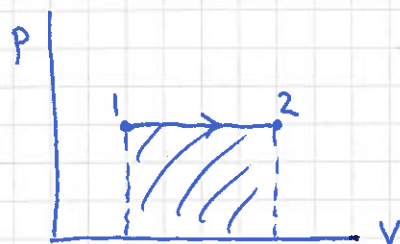
# Arbeid i ulike reversible prosesser:

Isokor prosess:



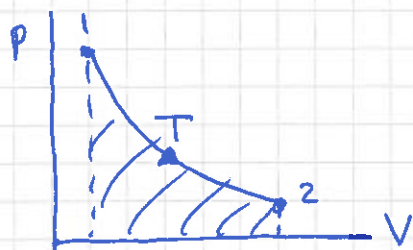
$$W = \int_{V_1}^{V_2} p dV = \underline{\underline{0}}$$

Isobar prosess:



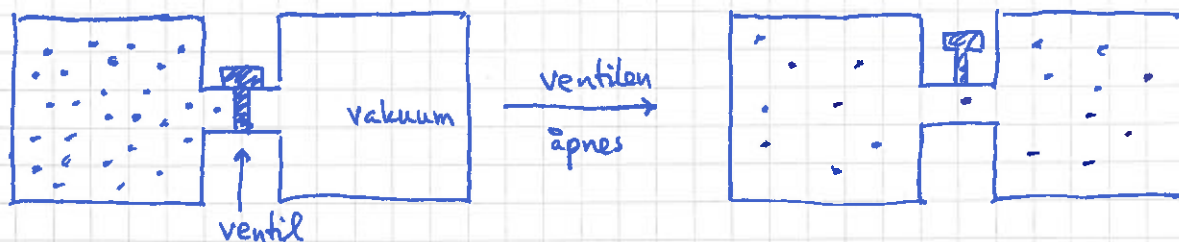
$$W = p \int_{V_1}^{V_2} dV = \underline{\underline{p \cdot (V_2 - V_1)}}$$

Isoterm prosess, med ideell gass:



$$p(V) = nRT/V$$
$$\Rightarrow W = nRT \int_{V_1}^{V_2} \frac{dV}{V} = \underline{\underline{nRT \ln \frac{V_2}{V_1}}}$$

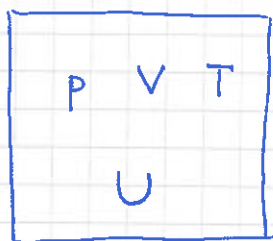
Hva med fri ekspansjon?



Her er  $p > 0$  og  $V_2 > V_1$  slik at  $\int p dV > 0$ , men irreversibel prosess, så  $dW = p dV$  kan ikke brukes!  
(Og  $W = 0$ .)

## 2.3 Indre energi [LHL 13.6; YF 19.4 + 19.6]

(17)



$U$  = indre energi = summen av molekylene kinetiske og potensielle energi (pga innbyrdes vekselvirkning)

Indre kinetisk energi  $E_k$  avh. av molekylene hastigheter, og dermed temperaturen  $T$  (som vi snart skal se).

Indre potensiell energi  $E_p$  avh. av avstanden mellom molekylene, og dermed systemets volum  $V$ .

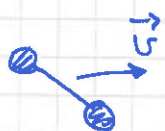
$\Rightarrow$  generelt er  $U = U(T, V)$

Ideell gass:  $E_p = 0 \Rightarrow U$  avh. av  $V \Rightarrow U = U(T)$

Punktpartikler:  $E_k = E_k^{\text{trans}}$

Molekyler med indre frihetsgrader:

$$E_k = E_k^{\text{trans}} + E_k^{\text{rot}} + E_k^{\text{vib}}$$



translasjon



rotasjon



vibrasjon

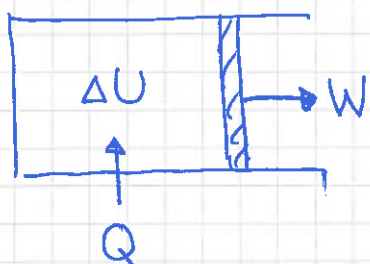
For gitt  $p$  og  $T$  er  $U$  prop. med  $N$ , dvs ekstensiv størrelse.  
[ $u = U/N$  = indre energi pr molekyl, er intensiv størrelse]

$U$  er tilstandsfunksjon  $\Rightarrow dU$  er totalt differensial, og  $\oint dU = 0$ .

1. lov: Varme er energitransport pga temperaturforskjeller

(F.eks. varmeledning og stråling.)

Siden andre former for energioverføring er arbeid, har vi pga energibevarelse:



$$Q = \Delta U + W$$

↑ tilført varme      ↑ endring i indre energi      ↑ utført arbeid

For små endringer:

$$dQ = dU + dW$$

ders  $Q$  (og  $W$ ) er prosessvariable, ikke tilstandsfunksjoner, og  $dQ$  (og  $dW$ ) er ikke totale differensialer

Enheter:  $[U] = [Q] = [W] = \text{J}$  (SI)

Mye brukt (spesielt for varme):

$$\begin{aligned} 1 \text{ cal (kalori)} &= \text{energimengde som øker } T \text{ fra } 14.5 \text{ til } 15.5^\circ\text{C} \\ &\text{ i } 1 \text{ gram } \text{H}_2\text{O} \text{ ved } p = 1 \text{ atm.} \\ &= 4.184 \text{ J} \end{aligned}$$

$$\text{Kjemikere: } 1 \text{ kcal/mol} = 1000 \cdot 4.184 \text{ J} / N_A \approx 6.95 \cdot 10^{-21} \text{ J} \approx 43.4 \text{ meV}$$

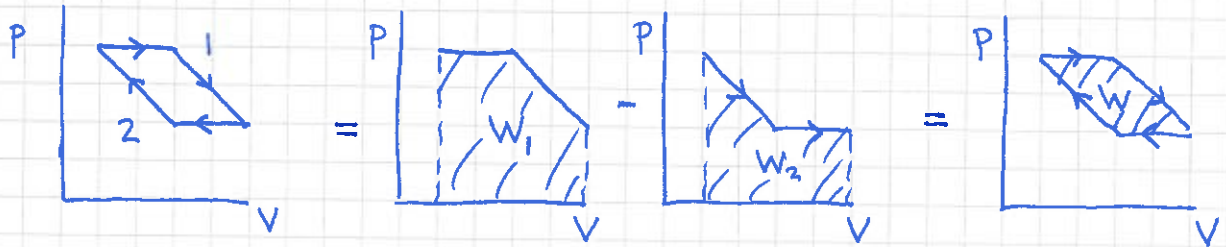
(pr partikkel)

## 2.5 Kretsprosesser. Adiabatiske prosesser [LHL 15.1; YF 19.4+19.5] (19)

En kretsprosess starter og ender i samme tilstand.

$\Rightarrow \Delta U = 0$  og  $Q = W$  for kretsprosess

Arbeid pr syklus = omskuttet areal i  $pV$ -planet:



Omløp med klokka  $\Rightarrow W > 0$ ; positivt arbeid utført av systemet

En adiabatisk prosess er en prosess der varme ikke utveksles mellom system og omgivelser,  $Q = 0$ .

1. lov gir da:  $\Delta U = -W$

## 2.6 Varmekapasitet [LHL 15.2; YF 17.5, 19.7]

$$C = \frac{dQ}{dT}$$

$\Rightarrow \Delta Q = C \Delta T$ , dvs at legeme med stor varmekapasitet

$C$  krever stor varmemengde  $\Delta Q$  tilført for å gi ønsket  $\Delta T$

Siden  $dQ$  avhenger av prosessen (dvs hvordan varme tilføres), må også  $C$  avhenge av prosessen.

Med  $V = \text{konst}$ :

(20)

$$C_V = \left( \frac{dQ}{dT} \right)_V = \left( \frac{dU}{dT} \right)_V = \left( \frac{\partial U}{\partial T} \right)_V \quad (\text{da } dW = 0)$$

Med  $p = \text{konst}$ :

$$C_p = \left( \frac{dQ}{dT} \right)_p = \left( \frac{dU + p dV}{dT} \right)_p \quad \left( \begin{array}{l} \text{hvis reversibelt arbeid} \\ dW = p dV \end{array} \right)$$

- Kan ha  $dV/dT < 0$  (jf vann!), men har alltid  $C_p > C_V$
- Enhet:  $[C] = \text{J/K}$
- $C$  er prop. med stoffmengden ( $N$ , ertl massen  $M$ )  
 $\Rightarrow$  hensiktsmessig med spesifikk varmekapasitet:

$$c = C/M = \text{varmekap. pr masseenhet} \quad (\text{J/kg} \cdot \text{K})$$

$$c_m = C/n = \text{---"--- mol} \quad (\text{J/mol} \cdot \text{K})$$

(= molar varmekap.)

2.7  $C_p - C_V$  [LHL 15.2 ; YF 19.7]

$$dQ = dU + p dV \quad (\text{1. lov med rev. arbeid } dW = p dV)$$

$$= \left( \frac{\partial U}{\partial T} \right)_V dT + \left( \frac{\partial U}{\partial V} \right)_T dV + p dV$$

$$\Rightarrow \left( \frac{dQ}{dT} \right)_p = \left( \frac{\partial U}{\partial T} \right)_V + \left[ \left( \frac{\partial U}{\partial V} \right)_T + p \right] \left( \frac{\partial V}{\partial T} \right)_p \quad (\text{da } \left( \frac{dV}{dT} \right)_p = \left( \frac{\partial V}{\partial T} \right)_p)$$

ders:

$$C_p - C_V = \left[ p + \left( \frac{\partial U}{\partial V} \right)_T \right] \left( \frac{\partial V}{\partial T} \right)_p \quad (\text{gjelder generelt})$$

Væsker, faste stoffer:  $\partial V/\partial T$  liten  $\Rightarrow C_p \approx C_v$  (21)

Gasser:  $\partial V/\partial T$  "betydelig"

Ideell gass:  $\partial U/\partial V = 0$ ,  $\partial V/\partial T = \partial(nRT/p)/\partial T = \frac{nR}{p} = \frac{V}{T}$

$$\Rightarrow C_p - C_v = nR ; c_{pm} - c_{vm} = R$$

Exp, reelle gasser (wikipedia): (25°C, 1 atm)

	(J/mol·K)		
	$C_{pm}$	$C_{vm}$	$C_{pm} - C_{vm}$
Ar	20.786	12.472	8.314
He	20.786	12.472	8.314
Ne	20.786	12.472	8.314
N <sub>2</sub>	29.12	20.8	8.32
O <sub>2</sub>	29.38	21.0	8.38
CO <sub>2</sub>	36.94	28.46	8.48
Vanddamp, 100°C	37.47	28.03	9.44

Dvs: Atomære gasser:  $C_{vm} \approx \frac{3}{2} R$

2-atomige "":  $C_{vm} \approx \frac{5}{2} R$

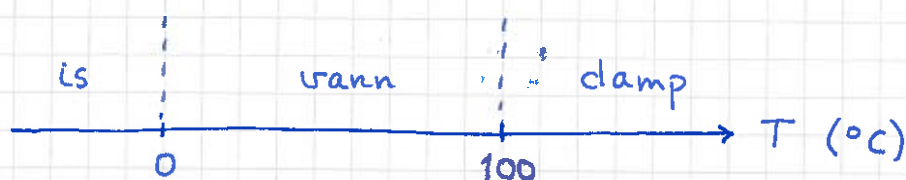
Exp, metaller (wikipedia): ( $C_v \approx C_p$ )

	$C_{pm}$ (J/mol·K)
Al	24.2
Cu	24.5
Au	25.4
Fe	25.1
Mg	24.9

Dvs:  $C_m \approx 3R$

(Dulong-Petits lov, 1819)

Faseoverganger, f.eks.  $H_2O$ :

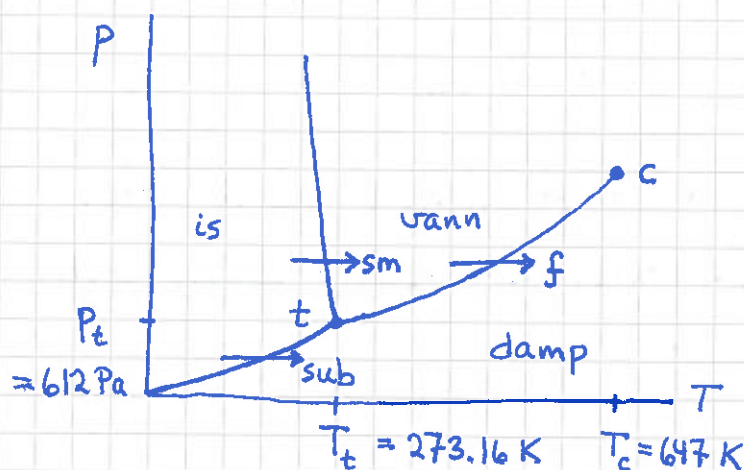


Smelting:  $Is, 0^\circ C \xrightarrow{\Delta Q} Is + vann, 0^\circ C$

Fordamping:  $Vann, 100^\circ C \xrightarrow{\Delta Q} Vann + damp, 100^\circ C$

Sublimasjon:  $IS \xrightarrow{\Delta Q} Is + damp$  (kalde, og tørre omgivelser)

Fasediagram i  $(p, T)$ -planet for  $H_2O$ :



t = trippelpunkt

c = kritisk punkt

sm: smelting

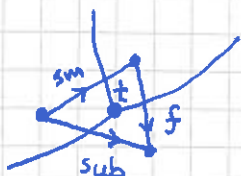
f: fordamping

sub: sublimasjon

(NB:  $p$  = partialtrykket pga  $H_2O$ )

Nær trippelpunktet:

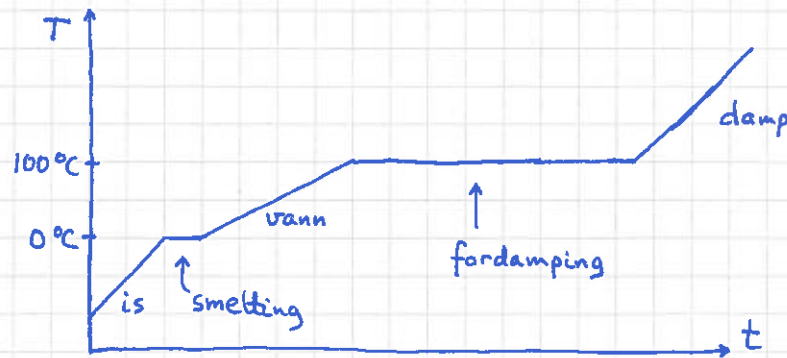
$L_{sm} \approx 80 \text{ cal/g}$	(smeltevarme)	} Fellesbetegnelse: <u>Latent varme</u>
$L_f \approx 598 \text{ ---}$	(fordampingsvarme)	
$L_{sub} \approx 678 \text{ ---}$	(sublimasjonsvarme)	



$$L_{sub} = L_{sm} + L_f$$

Eks: Hva blir  $T(t)$  når tilført varme pr tidsenhet,  $\dot{Q}/dt$ , er konstant? (Start med is.)

Løsn:



$$C_{is} \approx C_{damp} \approx \frac{1}{2} C_{vann}$$

22.01.14

Hva går latent varme med til?

- Arbeid mot ytre trykk (f, sub;  $\Delta V_{sm} \approx 0$ )
- Øke avstand mellom molekyler, dvs øke indre potensiell energi. (Konstant T  $\Rightarrow$  uendret indre kinetisk energi.)

### 2.9 Adiabatiske prosesser [LHL 15.3; YF 19.8]

Ser på ideell gass og  $\dot{Q} = 0$ :  $0 = dU + \dot{W}$  (1. lov)

Anta reversibelt arbeid:  $\dot{W} = p \cdot dV = nRT dV/V$

Fra s. 21:  $nR = C_p - C_v$

Fra s. 20:  $dU = C_v dT$

Adiabatkonstanten:  $\gamma \stackrel{\text{def}}{=} C_p / C_v$  ( $\gamma > 1$ )

$$\Rightarrow 0 = C_v dT + \underbrace{(C_p - C_v)}_{= (\gamma - 1) C_v} T dV/V$$

$$\Rightarrow \frac{dT}{T} = -(\gamma - 1) \frac{dV}{V} \Rightarrow \ln T = -(\gamma - 1) \ln V + \text{konst.}$$

$$\Rightarrow \ln T + \ln V^{\gamma - 1} = \text{konst.} \Rightarrow \ln [T \cdot V^{\gamma - 1}] = \text{konst.}$$

$$\Rightarrow T \cdot V^{\gamma - 1} = \text{konst.}$$

$$T = pV/nR = \text{konst.} \cdot pV$$

$$\Rightarrow pV \cdot V^{\gamma-1} = \text{konst.} \Rightarrow p \cdot V^{\gamma} = \text{konst.}$$

$$V = nRT/p = \text{konst.} \cdot T/p$$

$$\Rightarrow p \cdot (p/T)^{\gamma} = \text{konst.} \Rightarrow p^{1+\gamma} \cdot T^{-\gamma} = \text{konst.}$$

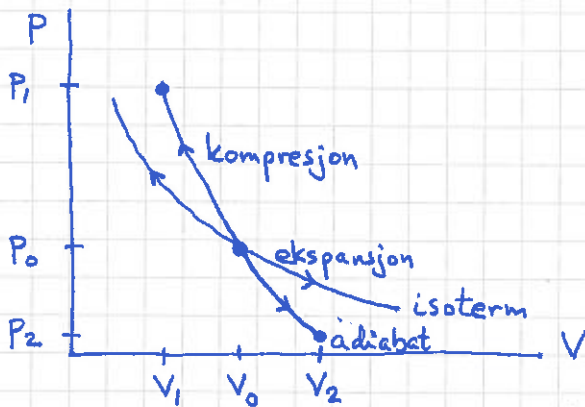
$$\Rightarrow [p^{1-\gamma} T^{\gamma}]^{\frac{1}{1-\gamma}} = \text{konst.} \Rightarrow p \cdot T^{\frac{\gamma}{1-\gamma}} = p \cdot T^{-\frac{\gamma}{\gamma-1}} = \text{konst.}$$

Oppsummert:

$T V^{\gamma-1} = \text{konst.}$	$p V^{\gamma} = \text{konst.}$	$p T^{-\frac{\gamma}{\gamma-1}} = \text{konst.}$
----------------------------------	--------------------------------	--

Adiabat,  
ideell gass

Adiabat,  $pV^{\gamma} = \text{konst.}$ , er brattere enn isoterm,  $pV = \text{konst.}$ , for ideell gass, siden  $\gamma > 1$ :



$$p_0 V_0^{\gamma} = p_1 V_1^{\gamma} = p_2 V_2^{\gamma} = p V^{\gamma}$$

$$\Rightarrow p(V) = p_0 V_0^{\gamma} \cdot V^{-\gamma}$$

Arbeid  $\int$  adiabatisk utvidelse:

$$W = p_0 V_0^{\gamma} \int_{V_1}^{V_2} V^{-\gamma} dV = p_0 V_0^{\gamma} \frac{V_2^{1-\gamma} - V_1^{1-\gamma}}{1-\gamma}$$

$$= \frac{p_2 V_2 - p_1 V_1}{1-\gamma} = \frac{p_1 V_1 - p_2 V_2}{\gamma-1} \quad (> 0)$$

$$\Rightarrow W = \frac{nR \overbrace{(T_1 - T_2)}^{-\Delta T}}{\underbrace{(C_p - C_v)}_{nR} / C_v} = -C_v \Delta T = -\Delta U$$

$$\Rightarrow \Delta U + W = 0 ; \quad \text{OK} : 1. \text{ lov med } Q = 0$$

"Kreasjon" i omgivelser med konstant trykk  $p$ :



$U$  = legemets energi  
 $pV$  = arbeid mot ytre trykk  $p$  for å få plass til legemet

Påkrevd energi:  $U + pV \stackrel{\text{def}}{=} H = \text{systemets entalpi}$   
 (en tilstandsfunksjon)

$$dH = d(U + pV) = dU + p dV + V dp = \delta Q + V dp$$

$$\Rightarrow \delta Q = dH - V dp \quad \text{eller} \quad \delta Q = dU + p dV, \quad \text{varianter av 1. lov}$$

Hvis  $p = \text{konst}$ :  $\delta Q = dH$

Hvis  $V = \text{konst}$ :  $\delta Q = dU$

$$\Rightarrow C_p = \left( \frac{\delta Q}{dT} \right)_p = \left( \frac{dH}{dT} \right)_p = \left( \frac{\partial H}{\partial T} \right)_p \quad (\text{med } H = H(T, p))$$

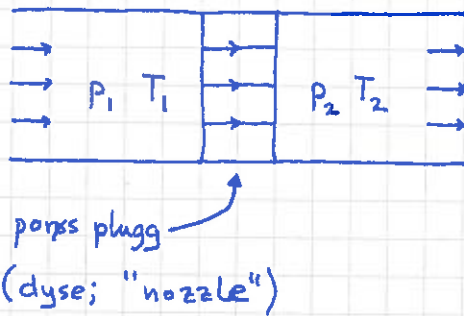
$$C_v = \left( \frac{\delta Q}{dT} \right)_v = \left( \frac{dU}{dT} \right)_v = \left( \frac{\partial U}{\partial T} \right)_v \quad (\text{med } U = U(T, V))$$

Dvs: Hvis  $p = \text{konst.}$  og bare " $p dV$ -arbeid",  
 så er  $\Delta Q = \Delta H$ . Typisk situasjonen i  
 mange eksperimenter, spesielt innen kjemi  
 $\Rightarrow$  symbol  $H$  for "heat"

## 2.11 Joule-Thomson-effekten [LHL 17.8]

(26)

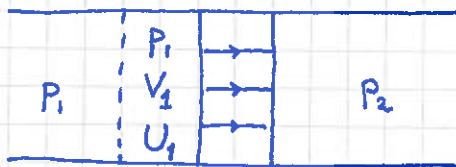
Viktig element i et (vanlig kompressor-) kjøleskap:



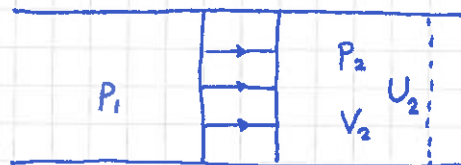
Irreversibelt trykkfall,  
 $\Delta p = p_2 - p_1 < 0$ , når  
fluid presses gjennom dyse.

(Og helst avkjøling,  $T_2 < T_1$  !)

Anta adiabatisk prosess og se på fluid med volum  $V_1$  som utvides til volum  $V_2$  på høyre side:



starttilstand



slutt-tilstand

Arbeid utført av fluidet:

$$W = \int_{V_1}^0 P_1 dV + \int_0^{V_2} P_2 dV = -P_1 V_1 + P_2 V_2$$

Endring i indre energi:

$$\Delta U = U_2 - U_1$$

$$\stackrel{1. lov}{\Rightarrow} 0 = Q = \Delta U + W = U_2 - U_1 + P_2 V_2 - P_1 V_1$$

$$\Rightarrow U_2 + P_2 V_2 = U_1 + P_1 V_1$$

$$\Rightarrow H_2 = H_1, \text{ dvs } \underline{\text{isentalpisk}} \text{ prosess}$$

Endring i  $T$ :  $[H = H(T, p) \Rightarrow T = T(p, H) \text{ og } p = p(T, H)]$  (27)

$$dT = \left(\frac{\partial T}{\partial p}\right)_H dp + \left(\frac{\partial T}{\partial H}\right)_p dH$$

$$= \left(\frac{\partial T}{\partial p}\right)_H dp \quad (dH = 0; \text{ isentalpisk})$$

Joule-Thomson - koeffisienten:  $\mu_{JT} = \left(\frac{\partial T}{\partial p}\right)_H$

$\Rightarrow$  avkjøling ( $dT < 0$ ) ved trykkreduksjon ( $dp < 0$ ) dersom  $\mu_{JT} > 0$

Eks: Er ideell gass egnet som kjølemedium i kjøleskap basert på Joule-Thomson - prosessen?

Løsn:  $-1 = \underbrace{\left(\frac{\partial T}{\partial p}\right)_H}_{\mu_{JT}} \underbrace{\left(\frac{\partial p}{\partial H}\right)_T}_T \underbrace{\left(\frac{\partial H}{\partial T}\right)_p}_{C_p}$  (syklisk regel, se øving 2)

$$\Rightarrow \mu_{JT} = -C_p^{-1} \left(\frac{\partial H}{\partial p}\right)_T$$

$$\left(\frac{\partial H}{\partial p}\right)_T = \underbrace{\left(\frac{\partial U(T)}{\partial p}\right)_T}_{=0} + \left(\frac{\partial}{\partial p} (p \cdot V(p, T))\right)_T$$

$$= V + p \cdot \frac{\partial V}{\partial p}$$

$$\frac{\partial V}{\partial p} = \frac{\partial}{\partial p} \left(\frac{nRT}{p}\right) = -\frac{nRT}{p^2} = -\frac{V}{p}$$

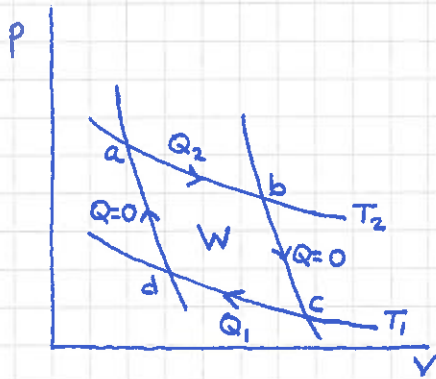
$$= V + p \cdot \left(-\frac{V}{p}\right)$$

$$= 0$$

$\Rightarrow \underline{\mu_{JT} = 0}$  for ideell gass, uegnet, gir  $\Delta T = 0$ .

[Reelle fluider har  $\mu_{JT} > 0$  for lave  $T$ ; mer senere og på lab.]

Reversibel kretsprosess:



ab: isoterm,  $T_2$ ,  $\Delta V > 0$ ,  $Q_2 > 0$

bc: adiabat, fra  $T_2$  til  $T_1$ ,  $\Delta V > 0$

cd: isoterm,  $T_1$ ,  $\Delta V < 0$ ,  $Q_1 < 0$

da: adiabat, fra  $T_1$  til  $T_2$ ,  $\Delta V < 0$

Virkningsgrad for varmekraftmaskin:

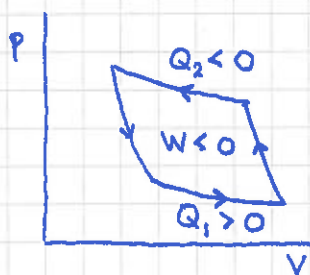
$$\eta = \text{nytte} / \text{kostnad} = \text{netto utført arbeid} / \text{tilført varme}$$

$$= W / Q_2$$

$$\oint dU = 0 \Rightarrow W = Q = Q_2 + Q_1$$

$$\Rightarrow \eta = \frac{Q_2 + Q_1}{Q_2} = 1 + \frac{Q_1}{Q_2} = 1 - \left| \frac{Q_1}{Q_2} \right| < 1$$

Virkn.grad (evt. effektfaktor) for kjøleskap og varmepumpe:



$T_1$ : i kjøleskapet / utenfor huset

$T_2$ : utenfor " / inni "

$$\varepsilon_K = \frac{\text{varme ut av kjøleskap}}{\text{tilført arbeid}} = \left| \frac{Q_1}{W} \right| = \left| \frac{Q_1}{Q_1 + Q_2} \right| = \left| 1 + \frac{Q_2}{Q_1} \right|^{-1}$$

$$\varepsilon_V = \frac{\text{varme inn i huset}}{\text{tilført arbeid}} = \left| \frac{Q_2}{W} \right| = \left| \frac{Q_2}{Q_1 + Q_2} \right| = \left| 1 + \frac{Q_1}{Q_2} \right|^{-1}$$

Vi beregner  $Q_1$  og  $Q_2$ . (For "positivt omlop")

Antar ideell gass,  $U = U(T) \Rightarrow \Delta U = 0$  på isothermene

$$\Rightarrow Q_2 = W_{ab} = \int_{V_a}^{V_b} p dV = nRT_2 \ln \frac{V_b}{V_a} > 0$$

$$Q_1 = W_{cd} = \int_{V_c}^{V_d} p dV = nRT_1 \ln \frac{V_d}{V_c} < 0$$

Langs adiabatene:  $TV^{\gamma-1} = \text{konstant}$

$$\Rightarrow T_1 V_d^{\gamma-1} = T_2 V_a^{\gamma-1} \quad \text{og} \quad T_1 V_c^{\gamma-1} = T_2 V_b^{\gamma-1}$$

$$\Rightarrow T_1/T_2 = (V_a/V_d)^{\gamma-1} = (V_b/V_c)^{\gamma-1}$$

$$\Rightarrow V_a/V_d = V_b/V_c \Rightarrow V_b/V_a = V_c/V_d$$

$$\Rightarrow \frac{Q_1}{Q_2} = \frac{T_1}{T_2} \frac{\ln(V_d/V_c)}{\ln(V_b/V_a)} = -\frac{T_1}{T_2} \frac{\ln(V_c/V_d)}{\ln(V_b/V_a)} = -\frac{T_1}{T_2}$$

$\Rightarrow$  For Carnot - varmekraftmaskin:

$$\eta_c = 1 - |Q_1/Q_2| = \underline{1 - T_1/T_2}$$

For Carnot - kjøleskap:

$$E_K^c = |1 + Q_2/Q_1|^{-1} = |1 - T_2/T_1|^{-1} = \left| \frac{T_1 - T_2}{T_1} \right|^{-1} = \underline{\frac{T_1}{T_2 - T_1}}$$

For Carnot - varmepumpe:

$$E_V^c = |1 + Q_1/Q_2|^{-1} = |1 - T_1/T_2|^{-1} = \left| \frac{T_2 - T_1}{T_2} \right|^{-1} = \underline{\frac{T_2}{T_2 - T_1}}$$

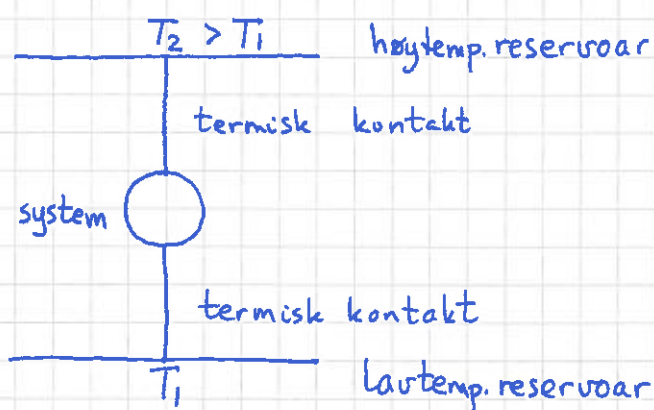
Vi noterer oss at  $Q_1/T_1 + Q_2/T_2 = 0$  for denne reversible kretsprosessen, og kan spørre oss om dette er et generelt resultat, dvs  $\oint dQ_{rev}/T = 0$ ? Svaret er ja!

## Varmereservoar

(30)

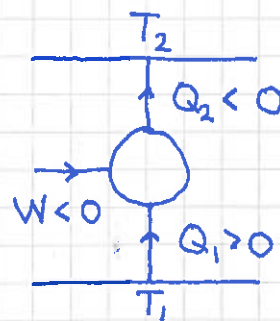
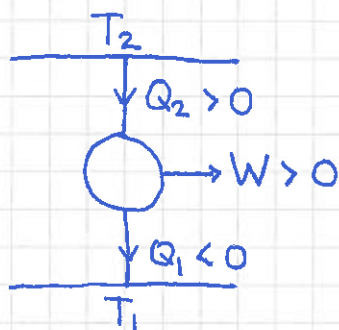
Reversibel isoterm utvidelse/kompresjon av systemet fordrer termisk kontakt med varmereservoar, dvs omgivelser med så stor varmekapasitet  $C$  at temperaturendringen  $\Delta T = Q/C = 0$  selv om varme  $Q$  overføres fra/til omgivelsene til/fra systemet.

Carnotprosessen er spesiell siden den trenger bare to varmereservoarer, et med temp.  $T_1$  og et med temp.  $T_2$ :

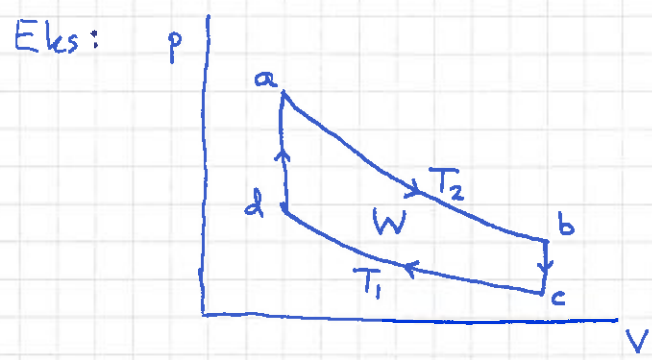


Varmekraftmaskin:

Kjøleskap, varmepumpe:



Andre reversible kretsprosesser fordrer generelt (uendelig!) mange varmereservoarer, siden systemet utveksler varme med omgivelsene ved alle temperaturer (mellom kretsprosessens minste og største temp., hhv  $T_{\min}$  og  $T_{\max}$ ).



- ideell gass
  - bc:  $T_2 \rightarrow T_1$ , kontinuerlig
  - da:  $T_1 \rightarrow T_2$ , —||—
  - bestem virkningsgraden
- $$\eta = \frac{W_{\text{utført (netto)}}}{Q_{\text{tilført}}}$$

Løsn:

$$Q_{ab} = Q_2 = nRT_2 \ln(V_b/V_a) > 0$$

$$Q_{cd} = Q_1 = nRT_1 \ln(V_d/V_c) = -Q_2 T_1/T_2 < 0$$

$$Q_{bc} = \Delta U_{bc} = C_V \Delta T_{bc} = C_V (T_1 - T_2) < 0$$

$$Q_{da} = \Delta U_{da} = C_V \Delta T_{da} = C_V (T_2 - T_1) > 0$$

$$W = Q_{ab} + Q_{bc} + Q_{cd} + Q_{da} = Q_2 (1 - T_1/T_2)$$

$$Q_{\text{tilført}} = Q_{ab} + Q_{da} = Q_2 (1 + Q_{da}/Q_2) > Q_2$$

$$\Rightarrow \eta = \frac{W}{Q_{\text{tilført}}} = \frac{Q_2 (1 - T_1/T_2)}{Q_2 (1 + Q_{da}/Q_2)} = \eta_c \cdot \frac{1}{1 + Q_{da}/Q_2} < \eta_c$$

- Skal senere bevise at Carnotprosessen har optimal virkn.grad,  $\eta_c = 1 - T_1/T_2$ . Dvs, andre reversible kretsprosesser som "kjøres" i temperaturområdet  $[T_1, T_2]$  har virkn.grad  $\eta < \eta_c$ .
- Merk at hvis  $Q_{bc}$  avgis til reservoar med temp.  $T_4$ , må prosessen bc være irreversibel, ettersom systemets temp. ikke er infinitesimalt større enn omgivelsenes temp. Tilsvarende, hvis  $Q_{da}$  tilføres fra reservoar med temp.  $T_2$ , er også prosessen da irreversibel.

# Mikroskopisk, statistisk beskrivelse

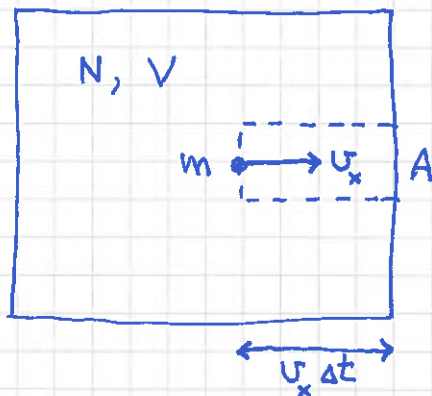
(32)

[ PCH 9.1-9.5, Appendix B + PCHQM 3.5, 5.1, 5.5 ;  
LHL 14.1-14.3, 17.11 ; YF 18.3-18.5, 40.5, 42.2 ]

## Kinetisk gasteori, antagelser

- Lav tetthet,  $V_{\text{molekyl}} \ll V/N$  ( $= 1/\rho$ )  
OK ved normale betingelser (300 K, 1 atm):  
 $V_{\text{molekyl}} \sim (3 \text{ \AA})^3$   
 $\frac{V}{N} \sim \frac{kT}{P} \sim \frac{1.38 \cdot 10^{-23} \cdot 300}{10^5} \text{ m}^3 \sim (35 \text{ \AA})^3$
- Klassiske partikler, elastiske kollisjoner
- Isotrope forhold : likt i alle retninger

## Trykk i ideell gass



$$p = \frac{F_x}{A} \equiv \frac{\Delta P_x / \Delta t}{A}$$

= trykk mot veggen

$$\Delta P_x = \underbrace{\frac{1}{2} N}_{\text{antall molekyler med } v_x > 0} \cdot \underbrace{\frac{A v_x \Delta t}{V}}_{\text{andel som treffer A i løpet av } \Delta t} \cdot \underbrace{2 m v_x}_{\text{overført impuls pr molekyl}} = \text{impuls overført fra gassmolekylene til A i løpet av } \Delta t$$

$$\Rightarrow p = \frac{N}{V} \cdot m v_x^2$$

Molekylene har fordeling av hastigheter

⇒ må bruke  $\langle v_x^2 \rangle =$  midlere  $v_x^2$

Isotropi ⇒  $\langle v_x^2 \rangle = \langle v_y^2 \rangle = \langle v_z^2 \rangle = \frac{1}{3} \langle v^2 \rangle$

⇒  $p = \frac{1}{3} \frac{N}{V} m \langle v^2 \rangle$  ;  $\frac{1}{2} m \langle v^2 \rangle = \langle E_k \rangle =$  midlere kin. energi pr molekyl

⇒  $p = \frac{2}{3} \frac{N}{V} \langle E_k \rangle$

Mikroskopisk tolkning av T

$p = NkT/V = 2N \langle E_k \rangle / 3V$

⇒  $\langle E_k \rangle = \frac{3}{2} kT$

Dvs: T er et mål på partiklenes midlere <sup>translasjons-</sup> kin. energi

Atomær gass ≈ gass av punktpartikler, kun translasjon bidrar til  $\langle E_k \rangle$

⇒  $U = N \langle E_k \rangle = \frac{3}{2} NkT$

⇒  $C_v = \frac{\partial U}{\partial T} = \frac{3}{2} Nk = \frac{3}{2} nR$

$c_{vm} = C_v / n = \frac{3}{2} R$ , i samsvar med eksp. (s. 21)



Fartsfordeling:

$f(v) dv$  = andel molekyler med fart mellom  $v$  og  $v+dv$   
 = sannsynligheten for at gitt molekyl har fart i  $(v, v+dv)$

Normering:  $\int_0^{\infty} f(v) dv = 1$

Hastighetskomponentfordeling:

$g(v_x) dv_x$  = sanns. for at gitt molekyl har hastighet  $\vec{v}$  med  
 komponent  $v_x$  i  $(v_x, v_x + dv_x)$

Normering:  $\int_{-\infty}^{\infty} g(v_x) dv_x = 1$

Hastighetsfordeling:

$F(\vec{v}) d^3v$  = sanns. for hastighet i  $(\vec{v}, \vec{v} + d\vec{v})$

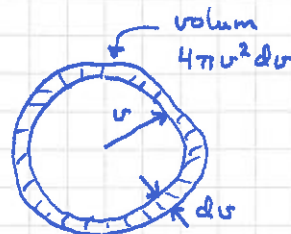
Normering:  $\int F(\vec{v}) d^3v = 1$

Kartesiske koord:  $d^3v = dv_x dv_y dv_z$

Kulekoord:  $d^3v = dv \cdot (v d\theta) \cdot (v \sin\theta d\phi)$

$$= v^2 dv \sin\theta d\theta d\phi$$

$$= v^2 dv d\Omega$$



Isotrop fordeling:  $F(\vec{v}) = F(v)$ ;  $\underline{f(v) dv} = \int_{\theta, \phi} F(v) v^2 dv d\Omega = \underline{F(v) v^2 dv} \cdot 4\pi$

Middelverdier :

$$\langle v^n \rangle = \int_0^\infty v^n f(v) dv$$

$$\langle v_x^n \rangle = \int_{-\infty}^\infty v_x^n g(v_x) dv_x$$

[Kommentar: Kan skrive  $f(v)dv = d\pi_f$ , der  $d\pi_f$  er en (liten) sannsynlighet. Da har vi  $f(v) = d\pi_f/dv$ , dvs  $f(v)$  er en sannsketthet, eller en "sanns. pr fartsenhet".

Tilsvarende:  $d\pi_g = g(v_x)dv_x \Rightarrow g(v_x) = d\pi_g/dv_x =$  "sanns. pr hastighetskomponentenhet", og

$$d\pi_f = F(v)d^3v = 4\pi v^2 F(v)dv \Rightarrow F(v) = \frac{1}{4\pi v^2} \cdot \frac{d\pi_f}{dv}$$

$$\text{Enheter: } [f] = [g] = (m/s)^{-1}; [F] = (m/s)^{-3} . ]$$

Men hva er  $F$ ,  $g$  og  $f$  i kinetisk gasteori?

Vi skal, som Maxwell, bestemme  $F$  med kun to antagelser:

1. Isotrop fordeling,  $F(\vec{v}) = F(v)$ .
2. Statistisk uavhengige hastighetskomponenter.

$$\text{Dermed: } F(v) d^3v = [g(v_x) dv_x] \cdot [g(v_y) dv_y] \cdot [g(v_z) dv_z]$$

$$[\text{Analogt eksempel: } P[3 \text{ b\ae}re \text{ med } 3 \text{ terninger}] = \frac{1}{6} \cdot \frac{1}{6} \cdot \frac{1}{6}]$$

$$\Rightarrow F(v) = g(v_x) \cdot g(v_y) \cdot g(v_z)$$

$$\text{L\os}ssning: g(v_j) = A \cdot B^{-C v_j^2}; j = x, y, z$$

$$(\text{for da blir } g(v_x)g(v_y)g(v_z) = A^3 \cdot B^{-C v^2} = F(v) )$$

Omskriving og omdøping av konstanter gir:

$$\begin{aligned} \underline{g(v_x)} &= A \cdot B^{-Gv_x^2} = \underbrace{e^{\ln A}}_A \cdot \underbrace{(e^{\ln B})^{-Gv_x^2}}_B \\ &= e^a \cdot e^{-(G \ln B)v_x^2} \quad (a = \ln A) \\ &= \underline{e^a \cdot e^{-bv_x^2}} \quad (b = G \ln B) \end{aligned}$$

Fastlegger  $e^a$  med normering av sannsynlighetsfordelingen:

$$1 = \int_{-\infty}^{\infty} g(v_x) dv_x = e^a \int_{-\infty}^{\infty} e^{-bv_x^2} dv_x$$

Må bestemme gaussintegralet [PCH Appendix B]

$$I_0 = \int_{-\infty}^{\infty} e^{-bx^2} dx$$

$$\begin{aligned} \text{Triks: } I_0 &= \sqrt{I_0^2} = \left\{ \int_{-\infty}^{\infty} e^{-bx^2} dx \cdot \int_{-\infty}^{\infty} e^{-by^2} dy \right\}^{1/2} \\ &= \left\{ \text{volumet mellom } xy\text{-planet og flaten} \right. \\ &\quad \left. z = \exp(-b(x^2+y^2)) \right\}^{1/2} \end{aligned}$$

Med polarkoordinater:

$$r^2 = x^2 + y^2 \quad ; \quad \text{flatelementet} = r \, d\varphi \cdot dr$$

$$\begin{aligned} \Rightarrow I_0 &= \left\{ \int_0^{2\pi} d\varphi \int_0^{\infty} e^{-br^2} r \, dr \right\}^{1/2} \\ &= \left\{ 2\pi \int_0^{\infty} (-e^{-br^2}/2b) \right\}^{1/2} = \left\{ \pi/b \right\}^{1/2} \end{aligned}$$

$$\text{Dermed: } 1 = e^a \cdot \sqrt{\pi/b} \quad \Rightarrow \underline{e^a = \sqrt{b/\pi}}$$

$$\Rightarrow g(v_x) = \sqrt{\frac{b}{\pi}} e^{-bv_x^2}$$

Fastlegger  $b$  ved å bruke at  $\langle v_x^2 \rangle = kT/m$  :

(37)

$$\frac{kT}{m} = \langle v_x^2 \rangle = \int_{-\infty}^{\infty} v_x^2 g(v_x) dv_x = \sqrt{\frac{b}{\pi}} \int_{-\infty}^{\infty} v_x^2 e^{-bv_x^2} dv_x$$

Må bestemme gaussintegralet [Appendix B]

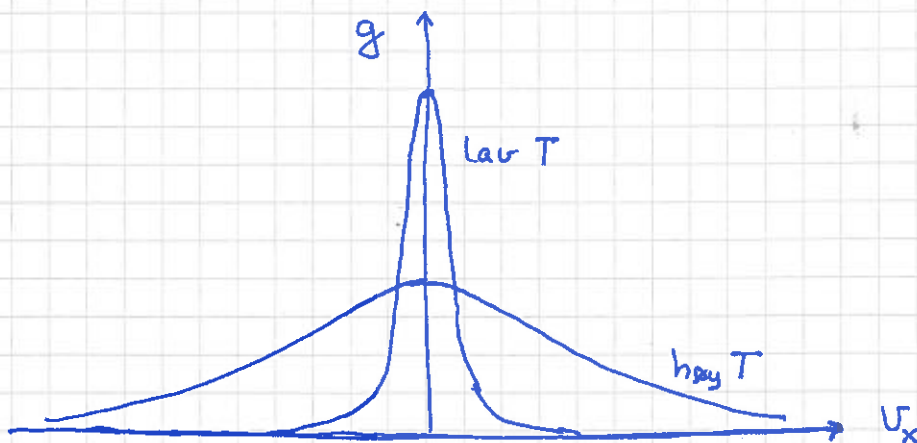
$$\begin{aligned} I_2 &= \int_{-\infty}^{\infty} x^2 e^{-bx^2} dx \quad (\text{Triks}) = -\frac{d}{db} \int_{-\infty}^{\infty} e^{-bx^2} dx \\ &= -\frac{d}{db} \sqrt{\frac{\pi}{b}} = \sqrt{\pi} \cdot \frac{1}{2} \cdot b^{-3/2} \end{aligned}$$

Dermed:

$$\frac{kT}{m} = \sqrt{\frac{b}{\pi}} \cdot \sqrt{\pi} \cdot \frac{1}{2} b^{-3/2} = \frac{1}{2b} \Rightarrow \underline{b = \frac{m}{2kT}}$$

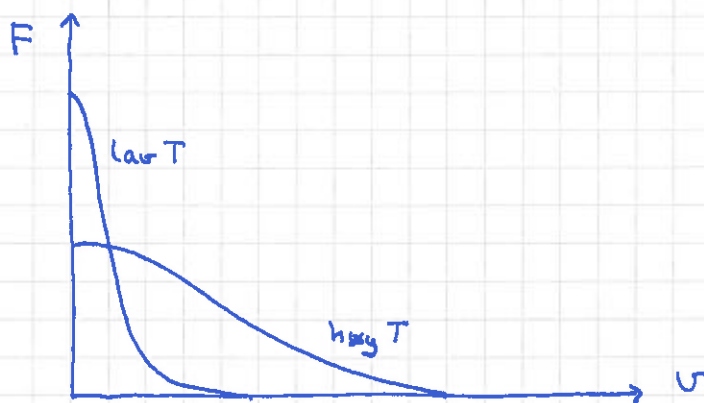
Og dermed er Maxwells hastighetsfordeling fullstendig bestemt, for komponentene  $v_x, v_y, v_z$ , for hastigheten  $\vec{v}$  og for farten  $v = |\vec{v}|$  :

$$g(v_x) = \sqrt{\frac{m}{2\pi kT}} e^{-mv_x^2/2kT}$$

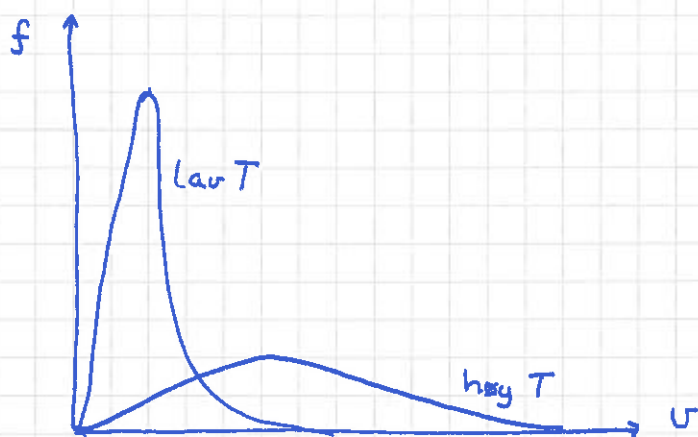


$$F(v) = g(v_x)g(v_y)g(v_z) = \left(\frac{m}{2\pi kT}\right)^{3/2} e^{-mv^2/2kT}$$

(38)



$$f(v) = 4\pi v^2 F(v) = 4\pi \left(\frac{m}{2\pi kT}\right)^{3/2} v^2 e^{-mv^2/2kT}$$



### Middelverdi

$$\langle v_x \rangle = \langle v_y \rangle = \langle v_z \rangle = 0 \quad (\text{pga symmetri})$$

$$\langle v^2 \rangle = 3 \langle v_x^2 \rangle = 3kT/m$$

$$v_{\text{rms}} \stackrel{\text{def}}{=} \sqrt{\langle v^2 \rangle} = \sqrt{3kT/m} \approx 1.73 \sqrt{kT/m} \quad (\text{root mean square})$$

$$\langle v \rangle = \int_0^{\infty} v f(v) dv = 4\pi \left(\frac{b}{\pi}\right)^{3/2} \int_0^{\infty} v^3 e^{-bv^2} dv$$

(39)

$$= 4\pi \left(\frac{b}{\pi}\right)^{3/2} \left\{ -\frac{d}{db} \int_0^{\infty} v e^{-bv^2} dv \right\} = 4\pi \left(\frac{b}{\pi}\right)^{3/2} \left\{ -\frac{d}{db} \left(\frac{1}{2b}\right) \right\}$$

$$= 4\pi \left(\frac{b}{\pi}\right)^{3/2} \cdot \frac{1}{2b^2} = \frac{2}{\sqrt{\pi b}} = \sqrt{\frac{8}{\pi} \frac{kT}{m}} \approx 1.60 \sqrt{\frac{kT}{m}}$$

Max  $f$  gir  $v_s =$  mest sannsynlige fart:

$$\frac{df}{dv} \sim \frac{d}{dv} (v^2 e^{-bv^2}) = 2v e^{-bv^2} - 2bv^3 e^{-bv^2} \sim 1 - bv^2$$

$$0 = \left(\frac{df}{dv}\right)_{v=v_s} \Rightarrow v_s = \sqrt{\frac{1}{b}} = \sqrt{\frac{2kT}{m}} \approx 1.41 \sqrt{\frac{kT}{m}}$$

Fra Bølgefysikk:

$$v_{\text{lyd}} = \sqrt{\gamma \frac{kT}{m}} \stackrel{\text{luft}}{=}_{300\text{K}} \sqrt{1.4 \cdot \frac{1.38 \cdot 10^{-23} \cdot 300}{0.029 / (6 \cdot 10^{23})}} \frac{\text{m}}{\text{s}} \approx 346 \text{ m/s}$$

$$\Rightarrow v_{\text{rms}} \sim \langle v \rangle \sim v_s \sim v_{\text{lyd}}$$

$\underbrace{\hspace{10em}}_{\text{partikkelhastigheter}} \qquad \underbrace{\hspace{10em}}_{\text{bølgehastighet}}$

# Statistisk mekanikk

40

## Boltzmann faktoren

Vi har nå sett at

$$g(v_x) \sim \exp\{-E(v_x)/kT\}$$

med  $E(v_x) = \frac{1}{2} m v_x^2$ . Dette gjelder mer generelt:

Sannsynligheten for at en gitt partikkel i et mangepartikkelsystem ved temperatur  $T$  er i en tilstand med energi  $E$ , er proporsjonal med Boltzmann faktoren  $\exp\{-E/kT\}$ .

## Ekvipartisjonsprinsippet

Hver frihetsgrad (dvs uavhengig variabel) som inngår kvadratisk i energifunksjonen  $E$ , bidrar med  $\frac{1}{2}kT$  til midlere energi.

Basis:  $E(s) = A s^2$ ;  $d\pi = C \exp(-A s^2/kT) ds$

Normering:  $1 = \int d\pi = C \int_{-\infty}^{\infty} \exp(-A s^2/kT) ds = C \cdot \sqrt{\pi kT/A}$   
 $\Rightarrow C = \sqrt{A/\pi kT}$

$$\Rightarrow \langle E \rangle = \int_{-\infty}^{\infty} E(s) d\pi = \int_{-\infty}^{\infty} A s^2 \sqrt{A/\pi kT} \exp(-A s^2/kT) ds$$

$$= \frac{A^{3/2}}{\sqrt{\pi kT}} \cdot \frac{\sqrt{\pi}}{2} \cdot \left(\frac{A}{kT}\right)^{-3/2} = \frac{1}{2} kT \quad \text{qed}$$

$C_V$  for 2-atomige molekyler

$$U/N = f \cdot \frac{1}{2} kT ; f = \text{antall uavhengige kvadratiske}$$

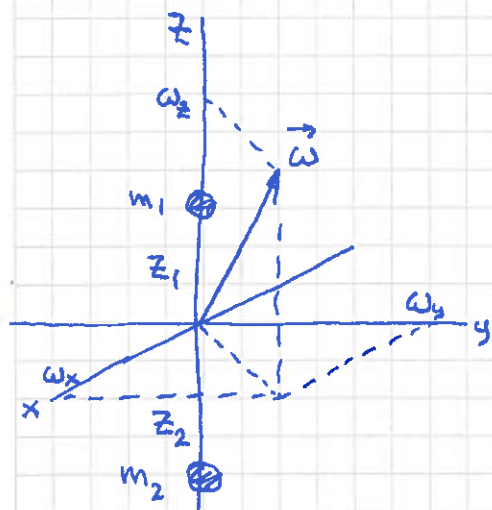
bidrag til midlere energi  $\langle E \rangle$  pr molekyl ("frihetsgrader")

$$\Rightarrow C_V = \frac{\partial U}{\partial T} = \frac{f}{2} Nk ; c_{vm} = C_V / n = \frac{f}{2} R$$

Translasjon:

$$E_k^{\text{trans}} = \frac{1}{2} (m_1 + m_2) v^2 = \frac{1}{2} (m_1 + m_2) (v_x^2 + v_y^2 + v_z^2)$$

$\Rightarrow$  bidrar med 3 til  $f$

Rotasjon:

$$E_k^{\text{rot}} = \frac{1}{2} I_x \omega_x^2 + \frac{1}{2} I_y \omega_y^2 + \frac{1}{2} I_z \omega_z^2$$

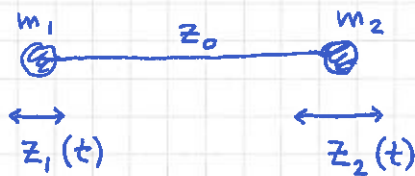
$$I_x = I_y = I = m_1 z_1^2 + m_2 z_2^2$$

$$I_z \approx 0$$

$$\Rightarrow E_k^{\text{rot}} = \frac{1}{2} I (\omega_x^2 + \omega_y^2)$$

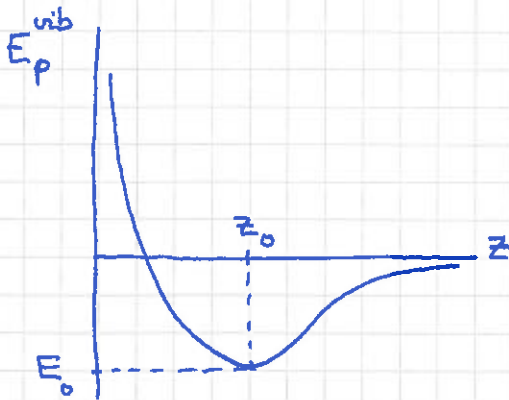
$\Rightarrow$  bidrar med 2 til  $f$

Vibrasjon:



$$m_1 z_1 + m_2 z_2 = 0$$

$$\Rightarrow z_2 = -m_1 z_1 / m_2$$



For små utsving omkring  $z_0$ :

$$E_p^{vib}(z) = E_0 + \frac{1}{2} K (z - z_0)^2$$

( $K$  = fjærkonstant)

$\Rightarrow$  bidrar med 1 til  $f$

$$\begin{aligned} E_k^{vib} &= \frac{1}{2} m_1 \dot{z}_1^2 + \frac{1}{2} m_2 \dot{z}_2^2 = \frac{1}{2} m_1 \dot{z}_1^2 + \frac{1}{2} m_2 \left(\frac{m_1}{m_2}\right)^2 \dot{z}_1^2 \\ &= \frac{1}{2} m_1^2 \left(\frac{1}{m_1} + \frac{1}{m_2}\right) \dot{z}_1^2 = \frac{1}{2} \frac{m_1^2}{m} \dot{z}_1^2 \quad \left(= \frac{1}{2} \frac{m_2^2}{m} \dot{z}_2^2\right) \end{aligned}$$

$$\frac{1}{m} = \frac{1}{m_1} + \frac{1}{m_2} ; \quad m = \text{molekylets reduserte masse}$$

$\Rightarrow$  bidrar med 1 til  $f$

Dvs: Med klassisk fysikk forventer vi, for en gass med  $N$  2-atomige molekyler:

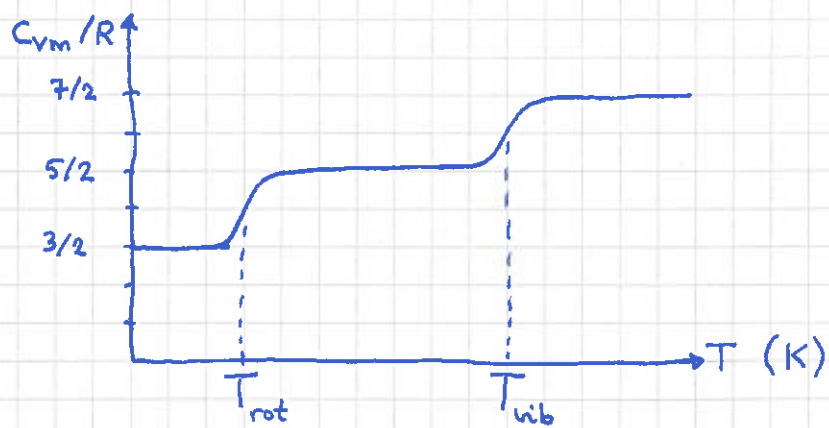
$$U = N \left\{ \langle E_k^{trans} \rangle + \langle E_k^{rot} \rangle + \langle E_p^{vib} \rangle + \langle E_k^{vib} \rangle \right\}$$

$$= N \cdot \frac{1}{2} kT \cdot \{ 3 + 2 + 1 + 1 \} = \frac{7}{2} NkT$$

$$C_V = \frac{7}{2} Nk$$

$$C_{Vm} = \frac{7}{2} R$$

# Ekperimentelt :



	$T_{rot}$	$T_{vib}$
$O_2$	2.1	2230
$N_2$	2.9	3340
$H_2$	85.4	6210

Dvs: Klassisk fysikk (ekvipartisjonsprinsippet) holder bare for (svært) høye temperaturer,  $T > T_{vib}$ .

Forklares med kvantemekanikk (QM).

## Harmonisk oscillator [PCHQM 3.5, 5.1 ; YF ]

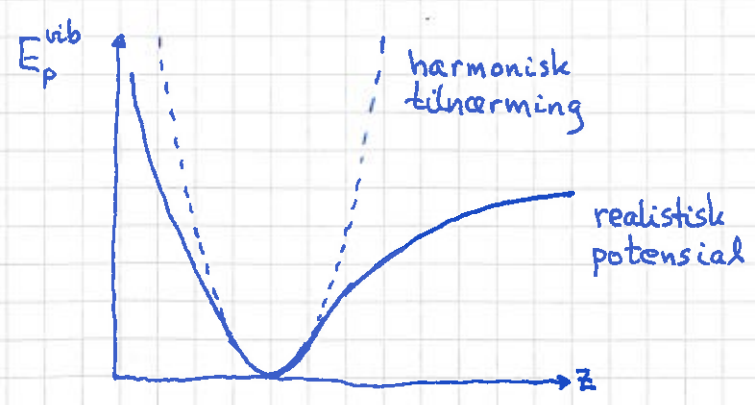
Schrödingerligningen for vibrasjonsbevegelsen :

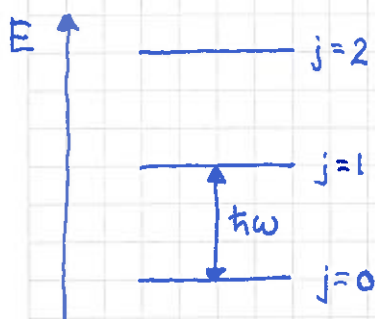
$$-\frac{\hbar^2}{2m} \frac{d^2 \psi}{dz^2} + E_p^{vib}(z) \psi = E \psi ; \quad E_p^{vib}(z) = \frac{1}{2} K (z - z_0)^2$$

Energieigenverdier :

$$E_j = (j + 1/2) \hbar \omega ; \quad j = 0, 1, 2, \dots$$

$$\text{med } \omega = \sqrt{K/m'} = \left\{ \frac{1}{m} \frac{d^2 E_p^{vib}}{dz^2} \right\}_{z=z_0}^{1/2}$$





Sannsynlighet for at molekylet har vibrasjonsenergi  $E_j$ :

$$\pi_j = C \cdot e^{-E_j/kT}$$

Normering:  $1 = \sum_{j=0}^{\infty} \pi_j = C \cdot \sum_j e^{-E_j/kT}$

Partisjonsfunksjonen (evt. tilstandssummen, "Zustandsum"):

$$Z = \sum_j e^{-E_j/kT}$$

$$\Rightarrow \pi_j = \frac{1}{Z} e^{-E_j/kT} = \frac{e^{-E_j/kT}}{\sum_j e^{-E_j/kT}}$$

Her er  $E_0 = \frac{1}{2} h\omega$ ,  $E_1 = \frac{3}{2} h\omega$ , ..., slik at

$$Z = \exp(-h\omega/2kT) \left\{ 1 + e^{-h\omega/kT} + e^{-2h\omega/kT} + \dots \right\}$$

Hvis nå  $kT \ll h\omega$ , er  $Z \approx \exp(-E_0/kT)$ , og

$$\pi_0 \approx 1, \quad \pi_1 \approx 0, \quad \pi_2 \approx 0, \dots$$

Dvs: Praktisk talt alle molekylene befinner seg i grunntilstanden mhp vibrasjonsbevegelsen.

Og en liten økning i temperaturen,  $\Delta T$ , endrer ikke på dette: Molekylene er fremdeles i grunntilstanden, slik at  $\Delta E^{\text{vib}} = 0$ .

Men da bidrar ikke vibrasjonsfrihetsgradene til

$$\text{varmekapasiteten: } C_V^{\text{vib}} = \Delta E^{\text{vib}} / \Delta T = 0.$$

$$\text{Først når } kT \approx \hbar\omega \text{ blir } C_V^{\text{vib}} = N \cdot 2 \cdot \frac{1}{2} k = Nk.$$

Typiske verdier for fjærkonstant i 2-atomig molekyl:

$$K \sim 10^2 \text{ N/m.}$$

Redusert masse:

$$m(X_2) = \frac{1}{2} m(X) \sim 10^{-27} - 10^{-26} \text{ kg}$$

$$m(HX) \approx m(H) \sim 10^{-27} \text{ kg} \quad (\text{hvis } m(X) \gg m(H))$$

Eks: H<sub>2</sub>

$$K = 570 \text{ N/m, } m = \frac{1}{2} \cdot 1.67 \cdot 10^{-27} \text{ kg}$$

$$\Rightarrow \hbar\omega = 1.05 \cdot 10^{-34} \sqrt{570 \cdot 2 / 1.67 \cdot 10^{-27}} \text{ J} = 8.67 \cdot 10^{-20} \text{ J}$$

$$\Rightarrow T_{\text{vib}} = \hbar\omega / k \approx \underline{6300 \text{ K}}$$

La oss regne ut Z og  $\langle E^{\text{vib}} \rangle$ :

$$Z = e^{-\frac{\hbar\omega}{2kT}} \{ 1 + e^{-\hbar\omega/kT} + e^{-2\hbar\omega/kT} + \dots \}$$

$$= x^{1/2} \{ 1 + x + x^2 + \dots \}$$

$$= \frac{x^{1/2}}{1-x}; \quad x = e^{-\hbar\omega/kT} = e^{-\beta\hbar\omega}; \quad \beta = \frac{1}{kT}$$

$$\langle E^{\text{vib}} \rangle = \frac{1}{Z} \sum_{j=0}^{\infty} E_j e^{-\beta E_j} = \frac{1}{Z} \left( -\frac{d}{d\beta} \right) \sum_{j=0}^{\infty} e^{-\beta E_j} = -\frac{1}{Z} \frac{dZ}{d\beta}$$

$$= -\frac{d}{d\beta} \ln Z$$

$$-\frac{dZ}{d\beta} = -\frac{d}{d\beta} \left\{ \frac{e^{-\beta\hbar\omega/2}}{1 - e^{-\beta\hbar\omega}} \right\}$$

$$= \frac{(\hbar\omega/2) e^{-\beta\hbar\omega/2}}{1 - e^{-\beta\hbar\omega}} - \frac{e^{-\beta\hbar\omega/2} (-e^{-\beta\hbar\omega}) (-\hbar\omega) (-1)}{(1 - e^{-\beta\hbar\omega})^2}$$

$$\langle E^{vib} \rangle = \frac{1 - e^{-\beta\hbar\omega}}{e^{-\beta\hbar\omega/2}} \cdot \left\{ \frac{\frac{1}{2}\hbar\omega e^{-\beta\hbar\omega/2}}{1 - e^{-\beta\hbar\omega}} + \frac{\hbar\omega e^{-3\beta\hbar\omega/2}}{(1 - e^{-\beta\hbar\omega})^2} \right\}$$

$$= \frac{1}{2}\hbar\omega + \frac{\hbar\omega e^{-\beta\hbar\omega}}{1 - e^{-\beta\hbar\omega}}$$

$$= \frac{1}{2}\hbar\omega + \frac{\hbar\omega}{e^{\beta\hbar\omega} - 1}$$


---

Rimelig?

$kT \ll \hbar\omega \Rightarrow \beta\hbar\omega \gg 1 \Rightarrow \langle E^{vib} \rangle \approx \frac{1}{2}\hbar\omega$ ; OK:  
oscillatoren er i grunntilstanden!

$kT \gg \hbar\omega \Rightarrow \beta\hbar\omega \ll 1 \Rightarrow e^{\beta\hbar\omega} - 1 \approx 1 + \beta\hbar\omega - 1 = \beta\hbar\omega$   
 $\Rightarrow \langle E^{vib} \rangle \approx \frac{1}{2}\hbar\omega + \frac{1}{\beta} = \frac{1}{2}\hbar\omega + kT$

OK: "klassisk grense",  $\frac{1}{2}kT$  pr frihetsgrad!  
 (+ det temp.uavhengige "nullnivået":  $\frac{1}{2}\hbar\omega$ , den såkalte nullpunktsenergien)

Varmekapasiteten (ders bidraget pga vibrasjon):

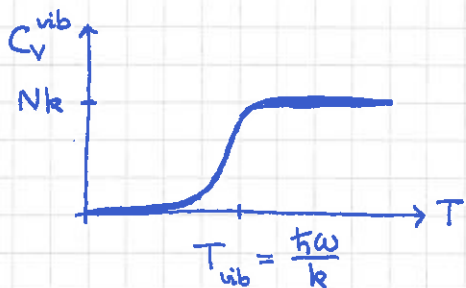
$$C_v^{(vib)} = \frac{\partial U^{vib}}{\partial T} = N \frac{\partial \langle E^{vib} \rangle}{\partial T} = N \frac{\partial \langle E^{vib} \rangle}{\partial \beta} \frac{d\beta}{dT}$$

$$= N \cdot \left\{ -\frac{\hbar\omega \cdot e^{\beta\hbar\omega} \cdot \hbar\omega}{(e^{\beta\hbar\omega} - 1)^2} \right\} \cdot \left( -\frac{1}{kT^2} \right)$$

$\rightarrow -k/(kT)^2 = -k\beta^2$

$$\Rightarrow C_V^{vib} = Nk \cdot \frac{(\beta \hbar \omega)^2 e^{-\beta \hbar \omega}}{(e^{\beta \hbar \omega} - 1)^2}$$

(47)



$$C_V^{vib}(T_{vib}) = Nk \cdot \frac{1^2 \cdot e^{-1}}{(e^1 - 1)^2} \approx \underline{0.92 Nk}$$

05.02.14

## Rotator [PCHQM 5.5; YF]

Schrödingerlign. for rotasjonsbevegelsen ("stiv rotator"):

$$E_k^{rot} = \frac{1}{2} I \omega^2 = \frac{1}{2} I (L/I)^2 \quad [ \vec{L} = I \vec{\omega} ]$$

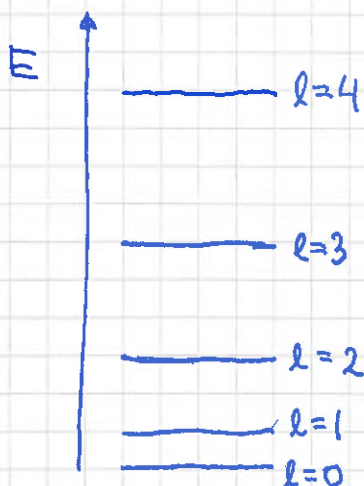
$$= \frac{L^2}{2I} \rightarrow \frac{1}{2I} L_{op}^2$$

( $L_{op}^2 =$  QM operator for klassisk dreieimpuls  $L^2$ )

$$= -\hbar^2 \left[ \frac{1}{\sin \theta} \frac{\partial}{\partial \theta} \left( \sin \theta \frac{\partial}{\partial \theta} \right) + \frac{1}{\sin^2 \theta} \frac{\partial^2}{\partial \varphi^2} \right]$$

$$L_{op}^2 Y(\theta, \varphi) = l(l+1)\hbar^2 Y(\theta, \varphi) \quad ; \quad l = 0, 1, 2, \dots$$

$$\Rightarrow E_l = l(l+1)\hbar^2/2I \quad ; \quad l = 0, 1, 2, \dots$$



Hvis  $kT \ll \hbar^2/I$ , er alle molekylene i grunntilstanden ( $l=0$ ) mhp rotasjonsbevegelsen, en liten  $\Delta T$  gir  $\Delta E^{rot} = 0$ , og rotasjonsfrihetsgradene bidrar ikke til varmekap.

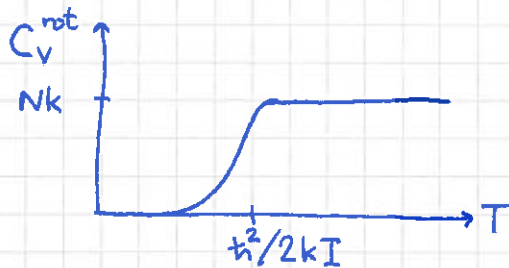
Eks:  $H_2$

(48)

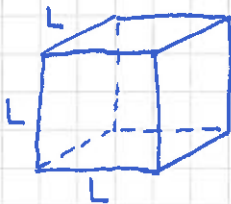
$$I = 2 \cdot m_H \cdot \left(\frac{r_0}{2}\right)^2 = 2 \cdot 1.67 \cdot 10^{-27} \text{ kg} \cdot \left(\frac{74 \cdot 10^{-12} \text{ m}}{2}\right)^2 = 4.57 \cdot 10^{-48} \text{ kg} \cdot \text{m}^2$$

$$\Rightarrow T_{\text{rot}} = \frac{\hbar^2/2I}{k} = 87 \text{ K}$$

[ Større masse og/eller bindingslengde  $\Rightarrow$  mindre  $T_{\text{rot}}$ , jf. tabell s. 43 ]



Translasjon:



Partikkel i boks;  $E_k^{\text{trans}} = \frac{1}{2m} (p_x^2 + p_y^2 + p_z^2)$

$$p_x \rightarrow p_{x,\text{op}} = \frac{\hbar}{i} \frac{\partial}{\partial x} \text{ etc.}$$

$$\Rightarrow -\frac{\hbar^2}{2m} \left( \frac{\partial^2}{\partial x^2} + \frac{\partial^2}{\partial y^2} + \frac{\partial^2}{\partial z^2} \right) \psi = E \psi$$

$$\Rightarrow E = \frac{\pi^2 \hbar^2}{2mL^2} (n_x^2 + n_y^2 + n_z^2) ; \quad n_x, n_y, n_z = 0, 1, 2, 3, \dots$$

(NB: ikke alle tre lik null)

$$\Rightarrow \Delta E \sim \frac{\pi^2 \hbar^2}{2mL^2}$$

Hvis  $m \approx m(H_2)$ , er  $\pi^2 \hbar^2 / 2m \approx 10^{-41} \text{ J} \cdot \text{m}^2$ , så med en liten boks med  $L \sim 1 \mu\text{m}$ , er  $\Delta E \sim 10^{-29} \text{ J}$ . Dette gir, med  $kT_{\text{trans}} \approx \Delta E$ , en "karakteristisk" temp. for translasjon,

$T_{\text{trans}} \sim 10^{-6} \text{ K} \approx 0$ . Med andre ord, de 3 translasjonsfrihetsgradene er ikke frosset ut ved noen temperaturer!

$\Rightarrow$  Kurven øverst s.43 for  $c_{v,m}$  er forklart!

# $C_V$ for krystaller (Lab nr 2)

Modell (Einstein 1906): Hvert atom tilsværer 3 uavhengige endimensjonale harmoniske oscillatorer, hver med kvantiserte energinivåer

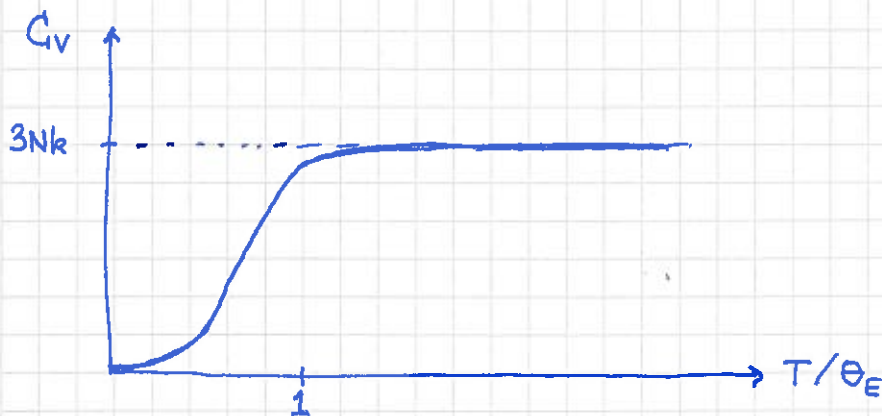
$$E_j = j \cdot h\omega \quad ; \quad j = 0, 1, 2, \dots$$

[Einstein inkluderte ikke nullpunktenergien  $\frac{1}{2}h\omega$ , men som vi har sett, er dette uten betydning når det gjelder  $C_V$ .]

⇒ Vi kan bruke utregningen s.45-47 direkte, med  $3N$  oscillatorer i stedet for  $N$ .

$$\Rightarrow C_V = 3Nk \frac{(\Theta_E/T)^2 e^{\Theta_E/T}}{(e^{\Theta_E/T} - 1)^2}$$

med Einstein-temperaturen  $\Theta_E = h\omega/k$ .



Mangler i Einsteins modell:

- spektrum av vibrasjonsfrekvenser ("fononspektrum")
- elektronene bidrar også til  $C_V$

[ Mer i TFY4220 Faste stoffers fysikk ]

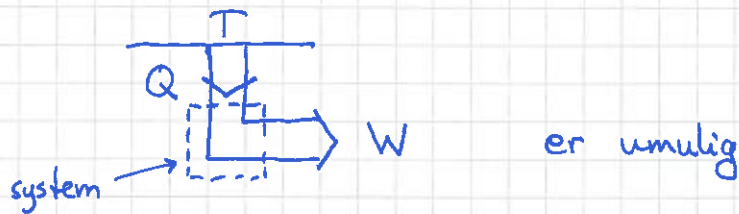
### 3. Termodynamikkens 2. lov [LHL 16; YF 20]

(50)

#### 3.1 Energibevarelse er ikke alt [LHL 16.1; YF 20.5]

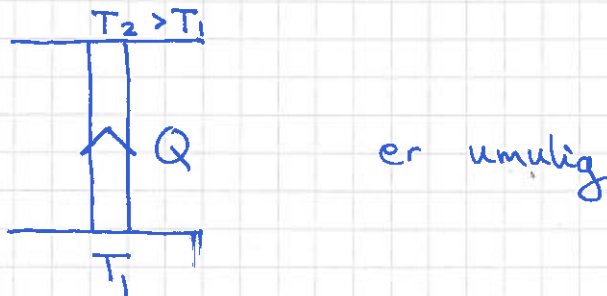
Kelvin's formulering av 2. lov:

Umulig med prosesser der  eneste resultat er at varme avgis fra et varmereservoar og omsettes fullstendig i arbeid.



Clausius' formulering av 2. lov:

Umulig med prosess der  eneste resultat er at varme overføres fra reservoar med temp.  $T_1$  til reservoar med høyere temp.  $T_2$



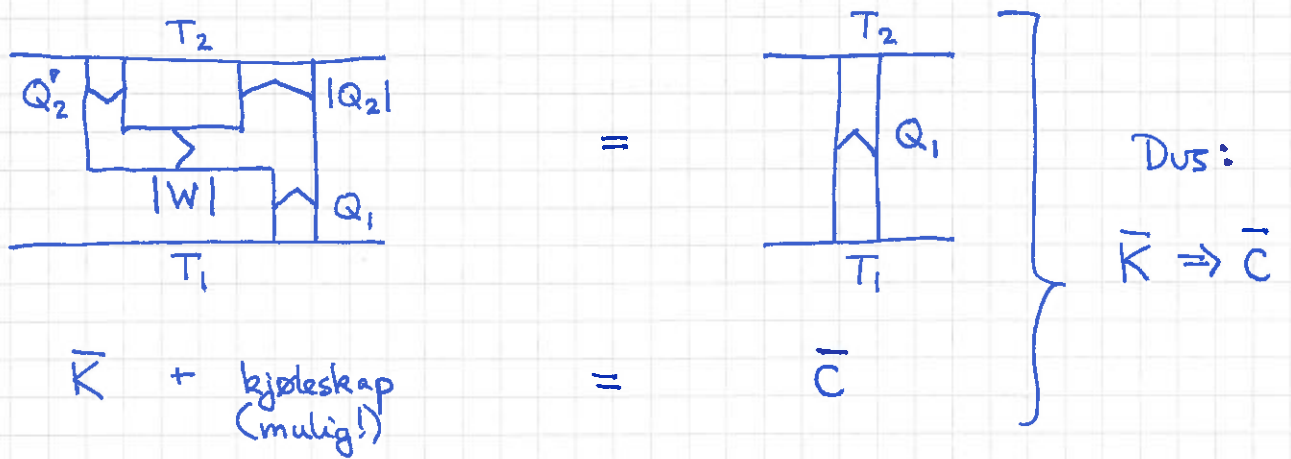
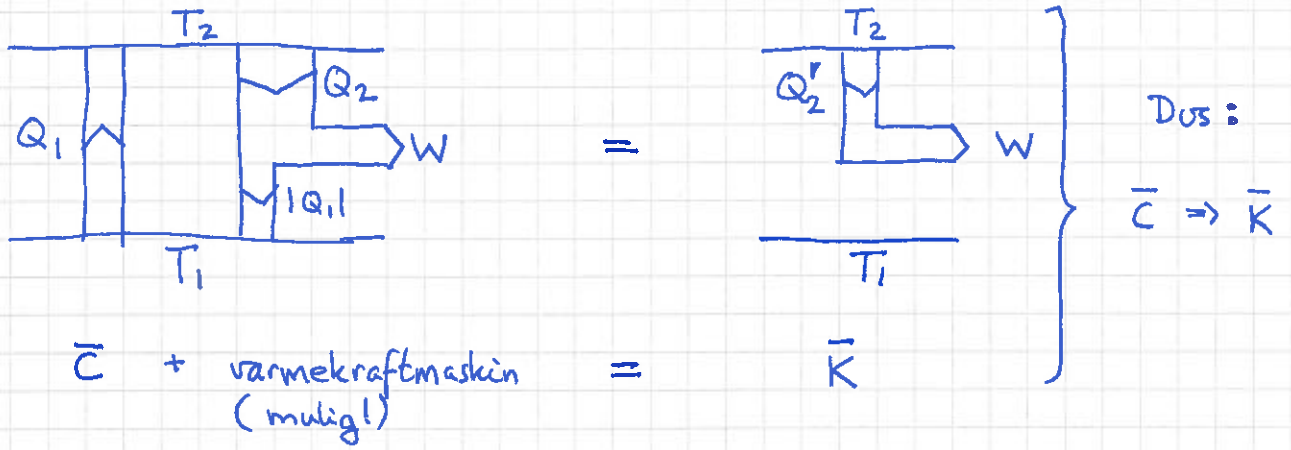
K ( $\bar{K}$ ) : Kelvin har rett (tar feil)

C ( $\bar{C}$ ) : Clausius — " — ( — " — )

K og C er ekvivalente formuleringer av empirisk lov.

Bevises ved å vise at  $\bar{K} \Leftrightarrow \bar{C}$ .

Bevis:



Dvs:  $\bar{K} \Leftrightarrow \bar{C}$  ; hvis Kelvin tar feil, tar også Clausius feil, og omvendt

Dermed:  $K \Leftrightarrow C$

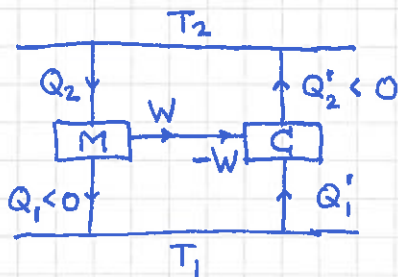
hvis Kelvin har rett, har også Clausius rett, og omvendt.

### 3.2 Carnots teorem [LHL 16.2 ; YF 20.6]

(52)

Carnotprosessen virkningsgrad,  $\eta_c = 1 - T_1/T_2$ , er optimal

Beris:



- $C =$  reversibel Carnot-maskin med ideell gas som arbeidssubstans, her brukt som kjøleskap/värmepumpe, men med virkn.grad  $\eta_c = 1 - T_1/T_2$  hvis brukt som varmekraftmaskin
- $M =$  vilkårlig varmekraftmaskin (ikke nødvendigvis reversibel, ikke nødvendigvis med ideell gas som arbeidssubstans)
- Null netto arbeid, kun varmeoverføring mellom de to reservoarene  
 $\xrightarrow{2. \text{ lov}}$   
 $\Rightarrow \Delta Q = Q_2 + Q_2' = |Q_2| - |Q_2'| \geq 0$   
 $\Rightarrow |Q_2| \geq |Q_2'| \Rightarrow |W|/|Q_2| \leq |W|/|Q_2'| \Rightarrow \eta_M \leq \eta_c$

---

- Hvis nå  $M$  også er reversibel (og dermed en Carnot-maskin!), kan både  $M$  og  $C$  reverseres, og da gir 2. lov  $|Q_2'| \geq |Q_2|$ , dvs  $|W|/|Q_2| \geq |W|/|Q_2'|$ , dvs  $\eta_M \geq \eta_c$ .  
Da må vi ha  $\eta_M = \eta_c$ , dvs: Alle reversible Carnot-maskiner, uansett arbeidssubstans, har optimal virkn.grad  $\eta = \eta_c = 1 - T_1/T_2$ .
- "Termodynamisk definisjon av temperatur":  
 $\frac{T_1}{T_2} = 1 - \eta_c = \left| \frac{Q_1}{Q_2} \right|$  for en vilkårlig reversibel Carnot-maskin  
[En definisjon som er uavhengig av arbeidssubstansen i maskinen.]

10.02.14

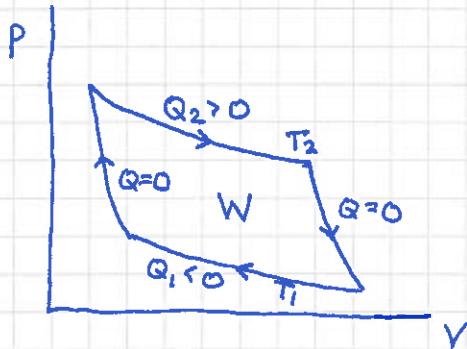
4. Entropi

[LHL 17; YF 20]

(53)

4.1 Clausius' ulikhet [LHL 17.1]

For reversibel Carnot-prosess (s. 28-29):



$$\eta_c = \frac{W}{Q_2} = \frac{Q_2 + Q_1}{Q_2} = 1 + \frac{Q_1}{Q_2} = 1 - \frac{T_1}{T_2},$$

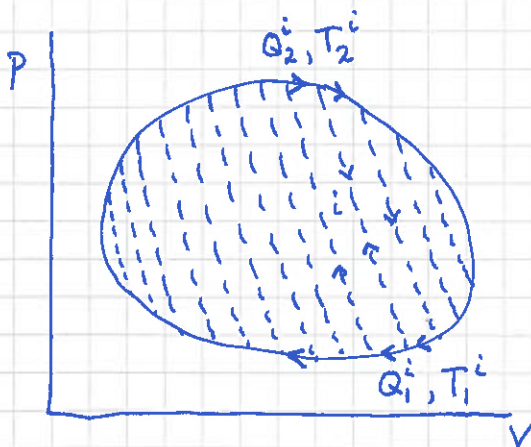
$$\text{dvs: } \frac{Q_1}{T_1} + \frac{Q_2}{T_2} = 0$$

For reell (dvs mer eller mindre irreversibel) prosess mellom varmereservoar ved  $T_1$  og  $T_2 > T_1$ :

$$\eta < \eta_c \Rightarrow 1 + \frac{Q_1}{Q_2} < 1 - \frac{T_1}{T_2} \Rightarrow \frac{Q_1}{T_1} + \frac{Q_2}{T_2} < 0$$

$$\text{Alt i alt: } \frac{Q_1}{T_1} + \frac{Q_2}{T_2} \leq 0$$

Vilkrålig kretsprosess = sum av mange "små" Carnot-prosesser:



$$\frac{Q_1^i}{T_1^i} + \frac{Q_2^i}{T_2^i} \leq 0; \quad i=1, 2, 3, \dots$$

$$\sum_{i=1}^n \left\{ \frac{Q_1^i}{T_1^i} + \frac{Q_2^i}{T_2^i} \right\} \leq 0$$

$$\downarrow n \rightarrow \infty$$

Hvis kretsprosessen er reversibel:

$$\frac{Q_1^i}{T_1^i} + \frac{Q_2^i}{T_2^i} = 0$$

$$\Rightarrow \oint \frac{dQ_{\text{rev}}}{T} = 0$$

$$\boxed{\oint \frac{dQ}{T} \leq 0}$$

Clausius' ulikhet

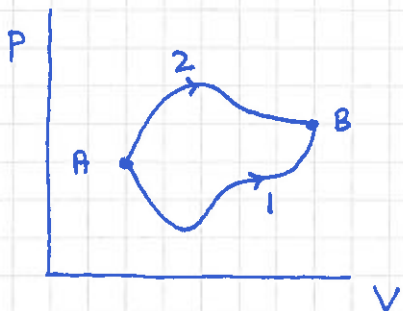
## 4.2 Entropi

[LHL 17.1 ; YF 20.7]

54

Hvis  $\oint dQ_{\text{rev}}/T = 0$ , da er  $dQ_{\text{rev}}/T$  et totalt differensial, med en tilhørende tilstandsfunksjon:

$$dS \stackrel{\text{def}}{=} \frac{dQ_{\text{rev}}}{T} ; S = \text{entropi (en tilstandsfunksjon)}$$



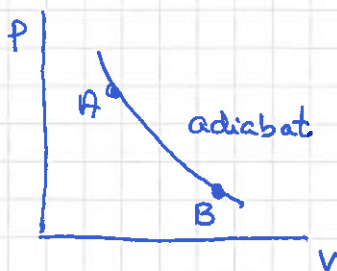
Endringen i entropi,  $\Delta S = S_B - S_A$ , er da uavhengig av veien (prosessen) fra A til B:

$$0 = \oint dS = \left\{ \int_A^B dS \right\}_2 + \left\{ \int_B^A dS \right\}_1 = \left\{ \int_A^B dS \right\}_2 - \left\{ \int_A^B dS \right\}_1$$
$$\Rightarrow \Delta S = S_B - S_A = \left\{ \int_A^B dS \right\}_2 = \left\{ \int_A^B dS \right\}_1$$

[Tilsvarende gjelder for indre energi  $U$  og entalpi  $H$ .]

For reversibel adiabatisk prosess:

$$0 = dQ_{\text{rev}} = T dS \Rightarrow dS = 0 \text{ langs hele prosessen}$$



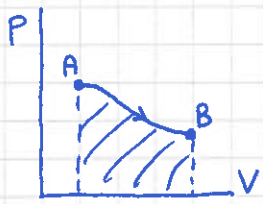
$$\Rightarrow S_B = S_A \Rightarrow \text{isentropisk prosess}$$

Merk: For irreversible prosesser er  $\oint dQ/T < 0$ , og vi kan ikke sette  $dQ/T = dS$ . For irreversible adiabatisk prosess er derfor  $\Delta Q = 0$  men  $\Delta S \neq 0$ . Skal se at de blir  $\Delta S > 0$ .

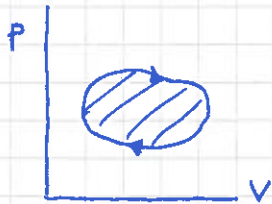
### 4.3 S-T-diagram

$\delta W_{rev} = p dV \Rightarrow$  nyttig med pV-diagram

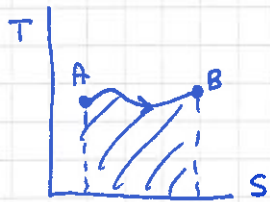
$\delta Q_{rev} = T dS \Rightarrow$  — " — TS-diagram



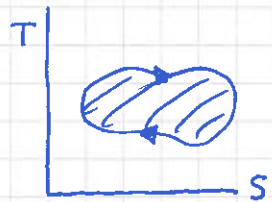
$$W_{rev} = \int_A^B p dV$$



$$W_{rev} = \oint p dV = Q_{rev}$$



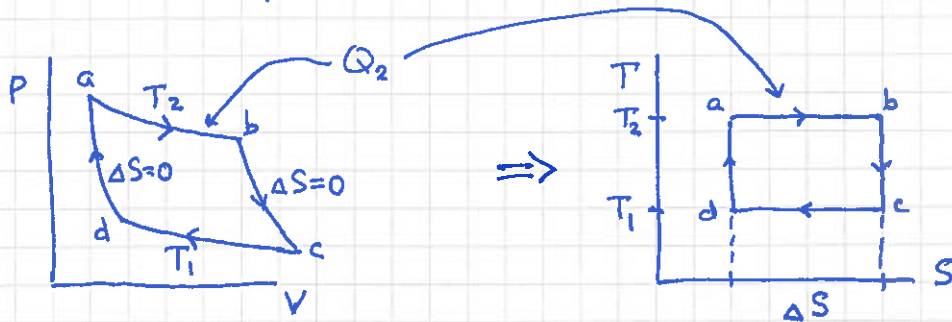
$$Q_{rev} = \int_A^B T dS$$



$$Q_{rev} = \oint T dS = W_{rev}$$

fordi  $\oint dU = 0$

Ek: Carnot-prozessen (reversibel)



$$W = \oint T dS = \int_d^c T dS = (T_2 - T_1) \cdot \Delta S$$

$$Q_2 = \int_a^b T dS = T_2 \cdot \Delta S$$

$$\Rightarrow \eta_c = \frac{W}{Q_2} = \frac{T_2 - T_1}{T_2} = 1 - \frac{T_1}{T_2} ; \text{ OK!}$$

## 4.4 Den termodynamiske identitet [LHL17.5]

(56)

$$1. \text{ lov: } dQ = dU + \cancel{dW} \Rightarrow dQ_{\text{rev}} = dU + p dV$$

$$2. \text{ lov: } dQ_{\text{rev}} = T ds$$

$$\Rightarrow \boxed{T ds = dU + p dV} \quad \left[ \text{Dette er 1. lov (som gjelder generelt),} \right. \\ \left. \text{pluss krav om reversibilitet, slik at } dQ \text{ kan uttrykkes ved tilstandsfunksjonen } S \right]$$

"Den termodyn. identitet" ("TDI"); sentral sammenheng for reversible prosesser (og  $p dV$ -arbeid), inneholder kun tilstandsvariable /- funksjoner!

Eks: Trengte  $(\partial U / \partial V)_T$  i  $C_p - C_v$ ; uttrykk denne ved kun  $p$  og  $T$ .

Løsn: Med  $T$  og  $V$  som variable er

$$dU = \left( \frac{\partial U}{\partial T} \right)_V dT + \left( \frac{\partial U}{\partial V} \right)_T dV \quad (*)$$

$$ds = \left( \frac{\partial s}{\partial T} \right)_V dT + \left( \frac{\partial s}{\partial V} \right)_T dV$$

$$\stackrel{\text{TDI}}{=} \frac{1}{T} (dU + p dV)$$

$$\stackrel{(*)}{=} \frac{1}{T} \left( \frac{\partial U}{\partial T} \right)_V dT + \frac{1}{T} \left[ \left( \frac{\partial U}{\partial V} \right)_T + p \right] dV$$

$$\Rightarrow \left( \frac{\partial s}{\partial T} \right)_V = \frac{1}{T} \left( \frac{\partial U}{\partial T} \right)_V ; \quad \left( \frac{\partial s}{\partial V} \right)_T = \frac{1}{T} \left[ \left( \frac{\partial U}{\partial V} \right)_T + p \right]$$

$$\Rightarrow \frac{\partial^2 s}{\partial V \partial T} = \frac{\partial}{\partial V} \left[ \frac{1}{T} \left( \frac{\partial U}{\partial T} \right)_V \right] = \frac{1}{T} \frac{\partial^2 U}{\partial V \partial T}$$

$$\frac{\partial^2 s}{\partial T \partial V} = \frac{\partial}{\partial T} \left\{ \frac{1}{T} \left[ \left( \frac{\partial U}{\partial V} \right)_T + p \right] \right\} = -\frac{1}{T^2} \left[ \left( \frac{\partial U}{\partial V} \right)_T + p \right] + \frac{1}{T} \left[ \frac{\partial^2 U}{\partial V \partial T} + \left( \frac{\partial p}{\partial T} \right)_V \right]$$

$$\Rightarrow 0 = -\frac{1}{T^2} \left( \frac{\partial U}{\partial V} \right)_T - \frac{p}{T^2} + \frac{1}{T} \left( \frac{\partial p}{\partial T} \right)_V$$

$$\Rightarrow \boxed{\left( \frac{\partial U}{\partial V} \right)_T = T \left( \frac{\partial p}{\partial T} \right)_V - p}$$

PCH 4.18; nyttig relasjon!

#### 4,5 $C_p - C_v$ [LHL 17.5]

(57)

$$\begin{aligned} \text{Fra s. 20: } C_p - C_v &= \underbrace{\left[ p + (\partial U / \partial V)_T \right]}_{= T (\partial p / \partial T)_V} (\partial V / \partial T)_p \\ &= T (\partial p / \partial T)_V (\partial V / \partial T)_p \end{aligned}$$

Dvs: Med tilstandsfunksjonen  $S$  på plass knyttes kalorimetriske eksperimentet  $(C_p, C_v)$  direkte til formen på tilstandsligningen  $(\partial p / \partial T)_V, (\partial V / \partial T)_p$ .

Med syklisk regel [s. 27 og øving 2]:  $(\partial V / \partial T)_p (\partial T / \partial p)_V (\partial p / \partial V)_T = -1$

$$\Rightarrow C_p - C_v = T \left( \frac{\partial p}{\partial T} \right)_V \cdot (-1) \left( \frac{\partial p}{\partial T} \right)_V \left( \frac{\partial V}{\partial p} \right)_T = -T \left( \frac{\partial p}{\partial T} \right)_V^2 \underbrace{\left( \frac{\partial V}{\partial p} \right)_T}_{< 0} > 0$$

• Faste stoffer og væsker: Liten  $|\partial V / \partial p| \Rightarrow C_p \approx C_v$

• Ideell gass:  $pV = nRT$ ,  $(\partial p / \partial T)_V = nR / V = p / T$

$$\Rightarrow (\partial U / \partial V)_T = 0, \text{ dvs } U = U(T)$$

$$\text{Videre er } (\partial V / \partial p)_T = -nRT / p^2 \neq$$

$$\Rightarrow C_p - C_v = -T \cdot \frac{p^2}{T^2} \cdot \left( -\frac{nRT}{p^2} \right) = nR \quad (\text{som før, s. 21})$$

4.6  $\Delta S$  i reversible prosesser [LHL 17.2; YF 20.7]

Eks 1: Faseovergang

$T = \text{konst. og } Q = L = \text{Latent varme} \Rightarrow \Delta S' = L/T$

$L > 0$  for smelting, fordamning og sublimasjon

$\Rightarrow S'(\text{fast stoff}) < S'(\text{væske}) < S'(\text{gass})$

Eks 2: Generell  $S'(T, V)$

$$dS' = \frac{1}{T} (dU + p dV) = \frac{1}{T} \left[ \underbrace{\left(\frac{\partial U}{\partial T}\right)_V}_{= C_V} dT + \underbrace{\left(\frac{\partial U}{\partial V}\right)_T}_{= T(\partial p/\partial T)_V - p} dV + p dV \right] \quad (\text{PCH 4.18})$$

$$= C_V \frac{dT}{T} + \left(\frac{\partial p}{\partial T}\right)_V dV$$

Kjenner vi nå  $p(T, V)$  (dvs tilst.lign.) og  $C_V(T)$ , så kan  $S'(T, V)$  bestemmes ved integrasjon.

Eks 3:  $S'(T, V)$  for ideell gass

$(\partial p/\partial T)_V = nR/V$ ; anta  $C_V = \text{konstant}$  i aktuelt temp.område

$$\Rightarrow S'(T, V) - S'(T_0, V_0) = C_V \ln \frac{T}{T_0} + nR \ln \frac{V}{V_0}$$

der  $(T_0, V_0) = \text{valgt referansetilstand}$

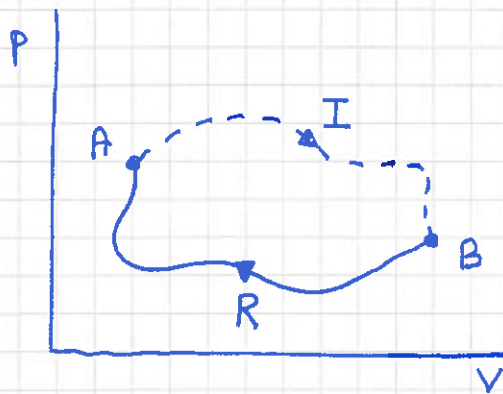
## 4.7 Prinsippet om entropiens økning [LHL 17.3; YF 20.7]

(59)

$$\Delta S \geq 0 \text{ i termisk isolert system}$$

[ $\Delta S = 0$  for reversible prosesser i termisk isolert system]

Bewis:



I: vilkårlig varmeisolert prosess fra A til B ( $\Delta Q = 0$ )

R: vilkårlig reversibel prosess fra B til A

Clausius' ulikhet:  $\oint \frac{dQ}{T} \leq 0$

$$\Rightarrow \underbrace{\left\{ \int_A^B \frac{dQ}{T} \right\}_I}_{= 0, \text{ fordi } dQ=0 \text{ hele veien}} + \underbrace{\left\{ \int_B^A \frac{dQ_{\text{rev}}}{T} \right\}_R}_{= \int_B^A dS = S_A - S_B} \leq 0$$

$\Rightarrow \Delta S = S_B - S_A \geq 0$  for den vilkårlige prosessen

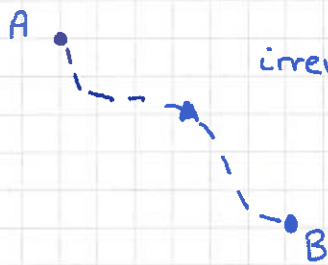
(I) i det varmeisolerte systemet (QED)

[At  $\Delta S = 0$  for reversibel, varmeisolert prosess vet vi fra før, s.54]

Kombinert med 1. lov:

Universets energi er konstant; dets entropi øker

# 4.10 $\Delta S$ i irreversible prosesser [LHL 17.3; YF 20.7] (60)



irreversibel prosess; hvis varmeisoleret så vet vi at  $\Delta S' = S'_B - S'_A > 0$ .

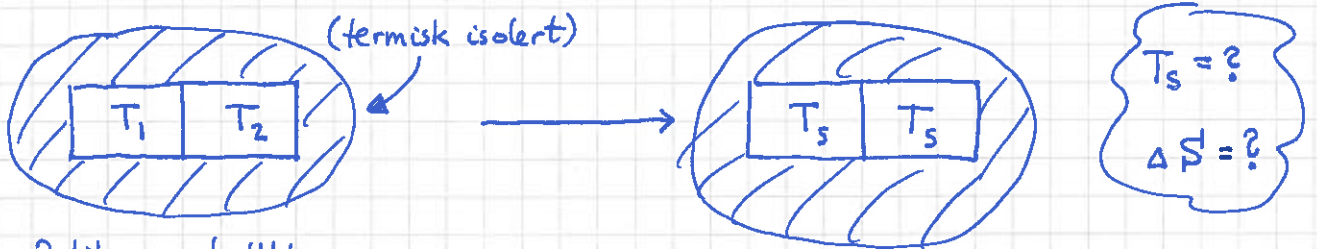
Men hvordan beregne  $\Delta S'$ ?

Kan ikke bruke  $\Delta S = \int_A^B dQ/T$  for irrev. prosess, men kan bruke vilkårlig reversibel prosess og regne ut

$$\Delta S' = \int_A^B dQ_{rev}/T$$

med  $dQ_{rev}/T = dS' = \frac{1}{T} (dU + pdV) = \dots, S8\dots = C_V \frac{dT}{T} + \left(\frac{\partial p}{\partial T}\right)_V dV$

Eks 1: Temperaturutjevning



2 like metallklosser

$T_s =$  slutt-temp. i likevekt

Løsning: Her er  $\Delta V \approx 0$ , slik at  $dS = C_V dT/T$  (for tenkt reversibel varmeutjevning for hver av de to klossene)

Starttilstand:  $S_i = S_1 + S_2 = \int_0^1 dS' + \int_0^2 dS' = C_V \ln \frac{T_1}{T_0} + C_V \ln \frac{T_2}{T_0}$   
 $= C_V \ln \frac{T_1 T_2}{T_0^2}$  ( $T_0 =$  vilkårlig referansetemp.)

Slutt-tilstand:  $S_s = \int_{T_0}^{T_s} 2C_V dT/T = 2C_V \ln \frac{T_s}{T_0} = C_V \ln \frac{T_s^2}{T_0^2}$

$\Rightarrow \Delta S' = S_s - S_i = C_V \ln (T_s^2 / T_1 T_2)$

Like klosser  $\Rightarrow$  lik  $|\Delta T| = \frac{|\Delta Q|}{C_V}$  for klossene

$\Rightarrow T_s = (T_1 + T_2) / 2$

$$\Rightarrow \Delta S = C_V \ln \frac{(T_1 + T_2)^2}{4T_1 T_2} = C_V \ln \frac{4T_1 T_2 + (T_1 - T_2)^2}{4T_1 T_2} \quad (6)$$

$$= \underline{\underline{C_V \ln \left( 1 + \frac{(T_1 - T_2)^2}{4T_1 T_2} \right) > 0}}$$

Som ventet er  $\Delta S > 0$ : Prosessen må være irreversibel, siden varme utveksles ved endelige temperaturforskjeller mellom klossene. (Reversibel prosess krever infinitesimal temperaturforskjell.)

Eks 2: Blanding av ideelle gasser

(evt: Isoterm utvidelse av ideell gass)

Før blanding:

$V_1$	$V_2$		$V_c$
$N_1$	$N_2$	...	$N_c$

Fjerner veggene  $\rightarrow$

Etter blanding:

$$V = \sum_i V_i$$

$$N = \sum_i N_i$$

$\Delta S = ?$

$c$  adskilte komponenter,  
felles  $p$  og  $T$

$$pV = NkT,$$

dvs samme  $p$  og  $T$   
 som før blanding  
 (se nedenfor)

$$\Rightarrow pV_i = N_i kT; \quad i=1,2,\dots,c$$

$$\Rightarrow pV = NkT; \quad V = \sum_i V_i, N = \sum_i N_i \quad \Rightarrow V/V_i = N/N_i$$

• ideelle gasser, dvs ingen vekselvirkning mellom molekylene

$$\Rightarrow \text{uendret } \langle v^2 \rangle \Rightarrow \text{uendret } T$$

$$\Rightarrow \text{partialtrykk etter blanding blir } p_i = N_i kT/V$$

$$\Rightarrow p = \sum_i p_i = \sum_i N_i kT/V = NkT/V, \text{ som før blanding}$$

$$\bullet \quad dT=0 \Rightarrow dS_i = (\partial p_i / \partial T)_{V_i} dV_i = (N_i k / V_i) dV_i; \quad i=1,2,\dots,c$$

$$\Rightarrow \Delta S_i = N_i k \int_{V_i}^V dV_i / V_i = N_i k \ln(V/V_i); \quad \text{---} \rightarrow$$

$$\Rightarrow \Delta S = \sum_i \Delta S_i = \underline{\underline{\sum_i N_i k \ln(V/V_i) = \sum_i N_i k \ln(N/N_i) > 0}}$$

7.02.14

## 4.11 Mikrofysisk tolkning av $S$ [LHL 17.11; YF 20.8]

(62)

Termodynamisk definisjon:  $dS = \delta Q_{\text{rev}} / T$

Boltzmann:  $S = k \ln W$  (Mikrofysisk, statistisk definisjon)

- $W$  = antall ulike mikroskopiske tilstander som tilsvarer en gitt makroskopisk tilstand
- Mikroskopisk tilstand for system med  $N$  partikler er bestemt ved  $(\vec{r}_i, \vec{p}_i)$ ;  $i = 1, 2, \dots, N$ , dvs  $6N$  variable i 3D.
- Makroskopisk tilstand er bestemt ved noen få termodynamiske variable.
- Klassisk er "faserommet"  $(\vec{r}, \vec{p})$  kontinuertlig  
 $\Rightarrow W$  må erstattes av sannsynlighetsfordeling (jf. kap. 9), evt. må faserommet diskretiseres
- Kvantemekanisk har vi diskrete, tellbare tilstander  
 $\Rightarrow$  entydig  $W$  = antall kvantemek. tilstander (konfigurasjoner)  
 konsistent med gitt energi
- Entropi er ekstensiv: 

1	2
---	---

 $S = S_1 + S_2$

Med Boltzmann:  $W_j$  = antall mikrotilstander i delsystem  $j$

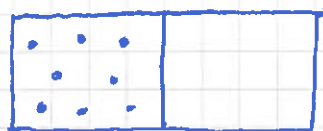
$\Rightarrow W = W_1 \cdot W_2$  = antall mikrotilst. totalt

$\Rightarrow S = k \ln W = k \ln (W_1 \cdot W_2) = k \ln W_1 + k \ln W_2 = S_1 + S_2$

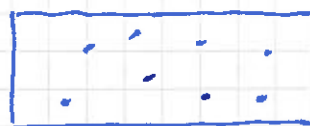
- Når  $T \rightarrow 0$  er systemet i makrotilstand med lavest mulig energi, den såkalte grunntilstanden. Hvis det kun er en grunntilstand:  $S(0) = k \ln 1 = 0$ .  
 Hvis  $g^N$  mulige grunntilstander:  $S(0) = k \ln g^N = Nk \ln g > 0$

## Eks 1: Utvidelse av ideell gass

(63)



$N$  molekyler i  
volum  $V_0$



$N$  molekyler i  
volum  $V$

$\Delta S = ?$

Løsn:

Diskretisering: Del inn i små volum  $\Delta = (\delta L)^3$ , der vi  
feks. antar at posisjoner kan måles med nøyaktighet  $\delta L$ .

$\Rightarrow M = V/\Delta =$  antall mulige posisjoner for hver partikkel (molekyl)  
( $M_0 = V_0/\Delta$ ) i boks med volum  $V$

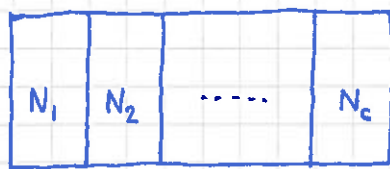
$\Rightarrow M^N =$  antall ulike mikrotilstander for  $N$  molekyler i vol.  $V$

$\Rightarrow S(V) = k \ln W = k \ln M^N = Nk \ln M = Nk \ln (V/\Delta)$

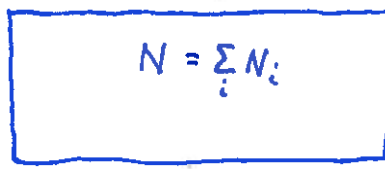
$\Rightarrow \Delta S = S(V) - S(V_0) = Nk \ln (V/\Delta) - Nk \ln (V_0/\Delta)$   
 $= Nk \ln (V/V_0)$

som med termodynamikk s. 61; dvs mikrodef. ( $S = k \ln W$ )  
er konsistent med makrodef. ( $dS = dQ_{rev}/T$ ).

## Eks 2: Blanding av ideelle gasser



$S_0$



$S$

$\Delta S = S - S_0 = k \ln W$ , der  $W =$  antall måter vi kan bytte om  
ulike partikler på (inkl. ingen ombytter!)

$$\Rightarrow W = \frac{N!}{N_1! N_2! \dots N_c!}$$

Sjekk for  $c=2$  og  $N_1 = N_2 = 2$  :



OK:  $\frac{4!}{2! 2!} = \frac{24}{2 \cdot 2} = 6 =$  antall ulike mikrotilstander som svarer til samme "makrotilstand"

Bruker Stirlings formel:  $N! \approx \sqrt{2\pi N} N^N e^{-N}$  for  $N \gg 1$

$$\Rightarrow \ln N! \approx \ln \sqrt{2\pi} + \ln \sqrt{N} + N \ln N - N \approx N \ln N - N$$

$$\left[ \ln N! = \ln(1 \cdot 2 \cdot 3 \cdot \dots \cdot N) = \sum_{x=1}^N \ln x \approx \int_1^N \ln x dx = \int_1^N (x \ln x - x) \right]$$

$$= N \ln N - N + 1 \approx N \ln N - N$$

Dermed :

$$\Delta S = k \ln W = k \left\{ \ln N! - \sum_i \ln N_i! \right\}$$

$$\approx k \left\{ N \ln N - N - \sum_i [N_i \ln N_i - N_i] \right\}$$

$$= k \left\{ (\sum_i N_i) \ln N - \sum_i N_i \ln N_i \right\}$$

$$= k \left\{ \sum_i N_i [\ln N - \ln N_i] \right\}$$

$$= k \sum_i N_i \ln \frac{N}{N_i}$$

som med termodynamikk s. 61.

## 5. Termodynamiske potensialer og relasjoner [LHL 17] (65)

Ulike energistørrelser er nyttige i ulike situasjoner:

$$U = \text{indre energi}; \quad C_V = \left(\frac{\partial U}{\partial T}\right)_V$$

$$H = U + pV = \text{entalpi}; \quad C_p = \left(\frac{\partial H}{\partial T}\right)_p$$

### 5.1 Helmholtz fri energi F [LHL 17.6]

$$F \stackrel{\text{def}}{=} U - TS$$

[Kreasjon av system i omgivelser med konstant temperatur  $T$  fordrer et arbeid  $F$ ; i tillegg får du varmen  $T \cdot S$  "gratis" fra omgivelsene:  $U = F + TS$ .]

[Eller: Annihilasjon av system med energi  $U$  og entropi  $S$  kan frigjøre et arbeid  $F$ , mens varmen  $TS$  må avgis til omgivelsene slik at vi blir kvitt entropien  $S$ .]

Ser på en liten endring i  $F$ :

$$dF = d(U - TS) = \underbrace{dU - T ds}_{-p dV} - S dT \quad (\text{pga TDI})$$

$$\Rightarrow \boxed{dF = -p dV - S dT}$$

$\Rightarrow$  vi ser at  $V$  og  $T$  er de to naturlige variable for  $F$ ; i prosesser med konstante  $V$  og  $T$  er  $dF = 0$ , dvs  $F = \text{konst.}$ ; hvis  $T = \text{konst.}$  er  $dF = -p dV = \text{arbeid utført på systemet}$ , derfor symbolet  $A$  i enkelte bøker ("Arbeit")

$$\text{Med } F = F(V, T) \text{ er } dF = \left(\frac{\partial F}{\partial V}\right)_T dV + \left(\frac{\partial F}{\partial T}\right)_V dT \quad (66)$$

$$\Rightarrow p = -\left(\frac{\partial F}{\partial V}\right)_T \quad \text{og} \quad S = -\left(\frac{\partial F}{\partial T}\right)_V$$

$$\Rightarrow \left(\frac{\partial p}{\partial T}\right)_V = \left(\frac{\partial S}{\partial V}\right)_T \quad \left(\text{siden } \frac{\partial^2 F}{\partial T \partial V} = \frac{\partial^2 F}{\partial V \partial T}\right)$$

Sammenhengen med statistisk mekanikk:

$$Z = e^{-\beta F}$$

$$\text{dus } \beta F = -\ln Z \Rightarrow F = -kT \ln Z$$

Sjekk:

$$U = F + TS = F - T \left(\frac{\partial F}{\partial T}\right)_V = F + \beta \left(\frac{\partial F}{\partial \beta}\right)_V$$

$$= \frac{\partial}{\partial \beta} (\beta F) = -\frac{\partial}{\partial \beta} \ln Z = -\frac{1}{Z} \frac{\partial Z}{\partial \beta}$$

$$= -\frac{1}{Z} \frac{\partial}{\partial \beta} \left\{ \sum_j e^{-\beta E_j} \right\} = \frac{1}{Z} \sum_j E_j e^{-\beta E_j}$$

$$= \langle E \rangle \quad (\text{OK!})$$

Videre er f.eks:

$$p = -\left(\frac{\partial F}{\partial V}\right)_T = kT \frac{\partial \ln Z}{\partial V}$$

$$S = -\left(\frac{\partial F}{\partial T}\right)_V = k \ln Z + kT \frac{\partial \ln Z}{\partial T}$$

19.02.14

5.2 Gibbs fri energi  $G$ 

[LHL 17.6]

(67)

$$G \stackrel{\text{def}}{=} U - TS + pV$$

$$\text{dvs: } G = F + pV = H - TS$$

[Kreasjon av system med indre energi  $U$ , volum  $V$  og entropi  $S$  i omgivelser med konstant trykk  $p$  og konstant temperatur  $T$  fordrer et arbeid  $G$ ; varmen  $TS$  fås gratis fra omgivelsene, arbeidet  $pV$  mot det ytre trykket er nødvendig for å rydde plass til systemet, jf. entalpien s. 25.]

Ser på endring i  $G$ :

$$dG = dU - T dS - S dT + p dV + V dp$$

$$\text{TDI: } T dS = dU + p dV$$

$$\Rightarrow \boxed{dG = -S dT + V dp}$$

$\Rightarrow$  ser at  $T$  og  $p$  er naturlige variable for  $G$ ;

i prosesser med konstant  $T$  og  $p$  er  $dG=0$ , dvs  $G=\text{konst.}$

Siden  $dG = \left(\frac{\partial G}{\partial T}\right)_p dT + \left(\frac{\partial G}{\partial p}\right)_T dp$  når  $G = G(T, p)$ , har vi

$$S = -\left(\frac{\partial G}{\partial T}\right)_p \quad \text{og} \quad V = \left(\frac{\partial G}{\partial p}\right)_T$$

og dermed

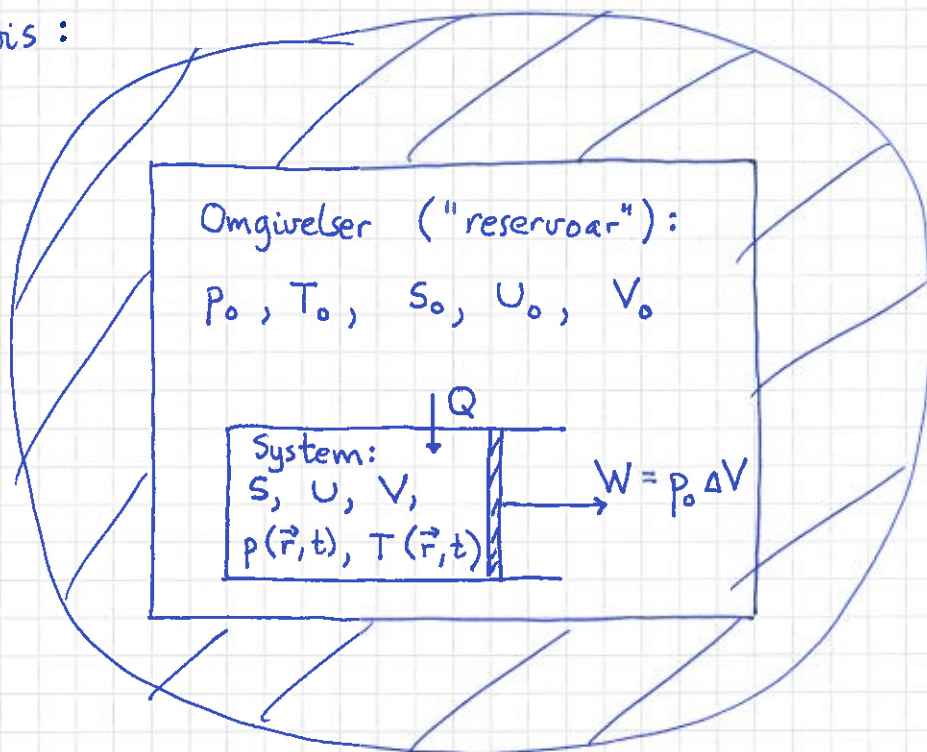
$$\left(\frac{\partial S}{\partial p}\right)_T = -\left(\frac{\partial V}{\partial T}\right)_p$$

Nyttig likevektsbetingelse :

(68)

$G$  er minimal for system i likevekt med omgivelser <sup>med</sup> gitt trykk og temperatur

Bevis :



Pga termisk ( $Q$ ) og mekanisk ( $W$ ) kontakt mellom system og omgivelser, vil systemet gå mot likevekt :

$$p(\vec{r}, t) \rightarrow p_0 \quad ; \quad T(\vec{r}, t) \rightarrow T_0$$

For "totalsystemet" = omgivelser + system :

$$\Delta V_t = \Delta V_0 + \Delta V = 0 \quad (V_t = V_0 + V = \text{konst.})$$

$$\Delta U_t = \Delta U_0 + \Delta U = 0 \quad (1. \text{lov})$$

$$\Delta S_t = \Delta S_0 + \Delta S \geq 0 \quad (2. \text{lov})$$

For omgivelsene (som hele tiden er i likevekt, ved  $p_0, T_0$ ) :

$$T_0 \Delta S_0 = \Delta U_0 + p_0 \Delta V_0 \quad (\text{TDI})$$

$$\Rightarrow T_0 \Delta S \geq -T_0 \Delta S_0 = -\Delta U_0 - p_0 \Delta V_0 = \Delta U + p_0 \Delta V \quad (69)$$

$$\Rightarrow \Delta(U - T_0 S + p_0 V) \leq 0$$

$$\Rightarrow \Delta G \leq 0 \quad ; \quad G = U - T_0 S + p_0 V$$

Dvs: systemet går mot likevekt,  $p_0$  og  $T_0$ , via spontane prosesser som minimerer Gibbs fri energi (ged)

- Merk at likevektverdierne  $p_0$  og  $T_0$  inngår i  $G$ , i kombinasjon med  $U$ ,  $S$  og  $V$  (som beskriver systemet på vei mot likevekt).
- Aktuelle veier mot likevekt:
  - utveksling av varme  $Q$  og/eller arbeid  $W$
  - kjemiske reaksjoner
  - faseoverganger

---

Eks: Grafitt vs diamant [To ulike faste faser av karbon.]

Ved hvilket trykk er grafitt og diamant like stabile?  
Hvorfor eksisterer diamanter ved normalt trykk?

Løsning:

Ved normale betingelser ( $T = 298 \text{ K}$ ,  $p = 1 \text{ atm}$ ):

$$\Delta g^\circ = \Delta G^\circ / n = g_d^\circ - g_g^\circ \approx 2.9 \text{ kJ}$$

(dvs grafitt mest stabilt)

Fra s. 67:  $V = \left(\frac{\partial G}{\partial p}\right)_T \Rightarrow v = \frac{V}{n} = \left(\frac{\partial g}{\partial p}\right)_T$  (70)

T = konst.  
 $\Rightarrow$

$$dg = v dp$$

Molare volum:

$$v_d = \frac{m_d}{\rho_d} = \frac{12 \text{ g}}{3.5 \text{ g/cm}^3} = 3.43 \text{ cm}^3$$

$$v_g = \frac{m_g}{\rho_g} = \frac{12 \text{ g}}{2.3 \text{ g/cm}^3} = 5.22 \text{ cm}^3$$

Antas uavhengige av trykket (dvs liten kompressibilitet, se s. 12)

$$\Rightarrow \int_{g^0}^g dg = g - g^0 = \int_{p_0}^p v dp \approx v \cdot (p - p_0)$$

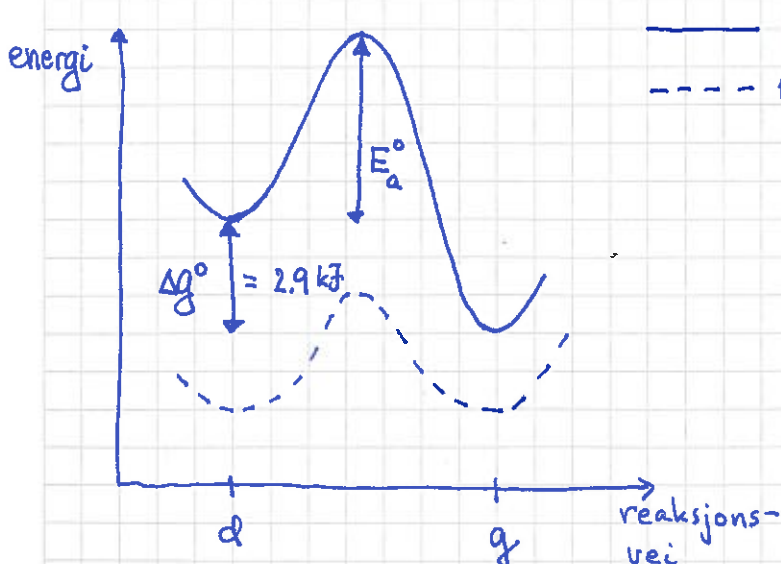
Like stabile når  $g_d = g_g$

$$\Rightarrow g_d^0 + v_d (p - p_0) = g_g^0 + v_g (p - p_0)$$

$$\Rightarrow p = p_0 + (g_d^0 - g_g^0) / (v_g - v_d)$$

$$= p_0 + 2.9 \cdot 10^3 \text{ Nm} / 1.79 \cdot 10^{-6} \text{ m}^3$$

$$= \underline{\underline{1.6 \cdot 10^4 \text{ atm}}}$$



Siden diamanter (d) har lang levetid (enig!?) ved normalt trykk, må det være en høy energibarriere,

$$E_a^0 \gg kT,$$

som forsinker (hindrer!) spontan omdannelse av diamant til grafitt.



# Legendre transformasjon og variabelskifte

Har  $U(S, V)$  med  $dU = T dS - p dV$ , dvs  $T = (\partial U / \partial S)_V$ ,  
Ønsker en funksjon av  $T$  og  $V$ .  $p = -(\partial U / \partial V)_S$

Oppnås med en Legendretransf:

$$F = U - TS$$

ny funksjon      gml funksjon      ny variabel =  $\partial(\text{gml funk}) / \partial(\text{gml var})$       gml variabel

$$dF = dU - T dS - S dT = -p dV - S dT$$

dvs  $F = F(V, T)$  med  $p = -(\partial F / \partial V)_T$  og  $S = -(\partial F / \partial T)_V$

Hvis vi ønsker en funksjon av  $S$  og  $p$ :

$$H = U - (-p)V = U + pV$$

ny funk.      gml funk.      ny var.      gml var.

$$dH = dU + p dV + V dp = T dS + V dp$$

dvs  $H = H(S, p)$  med  $T = (\partial H / \partial S)_p$  og  $V = (\partial H / \partial p)_S$

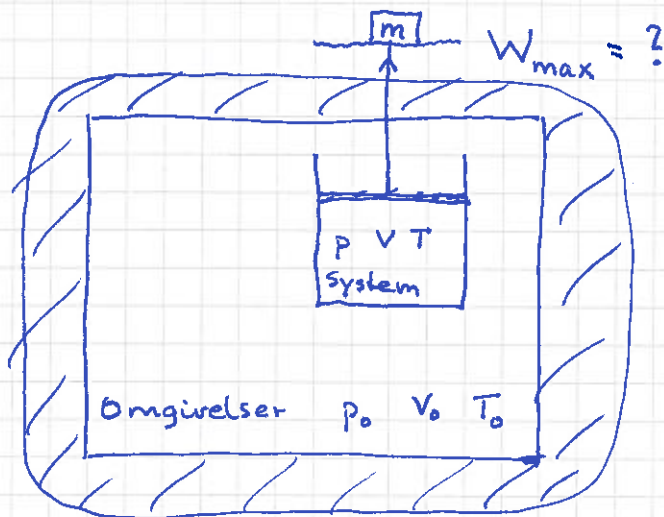
Hvis vi ønsker funk. av  $p$  og  $T$ :

$$G = F - (-p)V = F + pV$$

ny funk.      gml funk.      ny var.      gml var.

$$dG = dF + p dV + V dp = -S dT + V dp$$

dvs  $G = G(T, p)$  med  $S = -(\partial G / \partial T)_p$  og  $V = (\partial G / \partial p)_T$



Max. arbeid ut, eksergien,  
oppnås med reversibel  
prosess mot likevekt  
( $p \rightarrow p_0$ ,  $T \rightarrow T_0$ )

Som på s. 68: ( $t \hat{=}$  totalsystem, termisk lukket)

$$\Delta S_t = \Delta S_0 + \Delta S = 0 \quad (\text{reversibel!})$$

$$\Delta U_t = \Delta U_0 + \Delta U = -W_{\max} \quad (1.\text{lov})$$

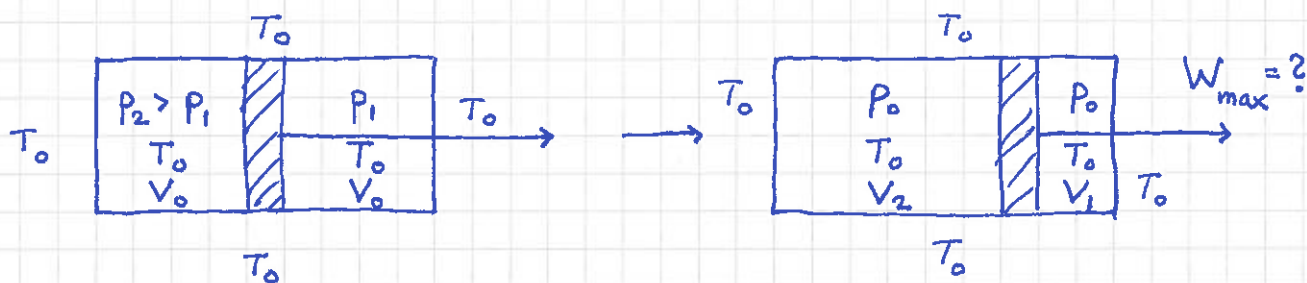
$$\Delta V_t = \Delta V_0 + \Delta V = 0$$

$$T_0 \Delta S_0 = \Delta U_0 + p_0 \Delta V_0 \quad (\text{TDI for "omgivelsene"})$$

$$\begin{aligned} \Rightarrow W_{\max} &= -\Delta U_t = -\Delta U - \Delta U_0 \\ &= -\Delta U - T_0 \Delta S_0 + p_0 \Delta V_0 \\ &= -\Delta U + T_0 \Delta S - p_0 \Delta V \\ &= -\Delta(U - T_0 S + p_0 V) \\ &= -\Delta G \end{aligned}$$

- Som ventet inngår  $-p_0 \Delta V$  i  $W_{\max}$ : utvidelse mot omgivende trykk  $p_0$  er ikke nyttig arbeid ut!
- "System + Omgivelser" kan være to "delsystemer" som sammen går reversibelt mot en felles likevekt.

Eks: Eksergi ved trykkutjevning; ideelle gasser



- Finn maksimalt arbeid ved å beregne eksergien,  $-\Delta G$
- Beregn  $W_{max}$  "direkte"

Løsning:

•  $-\Delta G = -\Delta(U - T_0 S + p_0 V) = -\Delta U + T_0 \Delta S - p_0 \Delta V$   
 med  $U, S$  og  $V$  for systemet { gass 1 + gass 2 }.

Her er  $\Delta V = 0$  (dvs  $2V_0 = V_1 + V_2$ ) og  $\Delta U = 0$  (fordi begge gassene gjennomgår reversibel isoterm volumendring, og  $U = U(T)$  for ideell gass), men  $\Delta S \neq 0$ .

Fra s.58:  $dS = C_V \frac{dT}{T} + \left(\frac{\partial p}{\partial T}\right)_V dV \stackrel{dT=0}{=} nR \frac{dV}{V}$

$\Rightarrow \Delta S_1 = n_1 R \ln(V_1/V_0) < 0, \quad \Delta S_2 = n_2 R \ln(V_2/V_0) > 0$

$\Rightarrow W_{max} = -\Delta G = T_0 (\Delta S_1 + \Delta S_2) = RT_0 \left[ n_1 \ln \frac{V_1}{V_0} + n_2 \ln \frac{V_2}{V_0} \right]$

Uttrykt ved gitte størrelser  $p_1, p_2$  og  $V_0$ :

$n_1 RT_0 = p_1 V_0 = p_0 V_1, \quad n_2 RT_0 = p_2 V_0 = p_0 V_2$

$\Rightarrow V_1/V_0 = p_1/p_0, \quad V_2/V_0 = p_2/p_0$

og (ved addisjon)  $(p_1 + p_2) V_0 = p_0 (V_1 + V_2) = 2 p_0 V_0 \Rightarrow p_0 = \frac{p_1 + p_2}{2}$

$\Rightarrow W_{max} = p_1 V_0 \ln \frac{2 p_1}{p_1 + p_2} + p_2 V_0 \ln \frac{2 p_2}{p_1 + p_2} \quad (\geq 0)$

- Direkte utregning:

Arbeid utført av gass 2:

$$W_2 = \int_{V_0}^{V_2} p(V_2) dV_2 = n_2 RT_0 \int_{V_0}^{V_2} \frac{dV_2}{V_2} = n_2 RT_0 \ln \frac{V_2}{V_0} \quad (> 0)$$

Arbeid utført av gass 1:

$$W_1 = \int_{V_0}^{V_1} p(V_1) dV_1 = \dots = n_1 RT_0 \ln \frac{V_1}{V_0} \quad (< 0)$$

Arbeid på omgivelsene:

$$W = W_1 + W_2 = n_1 RT_0 \ln \frac{V_1}{V_0} + n_2 RT_0 \ln \frac{V_2}{V_0}$$

- Kommentar: Reversibel volumendring skjer her i termisk likevekt med omgivelser med temp.  $T_0$ , dvs isotermt, og med ideelle gasser er da  $\Delta U_1 = \Delta U_2 = 0$ . Men med termisk kontakt mellom system og omgivelser utveksles varme;  $Q_2 = T_0 \Delta S_2 > 0$  overføres fra omgivelsene til gass nr 2 når denne utvider seg og utfører positivt arbeid  $W_2$ , mens  $Q_1 = T_0 \Delta S_1 < 0$ , dvs gass nr 1 avgir varme til omgivelsene når denne presses sammen og utfører negativt arbeid  $W_1$ . Netto varme mottatt fra omgivelsene omsettes i nyttig arbeid,  $W = Q_1 + Q_2$ .

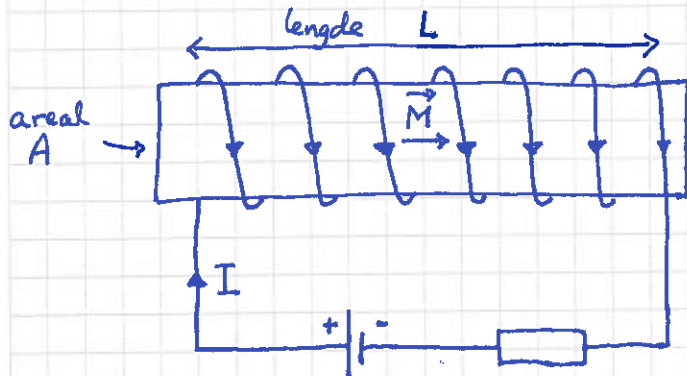
- Øving 8: Eksergi ved temperaturutjæring  
(se også PCH 5.3)

## 6.2 Magnetiske systemer

76

Magnetisk materiale = system med stort antall magnetiske dipoler  
⇒ Termodynamikk kan anvendes!

Bruker grunnleggende elmag til å finne arbeidsleddet  $dW$ :



Lang, tettviklet spole med magnetisk kjerne;  $n$  viklinger pr lengdeenhet, volum  $V=L \cdot A$

Amperes lov  $\Rightarrow |\vec{H}| = H = n I$

$\vec{B} = \mu_0 (\vec{H} + \vec{M})$ ;  $\vec{M}$  = magnetisering = magn. moment pr volumenhet

Anta uniforme  $\vec{B}$ ,  $\vec{H}$ ,  $\vec{M}$  og  $\vec{B} \parallel \vec{H} \parallel \vec{M}$

⇒ kan bruke skalare størrelser,  $B = \mu_0 (H + M)$

Tidsavhengig  $I \Rightarrow dB/dt \neq 0 \Rightarrow$  induisert elektrisk felt

⇒ elektriske krefter på ladninger i bevegelse ( $I$ ; "omgivelsene")

⇒ arbeid av system på omgivelsene, pr tidsenhet:

$$\frac{dW}{dt} = \mathcal{E} I = - \frac{d\Phi}{dt} \cdot I = -NA \frac{dB}{dt} \cdot I$$

$$= -nLA \frac{dB}{dt} I = -nV \frac{dB}{dt} I = -V \frac{dB}{dt} \cdot H$$

⇒  $dW = -V H dB = -V \mu_0 H (dH + dM)$

1. ledd:  $-d(V \cdot \frac{1}{2} \mu_0 H^2) = -V \mu_0 H dH$  (med  $V = \text{konst.}$ )

dvs endring i vakuumentaliteten

Så, med system = magnetisk materiale, uten vakuumenergi:

(77)

$$dW = -V \mu_0 \mathcal{H} dM$$

Siden  $M$  = magn. moment pr volumenhet, er

$$\mathcal{M} = M \cdot V = \text{totalt magn. moment} \quad (\text{ekstensiv størrelse!})$$

Dermed:

$$dW = -\mu_0 \mathcal{H} d\mathcal{M}$$

Dvs: analogt  $p dV$  med  $p \leftrightarrow -\mu_0 \mathcal{H}$ ,  $V \leftrightarrow \mathcal{M}$

Kan nå skrive ned diverse termodynamiske analogier:

	Gass	Magnetisk materiale
T D I	$TdS = dU + pdV$	$TdS = dU - \mu_0 \mathcal{H} d\mathcal{M}$
Entalpi	$H = U + pV$	$H = U - \mu_0 \mathcal{H} \mathcal{M}$
Helmholtz fri energi	$F = U - TS$	$F = U - TS$
Gibbs fri energi	$G = H - TS$	$G = U - \mu_0 \mathcal{H} \mathcal{M} - TS$
Differensialer	$dH = TdS + Vdp$ $dF = -SdT - p dV$ $dG = -SdT + Vdp$	$dH = TdS - \mu_0 \mathcal{M} d\mathcal{H}$ $dF = -SdT + \mu_0 \mathcal{H} d\mathcal{M}$ $dG = -SdT - \mu_0 \mathcal{M} d\mathcal{H}$
Tilstandsligning	$f(p, V, T) = 0$	$f(\mathcal{H}, \mathcal{M}, T) = 0$

Eks: Curies lov:  $\mathcal{M}(\mathcal{H}, T) = A \cdot \mathcal{H}/T$  ( $A = \text{konst.}$ )

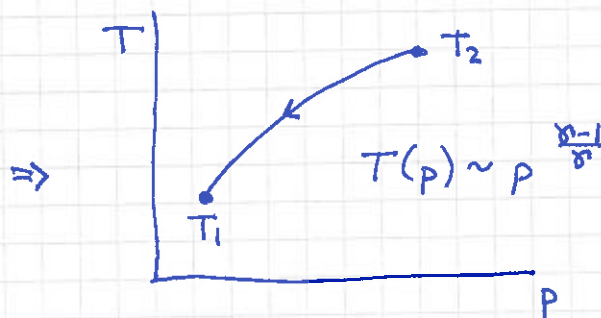
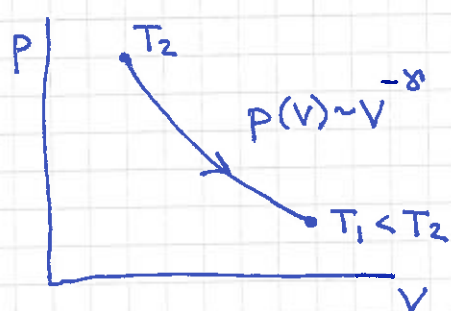
[Svakt felt, linear respons, paramagnet (ikke-v.u. spin), s. 4]

26.02.14

Eks: Magnetisk kjøling (Adiabatisk demagnetisering)

78

Adiabatisk <sup>trykkreduksjon</sup> (utvidelse) gir kjøling: (anta ideell gass)



⇒ For paramagnet ventes avkjøling hvis ytre magnetfelt  $\mathcal{H}$  skrues av adiabatisk.

Med gass og  $p dV$ -arbeid:  $[H = U + pV]$

$$dQ = T dS = dU + p dV = dH - V dp$$

$$= (\partial H / \partial T)_p dT + (\partial H / \partial p)_T dp - V dp$$

Fra s. 25:  $C_p = (\partial H / \partial T)_p$   $[dp=0 \Rightarrow \frac{dQ}{dT} = \frac{\partial H}{\partial T}]$

Videre, siden

$$T dS = dU + p dV \Rightarrow (\partial U / \partial V)_T = T (\partial p / \partial T)_V - p \quad (\text{PCH 4.18})$$

må vi ha at

$$T dS = dH - V dp \Rightarrow (\partial H / \partial p)_T = -T (\partial V / \partial T)_p + V$$

slik at

$$dQ = C_p dT - T (\partial V / \partial T)_p dp$$

Dermed, med <sup>para-</sup>magnet og  $-\mu_0 \mathcal{H} dM$ -arbeid, har vi:

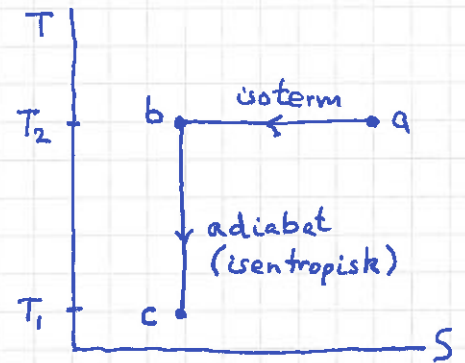
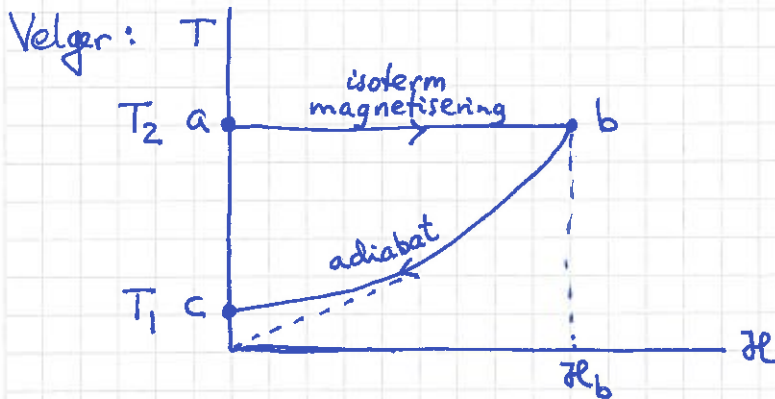
$$dQ = C_{\mathcal{H}} dT + \mu_0 T (\partial M / \partial T)_{\mathcal{H}} d\mathcal{H}$$

med  $C_{\mathcal{H}} = (dQ/dT)_{\mathcal{H}} = \cancel{C_p} (dH/dT)_{\mathcal{H}}$

Vi vet at økt temp. (med  $\mathcal{H} = \text{konst.}$ ) gir redusert innretting av spinn, dvs redusert  $M$ , dvs  $(\partial M / \partial T)_{\mathcal{H}} < 0$

[F.eks. Curies lov:  $M = A\mathcal{H}/T \Rightarrow (\partial M / \partial T)_{\mathcal{H}} = -A\mathcal{H}/T^2 < 0$ ; ok!]

$\Rightarrow$  Med  $dQ = 0$  (adiabatisk prosess) vil  $dT$  og  $d\mathcal{H}$  ha samme fortegn  $\Rightarrow$  Arkjøling med  $d\mathcal{H} < 0$ .



$a$ :  $\mathcal{H} = 0, M = 0$ , termisk likevekt med f.eks. flytende He reservoar,  $T_2 \approx 4K$

$a \rightarrow b$ : økende grad av innretting av spinn langs  $\vec{\mathcal{H}}$ , dvs økt  $M$ , og uttagende entropi ( $\Delta S < 0$ ), varme avgis til omgivelsene ( $Q_2 = T_2 \Delta S < 0$ )

$b \rightarrow c$ : reduserer ytre felt fra  $\mathcal{H}_b$  til  $0$ ; varmeisoleret; negativ  $d\mathcal{H} \Rightarrow$  negativ  $dT$ ; arkjøling!

$Q = 0 \Rightarrow \Delta S = 0$  (antar reversibel prosess)

$\Rightarrow \Delta M = 0$  (siden  $S = S(M)$ , se øving 8)

$\Rightarrow \Delta(\mathcal{H}/T) = 0$  (siden  $M = M(\mathcal{H}/T)$ , se øving 4)

$\Rightarrow \mathcal{H}/T = \text{konst.}$

$\Rightarrow T(\mathcal{H}) = \mathcal{H} \cdot (T_b / \mathcal{H}_b) \xrightarrow{\mathcal{H} \rightarrow 0} 0$

I praksis vil vekselvirkning mellom spinnene resultere

i  $B \neq 0$  selv om ytre felt skrues av  $\Rightarrow T_1 > 0$

# 7. Materielt åpne systemer [LHL 17.9]

80

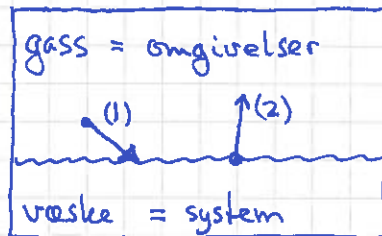
## 7.1 Kjemisk potensial \*

Mekanisk åpent system: Utveksling av arbeid med omgivelsene

Termisk — " — : — " — varme — " —

Materielt — " — : — " — partikler — " —

Eks 1: Faselikevekt



(1) kondensasjon,  $dN > 0$

(2) fordamping,  $dN < 0$

Eks 2: Kjemisk reaksjon



Med  $c=1$  komponent:

$$dU = T dS - p dV + \mu dN$$

dos partikler inn/ut av systemet bærer med seg energien

$$\mu = \left( \frac{\partial U}{\partial N} \right)_{S,V} \quad (= \text{det kjemiske potensial})$$

pr partikkel når  $S$  og  $V$  holdes konstant ( $dS = dV = 0$ ).

Som regel mest hensiktsmessig med  $p$  og  $T$  som frie variable

⇒ vi bruker  $G = U + pV - TS$  (= Gibbs fri energi)

$$\text{med } dG = dU + p dV - T dS + V dp - S dT$$

$$= \mu dN + V dp - S dT$$

$$\Rightarrow \boxed{\mu = \left( \frac{\partial G}{\partial N} \right)_{p,T}} = \text{endring i } G \text{ pr tilført partikkel} \quad (81)$$

med  $p$  og  $T$  holdt konstant

Med flere komponenter:

$$N_i \rightarrow N_i + 1 \Rightarrow G \rightarrow G + \mu_i \quad ; \quad i = 1, 2, \dots, c \quad (p, T \text{ konst.})$$

$$dG = V dp - S dT + \sum_{i=1}^c \mu_i dN_i$$

med  $\boxed{\mu_i = \left( \frac{\partial G}{\partial N_i} \right)_{p,T, N_{j \neq i}}}$  = kjemisk potensial for partikkeltype  $i$ ; generelt er  $\mu_1 \neq \mu_2 \neq \dots \neq \mu_c$

Med  $c=1$  kan vi skrive (siden  $G = U + pV - TS$  er ekstensiv)

$$G = g \cdot N \quad ; \quad g(p, T) = \text{Gibbs fri energi pr partikkel}$$

Dermed er

$$\mu = \left( \frac{\partial G}{\partial N} \right)_{p,T} = g(p, T) = G/N \quad (\text{dvs } \mu \text{ er } \underline{\text{intensiv}})$$

Med  $c > 1$  innebærer ekstensiv  $G$  at

$$G(p, T, \lambda N_1, \lambda N_2, \dots, \lambda N_c) = \lambda \cdot G(p, T, N_1, N_2, \dots, N_c)$$

(dvs: skalering av hele systemet med faste molbrøker  $x_i = N_i/N$ )

$$\begin{aligned} \Rightarrow \mu_i(p, T, \lambda N_1, \dots, \lambda N_i, \dots, \lambda N_c) &= \frac{\partial G(p, T, \lambda N_1, \dots, \lambda N_i, \dots, \lambda N_c)}{\partial (\lambda N_i)} \\ &= \frac{\lambda \partial G(p, T, N_1, \dots, N_i, \dots, N_c)}{\lambda \partial N_i} = \mu_i(p, T, N_1, \dots, N_i, \dots, N_c) \end{aligned}$$

dvs  $\mu_i$  er intensive variable, dvs uendret ved skalering med faste molbrøker

## 7.2 Likevektsbetingelser

$\nabla p \neq 0 \Rightarrow$  netto massestrøm fra høy mot lav  $p$

$\nabla T \neq 0 \Rightarrow$  netto varmestrøm fra høy mot lav  $T$

$\nabla \mu_i \neq 0 \Rightarrow$  kan oppnå  $\Delta G < 0$  ved forflytning av type- $i$ -partikler fra høy mot lav  $\mu_i$

$\Rightarrow$  Et system i likevekt har  $p$ ,  $T$  og alle  $\mu_i$  konstante over hele systemet

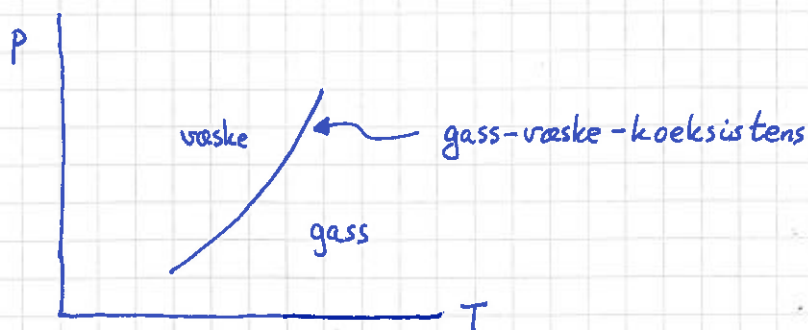
Eks:  $\text{H}_2\text{O} (g) \rightleftharpoons \text{H}_2\text{O} (l)$

gass (g)		
$\mu_g$	$p$	$T$
-----		
$\mu_v$	$p$	$T$
væske (l)		

•  $\mu_g > \mu_v \Rightarrow \Delta G = (\mu_v - \mu_g) \Delta N < 0$  hvis  $\Delta N$  molekyler kondenserer

•  $\mu_g < \mu_v \Rightarrow \Delta G = (\mu_g - \mu_v) \Delta N < 0$  hvis  $\Delta N$  molekyler fordampes

- Likevekt (Koeksistens) mellom gass- og væskefasen kun mulig hvis  $\mu_g(p, T) = \mu_v(p, T)$ , som fastlegger damptrykk-kurven:



(Mer om dette snart.)

## 7.3 Ideelle blandinger

83

Idealisert modell:

1. Blandingsentropi som med ideelle gasser

$$\Delta S_{\text{mix}} = -k \sum_{j=1}^c N_j \ln x_j \quad ; \quad x_j = \frac{N_j}{N} \quad (\text{se s. 61})$$

2. Ekstensive størrelser som  $U, V$  endres ikke ved blanding

$$a: \textcircled{A} \quad \textcircled{B} \quad b: \textcircled{B} \quad \textcircled{A} \quad U_a = U_b$$

Gjelder for ideelle gasser; god tilnærming for isotop-blandinger, blanding av lignende molekyler, for løsemiddelet i svake oppløsninger, og for kjemiske likevekter.

Modellen gir:

$$\mu_i = \mu_i^\circ + kT \ln x_i$$

Her er:

$\mu_i$  = kjemisk pot. for komponent  $i$  i blanding

$\mu_i^\circ$  = ————— " ————— ren komponent  $i$  ( $= \mu_i^\circ(p, T)$ )

$x_i = N_i / N$  (molbrøk)

Bewis:

$$S = S_0 + \Delta S_{\text{mix}} \quad (S_0 = \text{entropi for blanding})$$

$$G = U + pV - TS$$

$$= G_0 - T \Delta S_{\text{mix}} \quad (G_0 = U + pV - TS_0 = \text{Gibbs fri energi for blanding})$$

$$G_0 = \sum_{j=1}^c G_{0j} = \sum_{j=1}^c \mu_j^\circ N_j \quad (\text{Rene komponenter: } \mu_j^\circ = G_{0j} / N_j)$$

Dermed:

$$G = \sum_{j=1}^c \mu_j^{\circ} N_j - T \sum_{j=1}^c (-k) N_j \ln x_j$$

$$= \sum_j N_j (\mu_j^{\circ} + kT \ln x_j)$$

$$\Rightarrow \mu_i = \frac{\partial G}{\partial N_i} = \mu_i^{\circ} + kT \ln x_i + \sum_j N_j kT \frac{1}{x_j} \frac{\partial x_j}{\partial N_i}$$

Her er

$$\sum_j \frac{N_j}{x_j} \frac{\partial x_j}{\partial N_i} = \sum_j \frac{N_j}{(N_j/N)} \frac{\partial x_j}{\partial N_i} = N \sum_j \frac{\partial x_j}{\partial N_i}$$

$$= N \frac{\partial}{\partial N_i} \sum_j x_j = N \frac{\partial}{\partial N_i} (1) = 0$$

$$\Rightarrow \mu_i = \mu_i^{\circ} + kT \ln x_i \quad (\text{som vi skulle vise})$$

Dermed har vi også for blandinger:

$$G = \sum_{j=1}^c \mu_j N_j$$

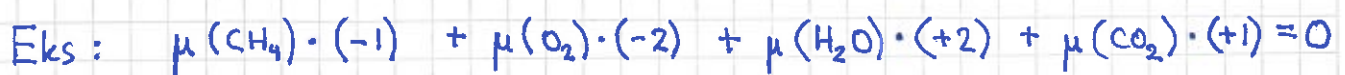
## 7.4 Kjemiske likevekter

Generelt: reaktanter  $\rightleftharpoons$  produkter



Termodynamisk likevekt når  $G$  er minimal (for gitt  $p, T$ )

$$\Rightarrow dG = 0 \Rightarrow \sum_j \mu_j dN_j = 0$$



$\nu_j = \frac{dN_j}{d\tau}$  = støkiometrisk heltall = endring i  $N_j$   
pr enkelreaksjon;  $d\tau$  = antall enkelreaksjoner

Velger (f.eks.)  $\nu_j > 0$  for produkter,  $\nu_j < 0$  for reaktanter

$X_j$  = molekyltype  $j$

$\Rightarrow$  Reaksjonsligning (generelt) :  $\sum_j \nu_j X_j = 0$

Likerevtskriterium (gitt  $p, T$ ) :  $\sum_j \nu_j \mu_j = 0$

Hvis vi kan anta ideell blanding,

$\mu_j = \mu_j^\circ + kT \ln x_j$  ( $x_j = N_j/N = \text{molbrøk}$ )  
( $\mu_j^\circ = \text{kjem. pot. for rent stoff } j$ )

får vi

$\sum_j \nu_j (\mu_j^\circ + kT \ln x_j) = 0$

$\Rightarrow \sum_j \nu_j \ln x_j = -\frac{1}{kT} \sum_j \nu_j \mu_j^\circ$

$\Rightarrow \sum_j \ln x_j^{\nu_j} = \ln \prod_j x_j^{\nu_j} = \frac{-\sum_j \nu_j \mu_j^\circ}{kT}$

$\Rightarrow \prod_{j=1}^c x_j^{\nu_j} = K(T)$

Guldberg-Waages massevirkningslov  
[1864; 150-årsjubileum 11.03.2014,  
festmåte i Oslo!]

Her er

$K(T) = \exp\left\{-\frac{\sum_j \nu_j \mu_j^\circ}{kT}\right\} = \text{likevetskonstanten}$

[For reell blanding :  $\mu_j = \mu_j^\circ + kT \ln a_j$  ;  $a_j = \text{aktiviteten}$ ]

# Eks: Nitrogenfiksering



"unyttig",  
lite reaktivt

$p \sim 300 \text{ bar}$   
 $T \sim 500 \text{ }^\circ\text{C}$

Fe-basert katalysator

nyttbart  
for planter  
etc.

$$K(298 \text{ K}) = ?$$

( $p = 1 \text{ atm}$ )

[Andre:



Birkeland-Eyde (1904)



Ved lynnedslag ]

Fra NIST Chemistry WebBook (webbook.nist.gov):

	$H^\circ$ (kJ/mol)	$S^\circ$ (J/mol·K)	$\Rightarrow G^\circ = H^\circ - TS^\circ$ (kJ/mol)
$H_2$	0	130.68	-38.94
$N_2$	0	191.61	-57.10
$NH_3$	-45.90	192.77	-103.35

( $H^\circ =$  dannelseentalpi)

$$\Rightarrow \Delta G_{rxn}^\circ = [-103.35 \cdot (+2) - 57.10 \cdot (-1) - 38.94 \cdot (-3)] \text{ kJ/mol}$$

$$= -32.78 \text{ kJ/mol} \quad \left( = \sum_j \nu_j \mu_j^\circ ; \text{ pr m\ddot{o}l} \right)$$

$$\Rightarrow K(298 \text{ K}) = \exp \left\{ \frac{+32.78 \cdot 10^3 / 6.02 \cdot 10^{23}}{1.38 \cdot 10^{-23} \cdot 298} \right\} = \underline{\underline{5.9 \cdot 10^5}}$$

Dvs:

$$\frac{x(NH_3)^2}{x(N_2) \cdot x(H_2)^3} = 5.9 \cdot 10^5 ; \quad x_j = N_j/N = g_j/g = p_j/p$$

$$g_j = N_j/V$$

Fase = homogent (del-)system

Eks:

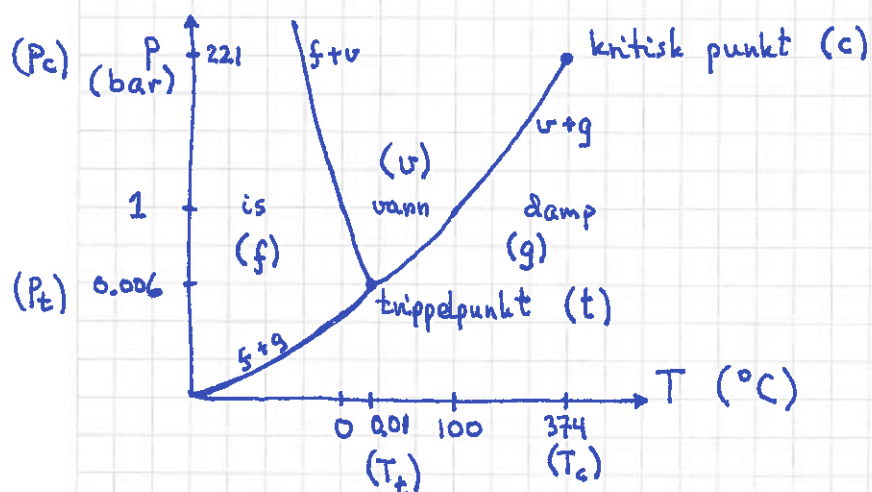
Ren gass, væske eller fast stoff

Gassblanding (Luft =  $N_2 + O_2 + CO_2 + H_2O + \dots$ )

Væskeblanding (Vin =  $H_2O + C_2H_5OH + \dots$ )

Fasediagram = oversikt over hvilke faser vi har i likevekt ved (f.eks.) gitt p og T

Eks:  $H_2O$



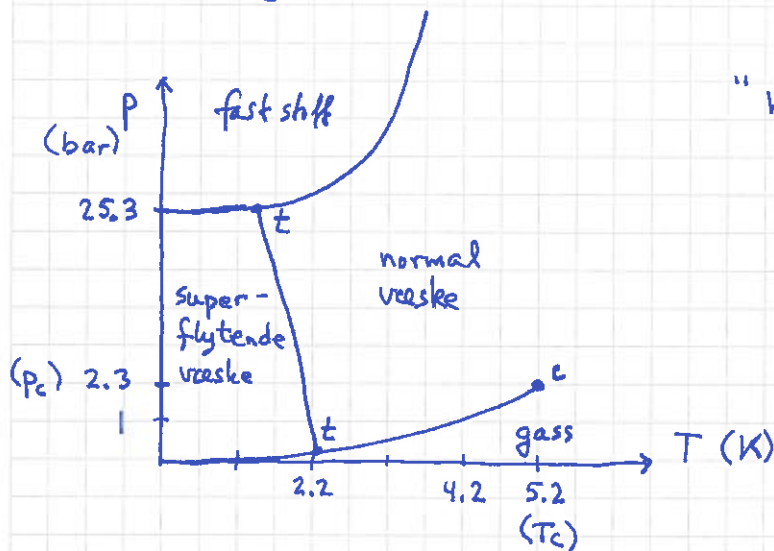
Koeksistenslinjer: To ulike faser i likevekt med hverandre  
[Eks: Is og vann ved  $0^\circ C$  og  $1 \text{ atm} \approx 1 \text{ bar}$ ]

Trippelpunkt: Alle tre faser i likevekt  
[ $0.01^\circ C$ ,  $0.006 \text{ bar}$  (= partialtrykket til  $H_2O$ )]

Kritisk punkt: Væske + gass likevekt (v+g) fordrer økt trykk dersom temp. økes. Tettheten i gassen øker. Ved  $T = T_c$  forsvinner forskjellene mellom væske og gass! Ikke så rent: Både væske og gass er isotrope fluider.

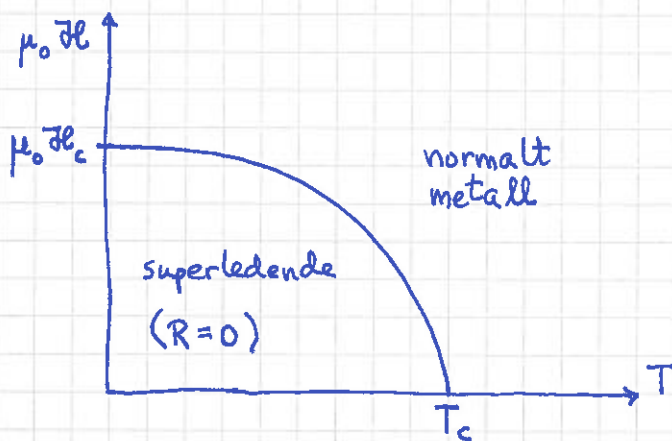
Eks:  $^4\text{He}$

(88)



"helium II": null viskositet (superflytende)

Eks: Type I superleder



	$T_c$ (K)	$\mu_0 H_c$ (T)
Al	1.20	0,01
Pb	7.19	0,08
Zn	0.86	0,005

## 8.1 Gibbs faseregul

Hvor mange faser kan være i samtidig likevekt?

$$q \leq c + 2$$

Gibbs faseregul

$c$  = antall komponenter = antall kjemisk uavhengige ingredienser

Rent stoff:  $c = 1 \Rightarrow$  inntil 3 faser i samtidig likevekt (trippelpunkt)

Forklaring:

Antall variable:  $p, T, x_1^{(1)}, x_2^{(1)}, \dots, x_c^{(1)}; \dots; x_1^{(q)}, x_2^{(q)}, \dots, x_c^{(q)}$  }  $q \cdot c$  var. + 2

( $x_j^{(i)}$  = molbrøk for stoff  $j$  i fase  $i$ ;  $j=1 \dots c, i=1 \dots q$ )

Antall uavhengige ligninger for disse:

$$\left. \begin{aligned} \mu_j^{(1)} &= \mu_j^{(2)} = \dots = \mu_j^{(q)} & ; & \quad j = 1, 2, \dots, c \\ \text{(samme kjemiske potensial overalt for gitt stoff } j) \end{aligned} \right\} (q-1) \cdot c$$

$$\left. \begin{aligned} \sum_{j=1}^c x_j^{(i)} &= 1 & ; & \quad i = 1, 2, \dots, q \\ \text{(normering av molbrøksum i hver fase)} \end{aligned} \right\} \frac{q}{= qc - c + q \text{ lign.}}$$

# lign.  $\leq$  # variable (dvs:  $f =$  antall frihetsgrader = # var. - # lign.  $\geq 0$ )

$\Rightarrow qc - c + q \leq qc + 2$

$\Rightarrow \underline{q \leq c + 2}$

8.2 Diff ligning for koeksistenslinjene (+ 8.3)

Rent stoff,  $c=1$ , to faser i likevekt ( $q=2$ )

$\Rightarrow f = c + 2 - q = 1$  frihetsgrad

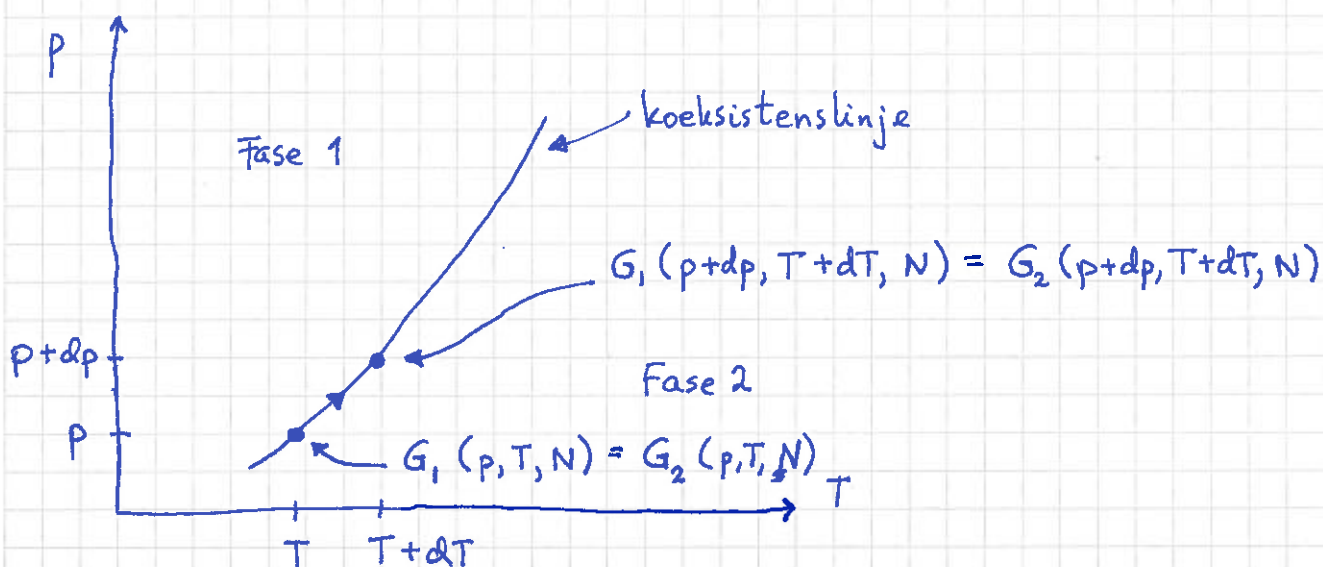
$\Rightarrow$  for valgt  $p$  er  $T$  gitt (ert. omvendt)

$\frac{dp}{dT} = \frac{L}{T \cdot \Delta V}$

(Clausius-) Clapeyrons ligning

$L =$  latent varme,  $T =$  temp.,

$\Delta V =$  volumendring ( $f \rightarrow v, f \rightarrow g$  eller  $v \rightarrow g$ )



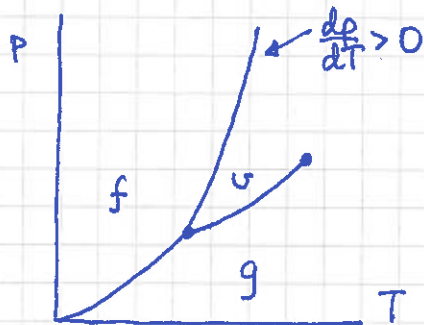
- Likevekt  $1 \leftrightarrow 2$  for gitt  $p$  og  $T$  (dvs  $dp=0$  og  $dT=0$ ),  
 $dG = 0$ , gir  $\mu_1 dN_1 + \mu_2 dN_2 = (\mu_1 - \mu_2) dN_1 = 0$ ,  
 dvs  $\mu_1 = \mu_2$  (som før, se s.82).
- Betrakt  $N$  molekyler i hver av fasene 1 og 2. Må ha  
 $G_1 = \mu_1 N = \mu_2 N = G_2$  langs hele koeksistenslinjen.
- Dermed er  $dG_1 = dG_2$  når  $(p, T) \rightarrow (p+dp, T+dT)$   
 $\Rightarrow V_1 dp - S_1 dT = V_2 dp - S_2 dT$   
 $\Rightarrow dp/dT = (S_2 - S_1) / (V_2 - V_1)$
- Med  $S_2 - S_1 = Q_{1 \rightarrow 2} / T = L/T$  og  $V_2 - V_1 = \Delta V$   
 fås  

$$\underline{\underline{\frac{dp}{dT} = \frac{L}{T \Delta V}}}$$
 qed

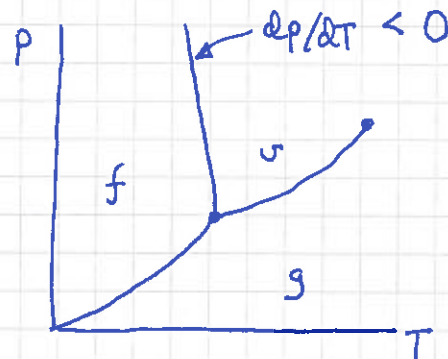
Fordampingskurven,  $v \rightarrow g$ :  $L_f > 0$ ,  $\Delta V > 0 \Rightarrow dp/dT > 0$  (91)

Sublimasjons —,  $f \rightarrow g$ :  $L_{sub} > 0$ ,  $\Delta V > 0 \Rightarrow dp/dT > 0$

Smelte —,  $f \rightarrow v$ :  $L_{sm} > 0$ ,  $\Delta V$  liten, som regel  $\Delta V > 0$ , men  $\Delta V < 0$  for smelting av is  $\Rightarrow (dp/dT)_{is \rightarrow vann} < 0$



"Normal" oppførsel  
ved smelting



H<sub>2</sub>O

[Smeltekurven er bratt pga liten  $|\Delta V|$ .]

Gode antagelser ved fordamping og sublimasjon er (som regel):

- temperaturuavhengig  $L$  [Kan evt. bruke kjent  $L(T)$ .]
- $\Delta V \approx V_g$  (da  $V_g \gg V_v, V_f$ ) [Ikke OK nær kritisk punkt.]
- $V_g \approx nRT/p$  (ideell gass)

$$\Rightarrow \frac{dp}{dT} = \frac{Lp}{nRT^2} \Rightarrow \frac{dp}{p} = \frac{LdT}{nRT^2} \Rightarrow \ln p = -\frac{L}{nRT} + \text{konst.}$$

$$\Rightarrow p(T) = p_0 \exp\left\{\frac{l}{R} \left[\frac{1}{T_0} - \frac{1}{T}\right]\right\} \quad (\text{Damptrykk-kurve})$$

med  $(p_0, T_0)$  valgt referanse og  $l = L/n =$  molar latent varme

Med H<sub>2</sub>O og tippelpunktet (612 Pa, 273.16 K) som referanse

( $l_f = 598 \text{ cal/g} = \dots = 45 \text{ kJ/mol}$ ;  $l_{sub} = 678 \text{ cal/g} = \dots = 51 \text{ kJ/mol}$ ):

$$p(T > T_t) = 612 \text{ Pa} \cdot \exp\left\{19.8 - 5413/T\right\}$$

$$p(T < T_t) = 612 \text{ Pa} \cdot \exp\left\{22.5 - 6134/T\right\}$$

(der  $T$  er målt i K)

10.03.14

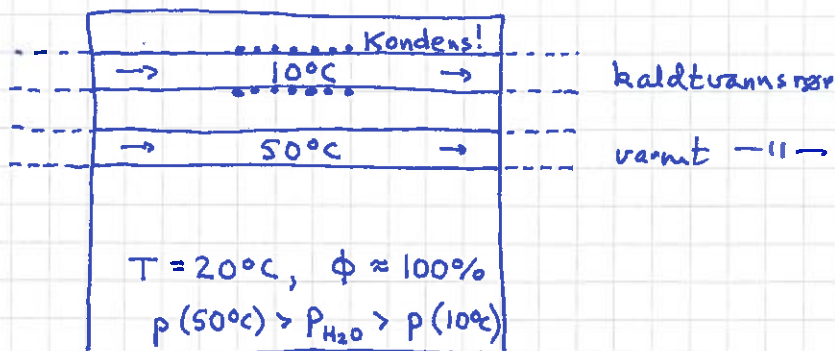
92

Relativ luftfuktighet:

$$\phi = \frac{p_{H_2O}}{p(T)} \cdot 100\% ; \quad p_{H_2O} = \text{faktisk partialtrykk av } H_2O$$

i lufta,  $p(T) = \text{maks. damptrykk ved temp. } T \text{ (metningstrykk)}$ 

Eks: Kondens



Eks: Tørr vinterluft

Uteluft,  $T_u = -10^\circ\text{C}$  og  $\phi_u = 100\%$ , strømmer inn og varmes opp til  $T_i = 20^\circ\text{C}$ . Hva blir  $\phi_i$ ?

$$\text{Løsn: } \phi_i = 100\% \cdot p_{H_2O} / p(293) = 100\% \cdot p(263) / p(293)$$

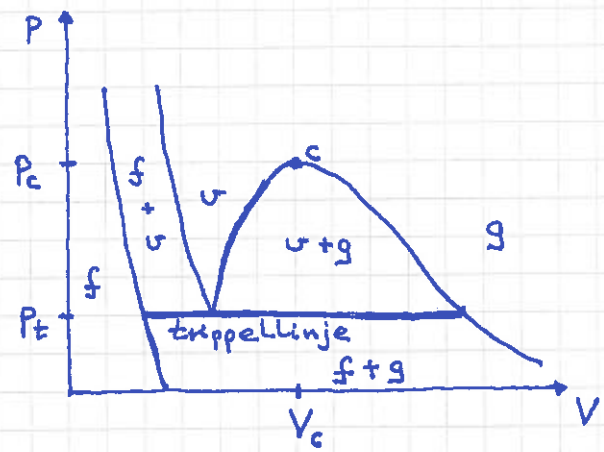
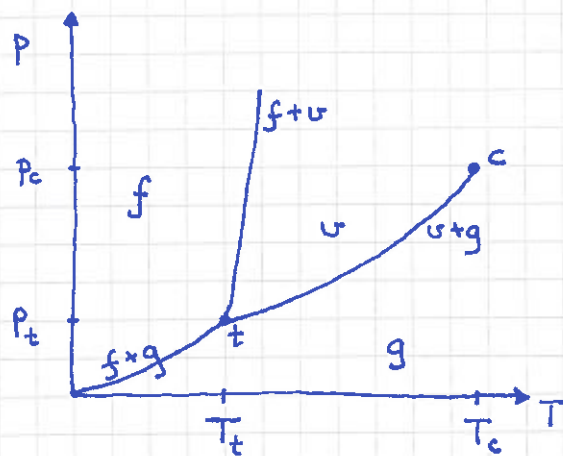
$$p(263) = 612 \text{ Pa} \cdot \exp\{22.5 - 6134/263\} = 269 \text{ Pa}$$

$$p(293) = 612 \text{ Pa} \cdot \exp\{19.8 - 5413/293\} = 2304 \text{ Pa}$$

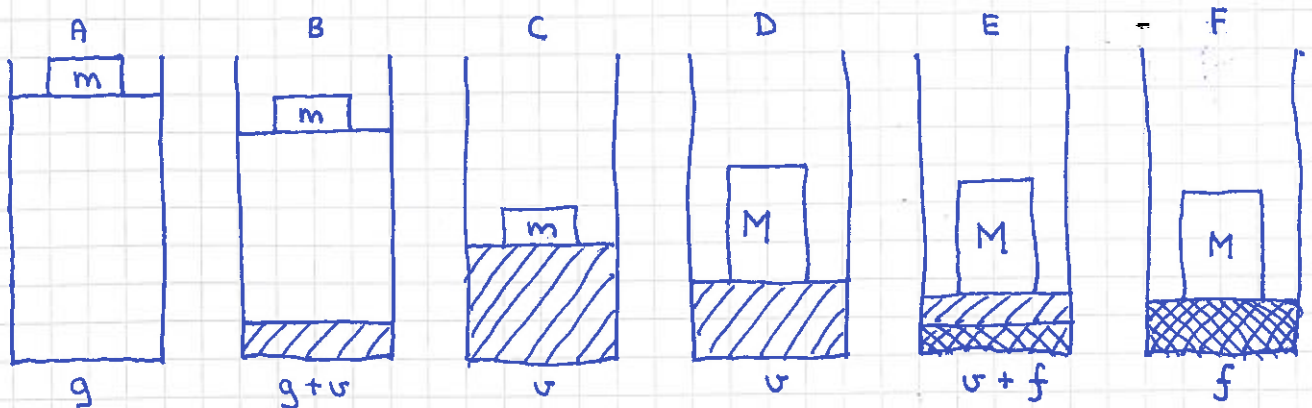
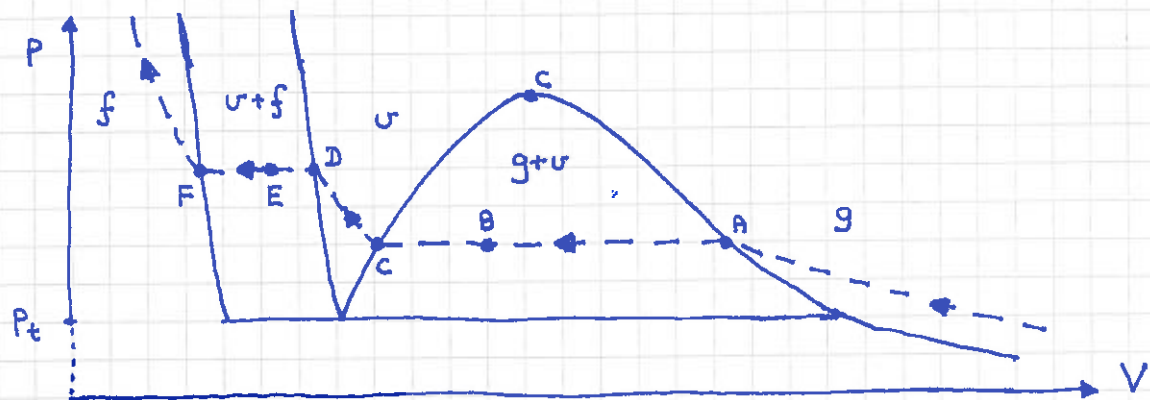
$$\Rightarrow \phi_i = 11\% \ll \phi_{\text{komfort}} \approx 50\%$$

8.4+8.5 Fasediagram i  $(p, V, T)$ -rommet. Kritisk punkt.

Koeksistenslinjene  $p(T)$  er en projeksjon av koeksistensflaten  $p(V, T)$  [se wikipedia phase diagram ; pvt\_wikipedia.pdf ; figur 8.4 i PCH ; figur 17.14 i LHL ; figur 18.26 i YF] :



Eks: Isoterm kompresjon,  $T_t < T < T_c$



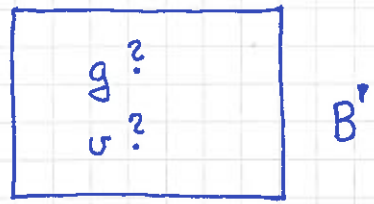
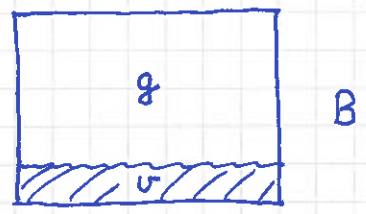
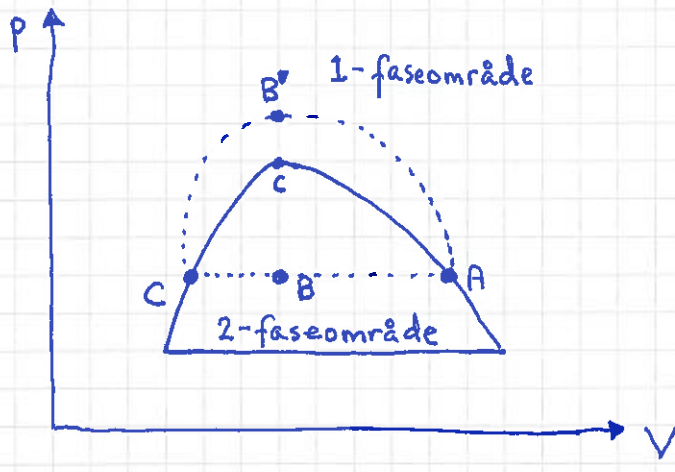
→ A: kompresjon av (ren) gass

A → B → C: kondensasjon

C → D: kompresjon av (ren) væske

D → E → F: størkning / frysing

F → : kompresjon av fast stoff

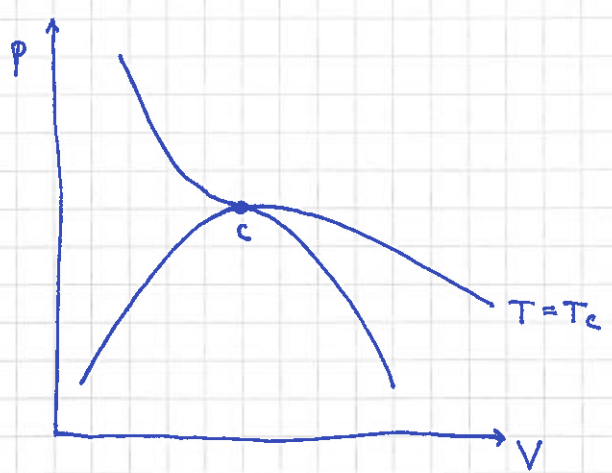


B: 2 faser,  $\rho_v > \rho_g \Rightarrow v$  nederst (pga tyngdekraften),  
 ser forskjell på g og v langs  $A \rightarrow B \rightarrow C$

B': 1 fase, ikke mulig å fastslå nøyaktig når  $v \rightarrow g$   
 langs  $A \rightarrow B' \rightarrow C$

Kritisk isoterm:

Når  $T \rightarrow T_c$ , møtes A og C i kritisk punkt c



$$\Rightarrow \left( \frac{\partial p}{\partial v} \right)_{T=T_c} = 0 \quad ; \quad \left( \frac{\partial^2 p}{\partial v^2} \right)_{T=T_c} = 0$$

(dvs sadelpunkt)

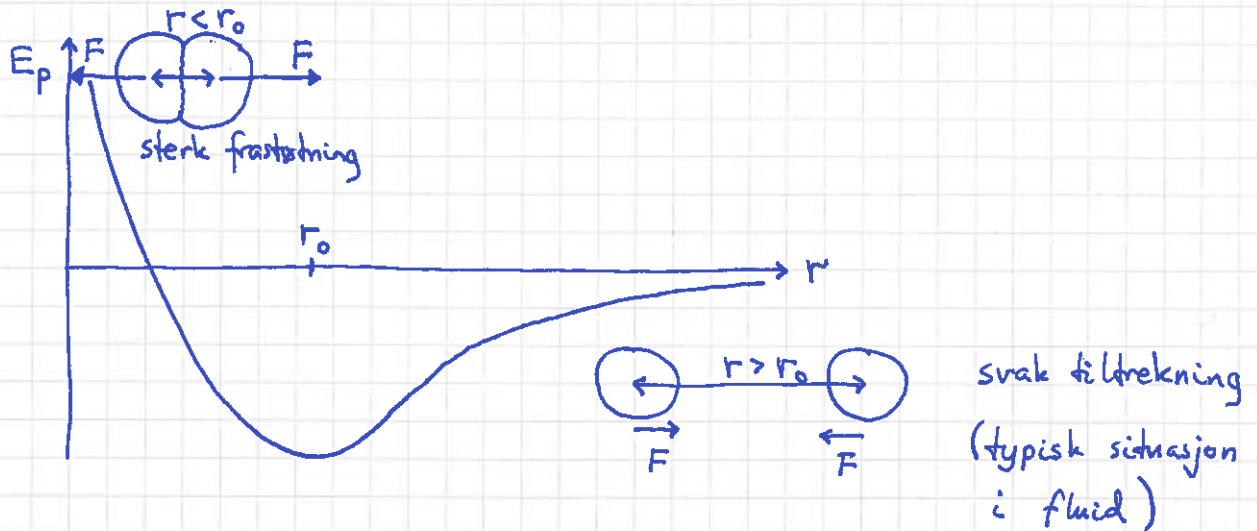
# van der Waals tilstandsligning [PCH 5.5, 8.5, App. A; LHL 13.4; YF 18.1] (95)

[J.D. van der Waals; Nobelpris i fysikk 1910]

Ideell gass: Punktpartikler uten innbyrdes vekselvirkning;  $p_i V_i = NkT$

Reell gass: Molekyler, med et visst volum, med innbyrdes v.v.

Typisk v.v. potensial ( $\vec{F} = -\nabla E_p = -\hat{r} dE_p/dr$ )



$N$  molekyler tiltrekkes av  $N-1 \approx N$  molekyler

$\Rightarrow$  redusert trykk mot boksens vegger

$$\Rightarrow p = p_i - a' g^2 \Rightarrow p_i = p + a' g^2 \quad (g = N/V)$$

$N$  molekyler okkuperer volum  $N \cdot b'$  [ $b' \approx$  volum pr molekyl]

$$\Rightarrow V = V_i + N b' \Rightarrow V_i = V - N b' \quad [= \text{tilgjengelig volum}]$$

Dermed:

$$(p + a' N^2/V^2)(V - N b') = NkT$$

Med 1 mol:  $N = N_A$ ,  $Nk = N_A k = R$ , innfør  $a = a' \cdot N_A^2$  og  $b = N_A \cdot b'$

$$(p + a/V^2)(V - b) = RT$$

$$\Rightarrow \boxed{p = \frac{RT}{V-b} - \frac{a}{V^2}}$$

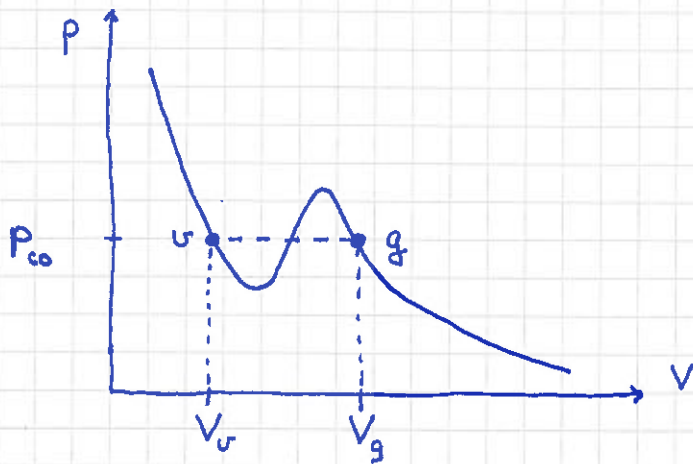
van der Waals tilstandsligning  
for 1 mol

Kritisk punkt ( $\partial p / \partial V = 0$ ,  $\partial^2 p / \partial V^2 = 0$ ):

(96)

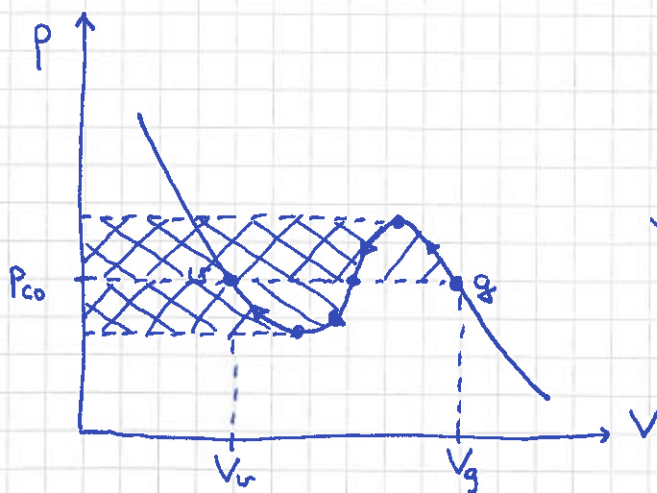
$$V_c = 3b, \quad T_c = 8a / 27Rb, \quad p_c = a / 27b^2$$

For  $T < T_c$ :



Må ha  $G_u = G_g$  hvis  $g \leftrightarrow u$  koeksistens

$$\Rightarrow \int_g^u dG = \int_g^u (-SdT + Vdp) \stackrel{dT=0}{=} \int_g^u V dp = 0$$



//////:  $\int V dp > 0$

\\\\\\\\:  $\int V dp < 0$

XXXXXX: null bidrag



$$A_+ = A_-$$

("Maxwell construction")

$$\Rightarrow p_{co} (V_g - V_u) = \int_{V_u}^{V_g} p(V) dV$$

12.03.14

Joule-Thomson - koeffisient : [PCH App. A]

97

$$\text{Fra s. 27: } \mu_{JT} \stackrel{\text{def}}{=} \left( \frac{\partial T}{\partial p} \right)_H = - C_p^{-1} \left( \frac{\partial H}{\partial p} \right)_T$$

$$\text{Fra s. 78: } \left( \frac{\partial H}{\partial p} \right)_T = V - T \left( \frac{\partial V}{\partial T} \right)_p$$

$$\Rightarrow \mu_{JT} = C_p^{-1} \left[ T \left( \frac{\partial V}{\partial T} \right)_p - V \right]$$

Ideell gass :  $\left( \frac{\partial V}{\partial T} \right)_p = V/T \Rightarrow \mu_{JT} = 0$  ; dvs verken avkjøling eller oppvarming i "porøs plugg" - eksperimentet

Van der Waals - fluid:

$$(p + a/V^2)(V-b) = RT$$

$$\begin{aligned} \Rightarrow \left( \frac{\partial V}{\partial T} \right)_p &= \left[ \left( \frac{\partial T}{\partial V} \right)_p \right]^{-1} = R \left[ p + \frac{a}{V^2} - \frac{2a}{V^3}(V-b) \right]^{-1} \\ &= R \left[ \frac{RT}{V-b} - \frac{2a(V-b)}{V^3} \right]^{-1} \end{aligned}$$

$$\Rightarrow \mu_{JT} = C_p^{-1} \left\{ RT \left[ \frac{RT}{V-b} - \frac{2a(V-b)}{V^3} \right]^{-1} - V \right\}$$

Inversjonskurve :  $p_{inv}(T)$  def. ved  $\mu_{JT} = 0$ 

$$\Rightarrow \frac{RT}{V-b} - \frac{2a(V-b)}{V^3} = \frac{RT}{V} \Rightarrow RT \underbrace{\left( \frac{1}{V-b} - \frac{1}{V} \right)}_{b/V(V-b)} = \frac{2a(V-b)}{V^3}$$

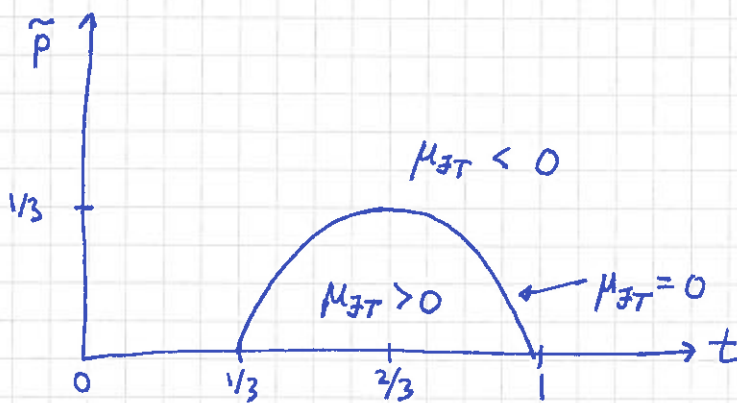
$$\Rightarrow \frac{RTb}{2a} = \left( \frac{V-b}{V} \right)^2 = \left( 1 - \frac{b}{V} \right)^2$$

$$\Rightarrow \sqrt{T/T_0} = 1 - \frac{b}{V} \Rightarrow V = \frac{b}{1 - \sqrt{T/T_0}} \quad ; \quad T_0 = \frac{2a}{Rb}$$

$$\Rightarrow p_{inv}(T) = \frac{RT}{V-b} - \frac{a}{V^2} = \dots = \frac{a}{b^2} \left\{ -1 + 4\sqrt{\frac{T}{T_0}} - 3\frac{T}{T_0} \right\}$$

Skalert trykk,  $\tilde{p} = p_{inr} / (a/b^2)$ , s.f.a. skalert temp.,  $t = \sqrt{T/T_0}$  :  $\tilde{p}(t) = -1 + 4t - 3t^2$

(98)



Hvis  $\mu_{JT} > 0$  :  $\Delta T$  og  $\Delta p$  likt fortegn

$\Rightarrow$  anhejling ved trykkreduksjon ;  
nødvendig i kjøleskap (varmepumpe)

- Hvilken verdi av  $t = \sqrt{T/T_0}$  tilsvarer kritisk temp.  $T = T_c$  ?
- Vis at  $p = 9 p_c$  på toppen av kurven.
- Vis at  $T = \frac{3}{4} T_c$  og  $T = \frac{27}{4} T_c$  ved hver venstre og høyre ende.
- Omtrent hvor i diagrammet er kjølemediet R134a (Lab nr 1) på høytrykksiden av ekspansjonsventilen? ( $T_c = 374 \text{ K}$ )

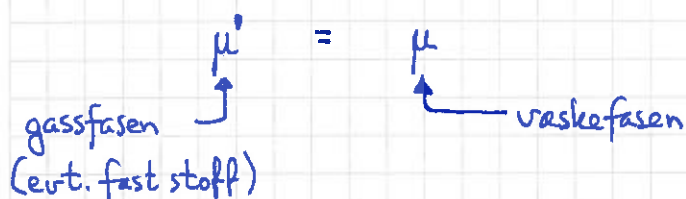
## 8.6-8.8 Svake oppløsninger

99

Tilsats av stoff ("solute"; f.eks. salt) til løsningsmiddel ("solvent"; f.eks. vann) påvirker fase likevekten for løsningsmiddelet:

- Damptrykknedsettelse ( $\Delta p < 0$ )
  - Kokepunktforhøyelse ( $\Delta T > 0$ )
  - Frysepunktnedsettelse ( $\Delta T_s < 0$ )
- } Raoult's lover

Kjemisk potensial for løsningsmiddelet konstant i likevekt:



Antagelser:

- svak løsning,  $x_s \ll 1$ ,  $x = 1 - x_s \approx 1$

$x_s$  = molbrøk, tilsatt stoff

$x$  = " ", løsn.middel

$\Rightarrow$  antar ideell blanding,  $\mu = \mu_0 + kT \ln x$ , med

$\mu_0 = \mu(x=1)$  = kjem. pot. for rent løsn.middel

- rekkeutvikler til laveste orden i alle små størrelser:

$x_s$ ,  $\Delta p/p_0$ ,  $\Delta T/T_0$

- ideell gass antas, med  $v^r \gg v$  (volum pr partikkel)

- $x_s^r = 0$  (ikke-flyktige tilsatser)

gass	$x^g = 1$	$x_s^g = 0$
væske	$x \approx 1$	$x_s \ll 1$

Likevekt før tilsetts:

$$\mu_0(p_0, T_0) = \mu_0^g(p_0, T_0)$$

Likevekt etter tilsetts:

$$\mu(p, T, x) = \mu_0^g(p, T)$$

For rent stoff:  $\mu_0 = G/N$  (= Gibbs fri energi pr partikkel)

$$G(p, T) = G(p_0 + \Delta p, T_0 + \Delta T) = G(p_0, T_0) + \Delta p \underbrace{\left(\frac{\partial G}{\partial p}\right)_{p_0, T_0}}_{=V} + \Delta T \underbrace{\left(\frac{\partial G}{\partial T}\right)_{p_0, T_0}}_{=-S} + \dots$$

( $\Delta G = V \Delta p - S \Delta T \Rightarrow$ )

Dermed:

$$\begin{aligned} \mu_0(p, T) &= \frac{G(p, T)}{N} = \frac{G(p_0, T_0)}{N} + \frac{V}{N} \Delta p - \frac{S}{N} \Delta T \\ &= \mu_0(p_0, T_0) + v \Delta p - s \Delta T \quad (\text{væskefasen}) \end{aligned}$$

$$\mu_0^g(p, T) = \dots = \mu_0^g(p_0, T_0) + v^g \Delta p - s^g \Delta T \quad (\text{gassfasen})$$

Ideell blanding:  $\mu(p, T, x) = \mu_0(p, T) + kT \ln x$   
 med  $\ln x = \ln(1 - x_s) \approx -x_s$  ( $x_s \ll 1$ )

Dermed, for gass-væske-likevekten (med tilsett stoff):

$$\underbrace{\mu_0(p_0, T_0) + v \Delta p - s \Delta T - kT x_s}_{\mu(p, T, x)} = \underbrace{\mu_0^g(p_0, T_0) + v^g \Delta p - s^g \Delta T}_{\mu_0^g(p, T)}$$

$$\Rightarrow (s^g - s) \Delta T = (v^g - v) \Delta p + kT x_s$$

- Fast  $T = T_0$  ( $\Delta T = 0$ ):

Anta  $v^s - v \approx v^s \approx kT_0/p_0$  (ideell gass)

$\Rightarrow \boxed{\Delta p/p_0 = -x_s}$  Damptrykknedsettelse

- Fast  $p = p_0$  ( $\Delta p = 0$ ):

$s^s - s = \Delta S/N = L_f/T_0 N = n l_f/T_0 n N_A = k l_f/RT_0$

$kT x_s \approx kT_0 x_s$

$\Rightarrow \boxed{\Delta T/T_0 = \frac{RT_0}{l_f} x_s}$  Kokepunktforhøringelse

- Med fast stoff og antagelsen  $x_s^s = 0$  (uløselig i fast fase):

$s^s - s = \Delta S/N = -L_{sm}/T_0 N = -n l_{sm}/T_0 n N_A = -k l_{sm}/RT_0$

( $l_{sm} > 0$  er her molar smeltevarme; derfor  $-l_{sm}$ ;  $s^s < s$ )

$kT x_s \approx kT_0 x_s$

$\Rightarrow \boxed{\Delta T_s/T_0 = -\frac{RT_0}{l_{sm}} x_s}$  Frysepunktnedsettelse

Eks: Påkrennd mengde NaCl for å øke kokepunkt med 5 grader?

Løsn:  $RT_0/l_f = 8.314 \text{ (J/mol K)} \cdot 373 \text{ K} / 40.7 \cdot 10^3 \text{ (J/mol)} = 0.076$

Drs: Pr grad økning trengs ionemengde som gir molbrøk

$1/(373 \cdot 0.076) = 0.035$

1 L vann  $\hat{=}$  1000 g / 18 g/mol ( $\approx$  56 mol  $H_2O$ )

så vi trenger ca  $(1000/18) \cdot 0.035 \cdot \frac{1}{2} \cdot 5$  mol NaCl ( $\approx$  4.86 mol)

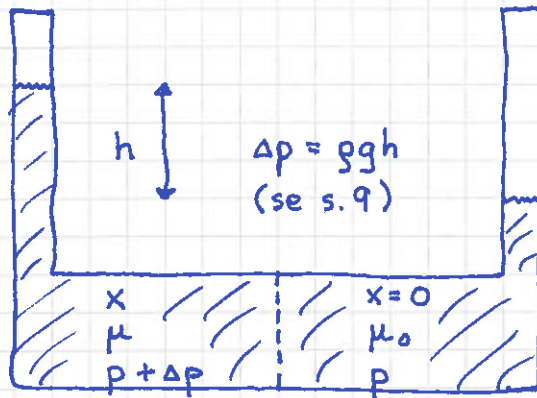
[2 ioner pr NaCl  $\Rightarrow$  faktor 1/2], som tilsværer

$(58.4 \text{ g/mol}) \cdot 4.86 \text{ mol} \approx 284 \text{ g NaCl pr L } H_2O$

Drs: Litt salt i kokevannet endrer ikke kokepunktet.

(Havet har ca 35 g salt pr L.)

(Gir frysepunktnedsettelse på ca 2 grader.)



Eks: Saltvann, molbrøk  $x$   
 pga salt ( $\text{Na}^+$  og  $\text{Cl}^-$ ), og  
 ferskvann ( $x=0$ ).

membran, halvgjennomtrengelig (semipermeabel)

Eks:  $\text{H}_2\text{O}$  går gjennom, men ikke  $\text{Na}^+$  og  $\text{Cl}^-$

Likevekt for løsn.middelet ( $\text{H}_2\text{O}$ ):  $\mu(p+\Delta p, T, x) = \mu_0(p, T)$   
 ( $\Delta T=0$ )

Ideell blanding:  $\mu(p+\Delta p, T, x) = \mu_0(p+\Delta p, T) + kT \ln(1-x)$   
 $= \mu_0(p, T) + \Delta p \underbrace{\left(\frac{\partial \mu_0}{\partial p}\right)_T}_{= v (=V/N)} - kT x$

$$\Rightarrow \Delta p = kT x / v = kT (N_x / N) / (V / N) = kT N_x / V = RT n / V$$

$$\Delta p = \frac{nRT}{V}$$

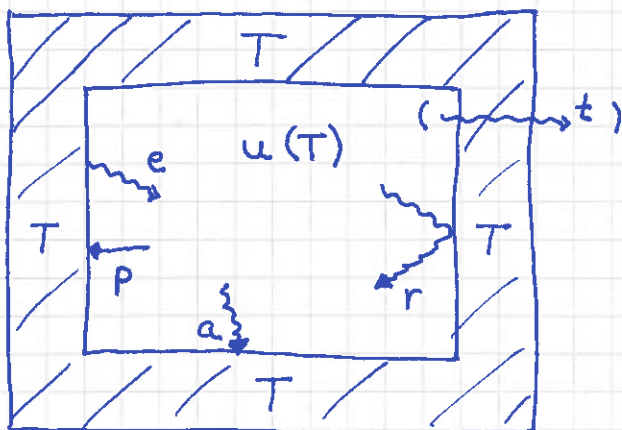
Osmotisk trykk med  $n$  mol stoff

Løst i volum  $V$  (van't Hoff's lov)

- Som ideell gass - trykk mot membranen.
- Saltkraftverk der ferskvann møter saltvann. (Sintef/Statkraft)  
 Havvann:  $n/V \approx 1.2 \text{ mol/L} \Rightarrow \Delta p \approx 28 \text{ atm}$ ;  $h \approx 290 \text{ m}$
- Lage ferskvann av saltvann; omvendt osmose
- Biologi; cellevegg i dyr og planter er semipermeabel membran

## Innledning

Hulrom i termisk likevekt:



- vibrerende (dvs akselererte) ladninger i veggene emitterer elektromagnetiske bølger som absorberes, reflekteres eller transmitteres:  
$$r(\lambda) + a(\lambda) + t(\lambda) = 1$$

- hulrommet fylles med e.m. energi  $u(T) = U/V$  pr volumenhet; skal vise at  $u(T) \sim T^4$
- strålingen / bølgene / fotonene utøver strålingstrykk  $p$  mot veggene; skal vise at  $p = u/3$
- med trykk  $p(T, V)$  kan arbeid tas ut, og 1. og 2. lov med påfølgende sammenhenger kan brukes
- svart legeme (idealisering):  $a = 1$
- kjent fra elmag, bølgefysikk, spesiell rel.teori:  $u(E, B)$ , Maxwells ligninger, bølgeligning for  $\vec{E}$  og  $\vec{B}$ ,  $v = c$  etc.



Gibbs fri energi og kjemisk potensial:

$$G = U + pV - TS = \alpha T^4 \cdot V + \frac{1}{3} \alpha T^4 \cdot V - T \cdot \frac{4}{3} \alpha T^3 V = 0$$

$$\mu = G/N = 0$$

Helmholtz fri energi:

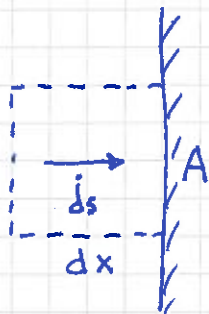
$$F = U - TS = -\frac{1}{3} \alpha T^4 V ; \quad \mu = \left( \frac{\partial F}{\partial N} \right)_{T,V} = 0$$

[  $dF = dU - Tds - SdT = -pdV + \mu dN - SdT = 0$  for system i likevekt med gitt T og V  $\Rightarrow \mu = (\partial F / \partial N)_{T,V} = 0$  ]

Strålingsemitans:

$j_s(T) =$  emittert energi pr flate- og tidsenhet

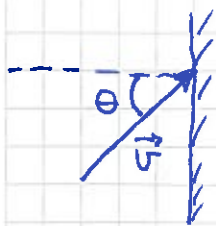
= absorbert \_\_\_\_\_ " \_\_\_\_\_  
(i termisk likevekt)



$$j_s = \left\langle \frac{1}{2} \frac{dU}{A \cdot dt} \right\rangle = \left\langle \frac{1}{2} \frac{u \, dV}{A \, dt} \right\rangle = \frac{1}{2} \left\langle \frac{u \, A \, dx}{A \, dt} \right\rangle = \frac{1}{2} u \langle v_x \rangle$$

bare halvparten av fotonene går mot høyre

$(v_x = dx/dt)$



$$v_x = c \cdot \cos \theta$$

$$\langle v_x \rangle = \frac{\iint v_x \, d\Omega}{\iint d\Omega} ; \quad d\Omega = \sin \theta \, d\theta \, d\varphi$$

$0 \leq \varphi \leq 2\pi ; \quad 0 \leq \theta \leq \frac{\pi}{2}$   
 $(v_x > 0)$

$$\Rightarrow \langle v_x \rangle = c \cdot \frac{2\pi \cdot \int_0^{\pi/2} \sin \theta \cos \theta \, d\theta}{2\pi \cdot \int_0^{\pi/2} \sin \theta \, d\theta} = c \cdot \frac{\int_0^{\pi/2} (\frac{1}{2} \sin^2 \theta) \, d\theta}{\int_0^{\pi/2} (-\cos \theta) \, d\theta} = \frac{c}{2}$$

$$\Rightarrow \underline{j_s(T)} = \frac{c}{4} u(T) = \frac{c}{4} \alpha T^4 = \underline{\sigma T^4} ; \quad \sigma = 5.67 \cdot 10^{-8} \text{ W/m}^2 \text{K}^4$$

Ønsker å bestemme bidraget til  $u(T)$  fra ulike frekvenser:

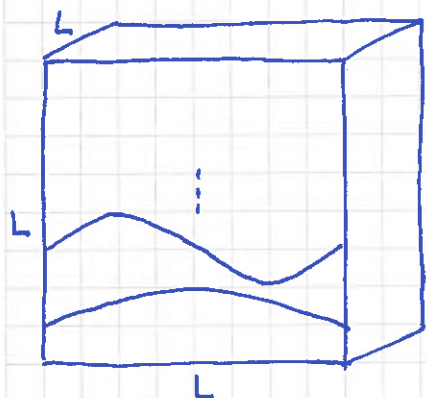
$$u(T) = \int du = \int_0^{\infty} df \frac{du}{df} = \int_0^{\infty} df \eta(f, T)$$

$$\eta(f, T) = \frac{du}{df} = \frac{d(U/V)}{df} = \frac{dN \langle E \rangle / V}{df} = \frac{\langle E \rangle}{V} \frac{dN}{df}$$

$\langle E \rangle$  = midlere energi pr tilstand ("svingemode") =  $\frac{dU}{dN}$

$dN$  = antall tilstander mellom  $f$  og  $f + df$

$\frac{dN}{df}$  = tilstandstettheten ("density of states")



$$V = L^3$$

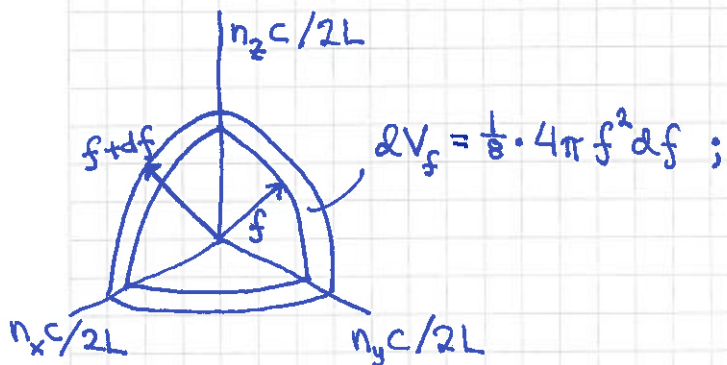
$$k_i = \pi n_i / L ; \quad i = x, y, z ; \quad n_i = 1, 2, \dots$$

(stående bølger)

$$k = \sqrt{k_x^2 + k_y^2 + k_z^2}$$

$$f = c/\lambda = ck/2\pi = \frac{c}{2L} \sqrt{n_x^2 + n_y^2 + n_z^2}$$

$\Rightarrow$  mulige frekvenser (tilstander) gitt ved punkter i den ene oktanten i rom med akser  $n_x c/2L, n_y c/2L, n_z c/2L$ :



$$dV_f = \frac{1}{8} \cdot 4\pi f^2 df ;$$

1 tilstand (frekvens) pr volum  $(c/2L)^3$ , og 2 uavh. polarisasjonsretninger pr frekvens

$$\Rightarrow \frac{dN}{dV_f} = \frac{2}{(c/2L)^3} \Rightarrow \frac{dN}{\frac{1}{2} 4\pi f^2 df} = \frac{16V}{c^3} \Rightarrow \boxed{\frac{dN}{df} = \frac{8\pi V f^2}{c^3}}$$

Midlere energi pr svingemode:

(107)

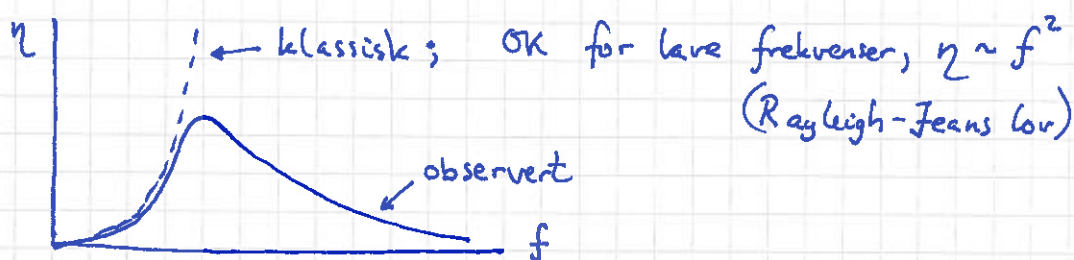
$$\text{Klassisk: } u = u_E + u_B = \frac{1}{2} \epsilon_0 E^2 + \frac{1}{2\mu_0} B^2$$

$$\Rightarrow \langle E \rangle = 2 \cdot \frac{1}{2} kT = kT \quad (\text{ekvipartisjonsprinsippet})$$

$$\Rightarrow \eta(f, T) = kT \cdot 8\pi f^2 / c^3$$

$$\Rightarrow u(T) = \frac{8\pi kT}{c^3} \int_0^\infty f^2 df \rightarrow \infty$$

"Ultra-fiolett katastrofen"



Kvantemekanisk:

Plancks hypotese (1900):  $E_j = j \cdot hf$ ;  $j = 0, 1, 2, \dots$

$$h \approx 6.6 \cdot 10^{-34} \text{ Js} \quad (\text{Plancks konstant})$$

Stat. mek. gir  $n_i$  (som harmonisk oscillator, se s 46)

$$\langle E \rangle = \frac{hf}{\exp(\beta hf) - 1} \quad (\beta = 1/kT)$$

$$\Rightarrow \eta(f, T) = \frac{8\pi h}{c^3} \cdot \frac{f^3}{\exp(\beta hf) - 1}, \quad \text{som observert!}$$

$$\Rightarrow u(T) = \frac{8\pi h}{c^3} \int_0^\infty \frac{f^3}{\exp(\beta hf) - 1} df \quad z = \beta hf, \quad df = dz/\beta h$$

$$= \frac{8\pi}{h^3 c^3 \beta^4} \underbrace{\int_0^\infty \frac{z^3 dz}{\exp(z) - 1}}_{= \pi^4/15} = \underline{\underline{\alpha \cdot T^4}}$$

$$\text{med } \alpha = 8\pi^5 k^4 / 15 h^3 c^3 \approx 7.56 \cdot 10^{-16} \text{ J/m}^3 \cdot \text{K}^4$$

$$\Rightarrow j_s(T) = \frac{c\alpha}{4} T^4 = \underline{\underline{\sigma T^4}}$$

Stefan-Boltzmanns  
lov (og konstant)

108

$$\text{med } \sigma = 2\pi^5 k^4 / 15h^3 c^2 = 5.67 \cdot 10^{-8} \text{ W/m}^2 \cdot \text{K}^4$$

Klassisk grense:  $kT \gg hf$ , dvs  $\beta hf \ll 1$

$$\Rightarrow \langle E \rangle \approx \frac{hf}{1 + \beta hf \dots - 1} = \frac{1}{\beta} = \underline{kT} \quad ; \quad \text{ok!}$$

Frekvensfordelingen til  $j_s(T)$ :

$$j_s(T) = \int_0^\infty df \, \mathcal{Y}(f, T)$$

$$\underline{\mathcal{Y}(f, T)} = dj_s / df = \frac{c}{4} \eta(f, T) = \underline{\frac{2\pi h}{c^2} \frac{f^3}{\exp(\beta hf) - 1}}$$

(Plancks strålingslov)

Wiens forskybningslov:

Maksimum for  $\eta(f, T)$  [og for  $\mathcal{Y}(f, T)$ ] fra  $\frac{d\eta}{df} = 0$

$$\Rightarrow f_{\max} \approx 2.821 kT/h \quad (\approx 5.9 \cdot 10^{10} \text{ Hz/K} \cdot T)$$

Evt. med bølgelængdefordeling:

$$j_s(T) = \int_0^\infty d\lambda \, \xi(\lambda, T) \quad ; \quad \xi(\lambda, T) = \left| \frac{dj_s}{d\lambda} \right| = \frac{dj_s}{df} \cdot \left| \frac{df}{d\lambda} \right| = -\mathcal{Y} \cdot \frac{c}{\lambda^2}$$
$$= \frac{(2\pi h / \lambda^5) \cdot c^2}{\exp(\beta hc / \lambda) - 1}$$

Maksimal  $\xi$  når  $d\xi/d\lambda = 0$

$$\Rightarrow \lambda_{\max} \approx 0.2014 hc/kT \quad (\approx 2.898 \text{ mm} \cdot \text{K} / T)$$

Eks:  $\lambda_{\max}(300 \text{ K}) \approx 10 \mu\text{m}$  (IR-området)

$\lambda_{\max}(5800 \text{ K}) \approx 0.5 \mu\text{m}$  (synlige området)

# 10. Varmeledning og diffusjon [LHL 18,14 ; YF 17]

(109)

Innledning:

Fenomen

Transport av...

Varmeledning

kinetisk energi (varme)

Diffusjon

partikler (masse)

Elektrisk ledningseme

ladning

Transport skyldes gradienter.

Eks: Ohms lov,  $\vec{j} = \sigma \vec{E} = -\sigma \nabla V$  ( $\sigma =$  elektr. ledningseme)

Kan beskrives fenomenologisk, med empiriske transportkoeffisienter,

eller på mikroskopisk nivå, med transp. koeff. beregnet med f.eks. kinetisk gassteori. En sentral størrelse er da midlere fri vei lengde ("mean free path").

Vi starter fenomenologisk (10.3, 10.6, 10.8, 10.4),

deretter mikroskopisk (10.1, 10.5, 10.7).

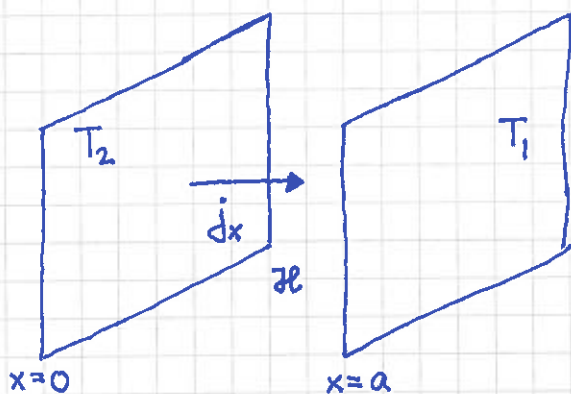
Erfaringsmessig (Eksperimentelt) er overført varme prop. med temperaturfall pr lengdeenhet, dvs gradienten til  $T$ :

$$\vec{j} = -\kappa \nabla T \quad \text{Fouriers lov}$$

$\vec{j}$  = overført varme pr flate- og tidsenhet, dvs varmestrømtetthet, med enhet  $W/m^2$

$\kappa$  = varmeledningseinen til stoffet som varmen transporteres gjennom, enhet  $W/m \cdot K$

Stasjonær (dvs tidsuavhengig) varmeledning i en retning:



To store parallelle plan, innbyrdes avstand  $a$ , faste temp.  $T_2$  og  $T_1 < T_2$ .

Bestem  $T(x)$  og  $j_x$

Stasjonære forhold  $\Rightarrow$  samme  $j_x$  overalt (ellers ville strøm inn  $\neq$  strøm ut ved gitt  $x$ , og dermed ikke stasjonære forhold)

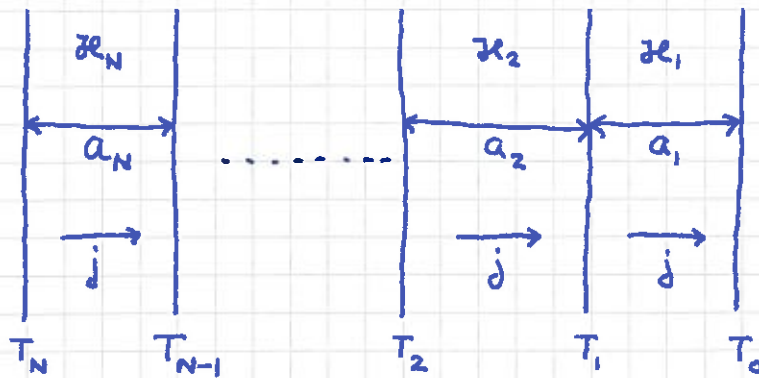
$$\Rightarrow \Delta T / \Delta x = \text{konst.} \quad \Rightarrow \underline{\underline{T(x) = T_2 - \frac{T_2 - T_1}{a} x}} \quad \left[ \begin{array}{l} \Rightarrow T(0) = T_2 \text{ og} \\ T(a) = T_1, \text{ OK} \end{array} \right]$$

$$\Rightarrow \underline{\underline{j_x = -\kappa \Delta T / \Delta x = \kappa (T_2 - T_1) / a}}$$

$$\Rightarrow j_x = K \cdot \Delta T ; \quad K = \kappa / a = \text{varmegjennomgangstallet}$$

Dvs: Analogt med Ohms lov, med  $j_x \leftrightarrow I$ ,  $\Delta T \leftrightarrow \Delta V$ ,  $K^{-1} \leftrightarrow R$

Med  $N$  lag og gitte (faste)  $T_N$  og  $T_0 < T_N$  :

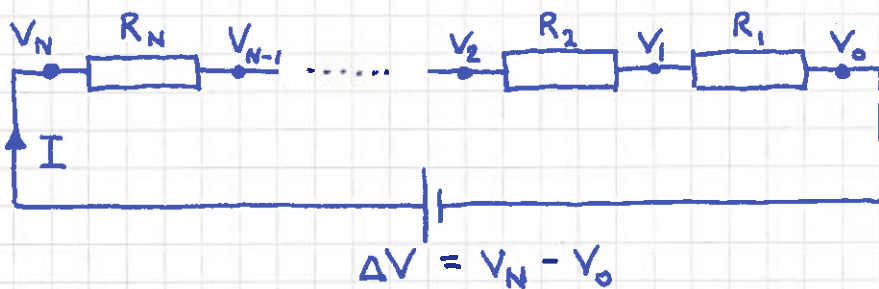


Stasjonært  $\Rightarrow$  samme varmestromtethet  $j$  overalt

$$\begin{aligned}\Rightarrow T_1 - T_0 &= j / K_1 \\ T_2 - T_1 &= j / K_2 \\ &\vdots \\ T_N - T_{N-1} &= j / K_N\end{aligned}$$

$$\Rightarrow \Delta T = T_N - T_0 = j / K = j \cdot \sum_{i=1}^N \frac{1}{K_i}$$

Analogt  $N$  seriekoblede resistanser :



$$\text{Ohms lov: } \Delta V = RI = \left( \sum_{i=1}^N R_i \right) I$$

Analoge størrelser:  $\Delta T \leftrightarrow \Delta V$ ,  $j \leftrightarrow I$ ,  $K_i^{-1} = \frac{a_i}{k_i} \leftrightarrow R_i$

Med  $j$  bestemt ( $j = K \cdot \Delta T$ ) kan  $T_1, T_2, \dots, T_{N-1}$  beregnes :

$$T_1 = T_0 + j / K_1 \quad \text{osv.}$$

Eks: Husvegg, 3cm gran + 20cm glava + 3cm gran, (112)  
bestem  $K$ ,  $j$  og  $T(x)$  med  $20^\circ\text{C}$  inne,  $-10^\circ\text{C}$  ute.

Opgitt:  $\lambda_{\text{gran}} = 0.14$ ,  $\lambda_{\text{glava}} = 0.047$  ( $\text{W}/\text{m}\cdot\text{K}$ )

Løsn:  $K = \{ 2 \cdot 0.03 / 0.14 + 0.20 / 0.047 \}^{-1} = \underline{0.21 \text{ W}/\text{m}^2\cdot\text{K}}$

$$j = K \cdot \Delta T = 0.21 \cdot 30 = \underline{6.3 \text{ W}/\text{m}^2}$$

$$T_1 = -10 + 6.3 \cdot 0.03 / 0.14 = -8.65^\circ\text{C}$$

$$T_2 = +20 - 6.3 \cdot 0.03 / 0.14 = +18.65^\circ\text{C}$$

(hvr innsida av ytterpanel og utsida av innerpanel)

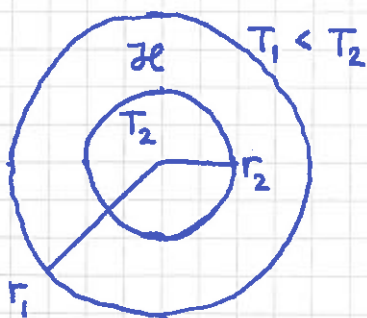
Hvorfor ikke luft mellom ytter- og innerpanel?

$\lambda_{\text{luft}} = 0.024 < \lambda_{\text{glava}} \Rightarrow$  redusert varmeledning.

Men stort strålingstap:

$$j_s = \sigma (T_2^4 - T_1^4) = 5.67 \cdot 10^{-8} \cdot (291.65^4 - 264.35^4) = \underline{133 \text{ W}/\text{m}^2 (!)}$$

Stasjonær varmeledning med sylindersymmetri:



Grensebetingelser:

$$T(r_1) = T_1, \quad T(r_2) = T_2 > T_1$$

Stasjonære forhold

$\Rightarrow$  Konstant varme  $\dot{Q}$  pr tidsenhet

gjennom sylinderveg med

radius  $r$  ( $r_2 < r < r_1$ ) og

lengde  $L$ , dvs areal  $A(r) = 2\pi r L$

Sylindersymmetri:

$$\nabla T = \hat{r} dT/dr$$

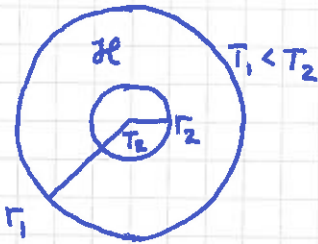
$$\vec{j} = \hat{r} j(r)$$

$$j(r) = \frac{\dot{Q}}{A(r)} = \frac{\dot{Q}}{2\pi r L} \stackrel{\text{Fouriers}}{\downarrow} \text{Lor} = -\kappa \frac{dT}{dr}$$

$$\Rightarrow \frac{\dot{Q}}{L} \cdot \int_{r_2}^{r_1} \frac{dr}{r} = -2\pi\kappa \int_{T_2}^{T_1} dT$$

$$\Rightarrow \frac{\dot{Q}}{L} = \frac{2\pi\kappa (T_2 - T_1)}{\ln(r_1/r_2)} = \text{varmestrom pr lengdeenhet (radielt utover)}$$

Stasjonær varmeledning med kulesymmetri:



Konst. varme  $\dot{Q}$  pr tidsenhet gjennom kuleskall med areal  $A(r) = 4\pi r^2$

$$\Rightarrow j = \frac{\dot{Q}}{4\pi r^2} = -\kappa \frac{dT}{dr}$$

$$\Rightarrow \dot{Q} \int_{r_2}^{r_1} \frac{dr}{r^2} = -4\pi\kappa \int_{T_2}^{T_1} dT$$

$$\Rightarrow \dot{Q} = \frac{4\pi\kappa (T_2 - T_1)}{r_2^{-1} - r_1^{-1}} = \text{varmestrom (radielt utover)}$$

U-verdi [LHL 18.4]

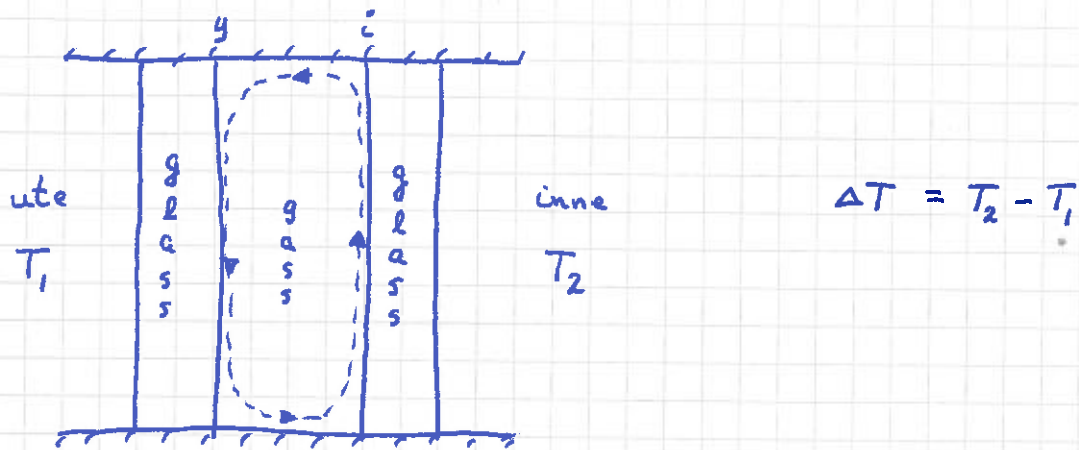
Byggebransjen:

$$j = U \cdot \Delta T$$

$j$  = total varmestromtetthet ( $W/m^2$ )

$\Delta T = T_{inne} - T_{ute}$  (K)

$U$  = U-verdien ( $W/m^2 \cdot K$ )



Total varmestrøm:  $j = j_{\text{æ}} + j_{\sigma} + j_{\text{konv}}$

Varmeledning:  $j_{\text{æ}} = K \cdot \Delta T \sim \Delta T$

Stråling:  $j_{\sigma} = \beta \cdot \sigma (T_2^4 - T_1^4) \sim \Delta T$

[  $\beta < 1$  hvis ikke helt gjennomsiktig glass;  
 $T_2^4 - T_1^4 = (T_2^2 + T_1^2)(T_2 + T_1)(T_2 - T_1) \sim \Delta T$  ]

Konveksjon: oppvarming ved i, avkjøling ved y  
 $\Rightarrow$  strømning som i figuren;  $j_{\text{konv}} \sim \Delta T$  (grovt sett)

Analogi med Ohms lov:

$$I = G \cdot \Delta V \quad ; \quad G = \text{konduktans}$$

$$j = U \cdot \Delta T \quad ; \quad U = U\text{-verdi}$$

Rom med varmetap gjennom vegger, vinduer, gulv, tak:

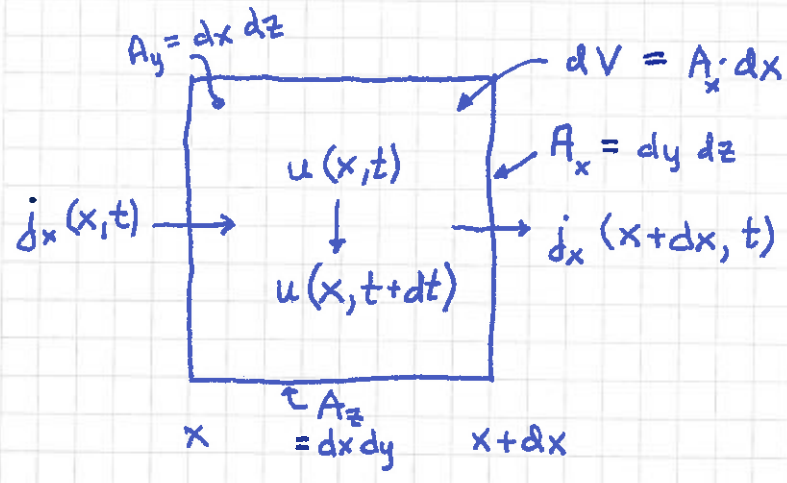
Analogt med parallellkobling av konduktanser;

$$j = \sum_i j_i = \left( \sum_i U_i \right) \Delta T = U \Delta T$$

# Varmeledning ligningen

Generelt avhenger temperaturen av rom og tid:  $T = T(\vec{r}, t)$

Energibevarelse gir kontinuitetsligning, som kombinert med Fouriers lov gir varmeledning ligningen for  $T(\vec{r}, t)$ .



$u$  = energi pr  
volumenhet

$U = u dV$  = energi  
i volum  $dV = A_x dx$

Endring i  $U$  mellom  $t$  og  $t+dt$ :

$$dU = [u(x, t+dt) - u(x, t)] \cdot dV$$

$$= \frac{\partial u}{\partial t} \cdot dt \cdot A_x \cdot dx = \frac{\partial u}{\partial t} \cdot dV \cdot dt$$

Skyldes netto innstrømming av energi:

$$dU = [j_x(x, t) - j_x(x+dx, t)] \cdot A_x \cdot dt$$

$$= - \frac{\partial j_x}{\partial x} \cdot dx \cdot A_x \cdot dt$$

Bidrag fra netto innstrømming i  $y$ - og  $z$ -retning:

$$\left( - \frac{\partial j_y}{\partial y} dy A_y - \frac{\partial j_z}{\partial z} dz A_z \right) dt$$

Total netto tilført energi mellom  $t$  og  $t+dt$ :

$$- \nabla \cdot \vec{j} \cdot dV \cdot dt ; \quad \nabla \cdot \vec{j} = \frac{\partial j_x}{\partial x} + \frac{\partial j_y}{\partial y} + \frac{\partial j_z}{\partial z} \quad (= \text{div } \vec{j})$$

Dermed:  $\frac{\partial u}{\partial t} + \nabla \cdot \vec{j} = 0$  Kont. lign. for energi

For et fast (lite) volum  $V$ :

(116)

$$G_V = \frac{dU}{dT} = \frac{d(u \cdot V)}{dT} = V \frac{du}{dT}$$

$$\Rightarrow du = c \cdot dT \quad ; \quad c = \frac{G_V}{V} = \text{varmekap. pr vol.enhet}$$

$$\Rightarrow \frac{\partial u}{\partial t} = c \frac{\partial T}{\partial t}$$

$$\text{Fouriers lov gir: } \nabla \cdot \vec{j} = -\nabla \cdot (\kappa \nabla T)$$

For gitt materiale med  $\kappa = \text{konstant}$ :  $\nabla \cdot \vec{j} = -\kappa \nabla^2 T$   
(uniformt medium)

$$\text{der } \nabla^2 = \nabla \cdot \nabla = \frac{\partial^2}{\partial x^2} + \frac{\partial^2}{\partial y^2} + \frac{\partial^2}{\partial z^2} \quad (\text{Laplace-operator})$$

Dermed:

$$\boxed{\frac{\partial T}{\partial t} = D_T \nabla^2 T}$$

Varmeledning ligningen (Heat equation)

$$D_T = \kappa / c = \text{termisk diffusivitet} \quad (\text{m}^2/\text{s})$$

### 10.6 + 10.8 Ficks lov. Diffusjonsligningen [LHL 18.5]

Vi ser ikke på partikkeltransport pga trykkforskjellen.

[  $\nabla p \neq 0 \Rightarrow$  strømning / vind / konveksjon ]

Vi antar konstant  $p$ , dvs konstant total partikkeltetthet, men tettheten  $n(\vec{r}, t)$  for en gitt type partikler varierer.

Fenomenologisk som for varmetransport, med  $T \rightarrow n$ .

Erfaringsmessig er partikkelstrøm tettheten prop. med tetthetsreduksjon pr lengdeenhet:

(117)

$$\vec{j} = -D \nabla n$$

Ficks lov

$\vec{j}$  = (netto) antall partikler (av gitt type) gjennom flate, pr flate- og tidsenhet; enhet  $1/m^2 s$

$n$  = antall partikler (av gitt type) pr volumenhet, enhet  $1/m^3$

$D$  = diffusjonskonstanten, enhet  $m^2/s$

Partikkelbevarelse gir

$$\frac{\partial n}{\partial t} + \nabla \cdot \vec{j} = 0$$

kontinuitetsligning for partikkelantall

Dermed:

$$\frac{\partial n}{\partial t} = \nabla \cdot (D \nabla n) \quad (\text{generelt})$$

Med  $D = \text{konstant}$ :

$$\frac{\partial n}{\partial t} = D \nabla^2 n$$

Diffusjonsligningen

## Skalering

118

$\partial T / \partial t = D_T \nabla^2 T$   $\Rightarrow$  uendret ligning dersom alle lengder skaleres med faktor  $a$  og tida skaleres med faktor  $a^2$ :

$$\vec{R} = a \cdot \vec{r} \Rightarrow \nabla = a \cdot \nabla_R, \quad \nabla^2 = a^2 \nabla_R^2$$

$$\Rightarrow \frac{\partial T}{\partial t} = D_T a^2 \nabla_R^2 T \Rightarrow \frac{\partial T}{\partial (a^2 t)} = D_T \nabla_R^2 T$$

$$\Rightarrow \boxed{\frac{\partial T}{\partial \tau} = D_T \nabla_R^2 T} \quad (\tau = a^2 t)$$

➤ Dvs: Hvis en bestemt  $T$  oppnås i avstand  $r$  etter tid  $t$ , vil samme  $T$  oppnås i avstand  $R = a \cdot r$  etter tid  $\tau = a^2 \cdot t$ .

Eks: Koketid (dvs gitt  $T$  i midten) for poteter av ulik størrelse (men samme form); sving 12.

Må også gjelde for diffusjon, da ligningen ser likedan ut:  $\partial n / \partial t = D \nabla^2 n$

# Brownske bevegelser, virrrevandring ("random walk")

119

Med  $N$  molekyler i origo ved  $t=0$ ,

$$n(\vec{r}, 0) = N \cdot \delta(\vec{r}),$$

hva blir  $n(\vec{r}, t)$ ?

Fourier i rom + Laplace i tid (TMA4120) gir

$$n(\vec{r}, t) = N (4\pi Dt)^{-3/2} \exp(-r^2/4Dt) \quad (r^2 = x^2 + y^2 + z^2)$$

(Sjekk selv ved innsetting i  $\partial n / \partial t = D \nabla^2 n$ )

Hvor raskt sprer molekylene seg utover?

$$\langle r^2(t) \rangle = \frac{1}{N} \int r^2 n(r, t) d^3r$$

$$= (4\pi Dt)^{-3/2} \int_0^\infty r^2 e^{-r^2/4Dt} \cdot 4\pi r^2 dr$$

$$\int_0^\infty r^4 e^{-\alpha r^2} dr = \frac{1}{2} \int_{-\infty}^\infty r^4 e^{-\alpha r^2} dr = \frac{1}{2} \cdot \sqrt{\pi} \cdot \frac{1}{2} \cdot \frac{3}{2} \cdot \alpha^{-5/2}$$

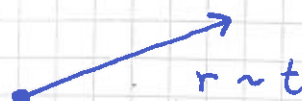
$$\Rightarrow \langle r^2(t) \rangle = (4\pi Dt)^{-3/2} \cdot 4\pi \cdot \frac{3\sqrt{\pi}}{8} \cdot (4Dt)^{5/2} = \underline{6Dt}$$

$$\Rightarrow \text{Midlere diffusjonslengde} : \sqrt{\langle r^2(t) \rangle} = \sqrt{6Dt} \sim t^{1/2}$$



Diffusjon

vs



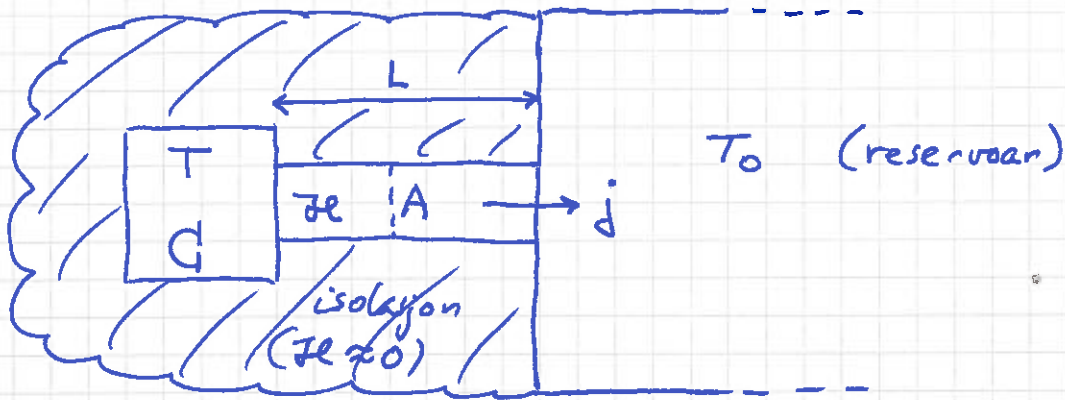
Beregelse uten kollisjoner

Eks: Luft,  $0^\circ\text{C}$ , 1 atm :  $D = 1.85 \cdot 10^{-5} \text{ m}^2/\text{s}$

$$\Rightarrow \sqrt{\langle r^2(1\text{s}) \rangle} \approx 1 \text{ cm}, \quad \sqrt{\langle r^2(1\text{time}) \rangle} \approx 63 \text{ cm}$$

Brownske bevegelser: F.eks. pollenkorn i vann; synlig i mikroskop.

# Newton's arkjølingslov



Hvordan arkjøles det endelige systemet (med varmekap.  $C$ ) via varmelederen med lengde  $L$ , tverrsnitt  $A$ , varmeledningskoeffisient  $\kappa$ ?

Løsning:

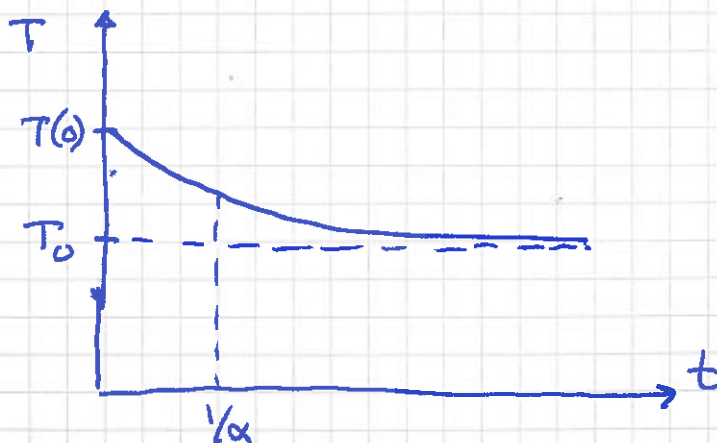
$$\text{Fouriers lov} \Rightarrow j = \kappa \cdot \frac{T - T_0}{L}$$

$$\text{Dessuten: } j = - \frac{dQ/dt}{A} = - \frac{C dT/dt}{A}$$

$$\Rightarrow \frac{dT}{dt} = - \frac{\kappa \cdot A}{C \cdot L} \cdot (T - T_0)$$

$$\Rightarrow \frac{dT}{T - T_0} = - \alpha dt \quad (\alpha = \kappa A / CL)$$

$$\Rightarrow \underline{T(t) = T_0 + [T(0) - T_0] e^{-\alpha t}}$$



Se også øving 12, om fjernvarmeanlegg.

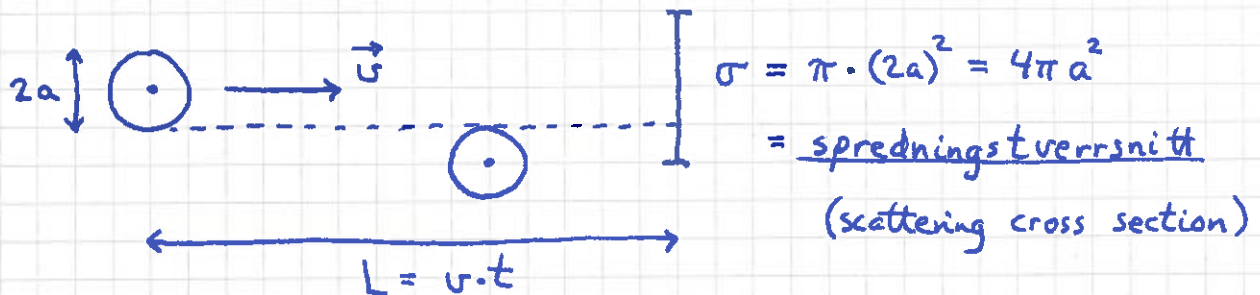
07.04.14

## 10.1 Midlere fri veilengde [LHL 14.4]

121

$\lambda$  = midlere avstand tilbakelagt av gitt molekyl mellom to kollisjoner ("mean free path")

Modell: Harde kuler, radius  $a$



Kula kolliderer med kuler med sentrum i sylinder med volum  $V_t = L \cdot \sigma = v t \sigma$  i løpet av tiden  $t$ .

Midlere antall partikler i  $V_t$ :

$$\frac{N_t}{N} = \frac{V_t}{V} \Rightarrow N_t = \frac{N}{V} \cdot V_t = n \sigma v t \quad (n = N/V)$$

Gir kollisjonsfrekvens  $N_t/t = n \sigma v$ , dvs midlere kollisjonsfrekvens  $n \sigma \langle v \rangle$ , dvs midlere tid mellom kollisjoner ("collision time")

$$\tau = \frac{1}{n \sigma \langle v \rangle}$$

og dermed en midlere fri veilengde

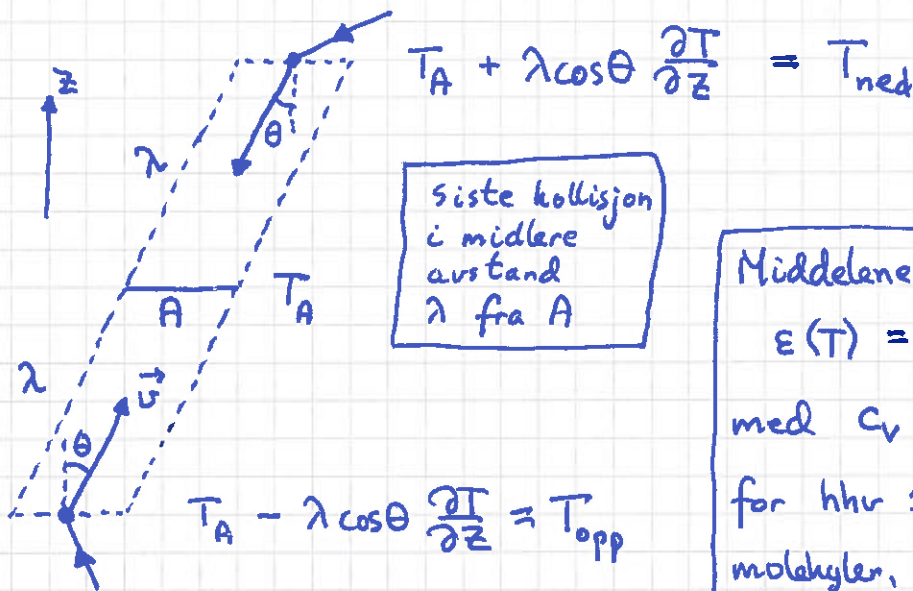
$$\lambda = \langle v \rangle \tau = \frac{1}{n \sigma}$$

Alle partiklene beveger seg  $\Rightarrow$  bør bruke midlere relativ fart  $\langle u \rangle = \langle |\vec{u}| \rangle = \langle |\vec{v}_1 - \vec{v}_2| \rangle = \dots$  se boka  $\dots = \sqrt{2} \langle v \rangle$ , som gir  $\tau = 1/(\sqrt{2} n \sigma \langle v \rangle)$  og  $\lambda = 1/(\sqrt{2} n \sigma)$ .

Eks: Luft, normale betingelser;  $a \approx 1.5 \text{ \AA}$ ,  $n = p/kT = 2.5 \cdot 10^{25} \text{ m}^{-3}$   
 $\sigma = 4\pi a^2 = 2.8 \cdot 10^{-19} \text{ m}^2 \Rightarrow \lambda = (\sqrt{2} n \sigma)^{-1} \approx 10^{-7} \text{ m} = \underline{1000 \text{ \AA}}$

# 10.5 Varmeledningsevne for gasser [LHL 14.5]

Bruker kinetisk gasteori til å beregne  $\kappa$  i Fourniers lov.  
 Antar  $T = T(z)$  og regner ut varmestromtetheten  $j_z$ .



Netto bidrag til varmestrom gjennom A pr flate- og tidsenhet fra molekyler med hastighet i  $\pm (\vec{v}, \vec{v} + d\vec{v})$ :

$$\begin{aligned}
 dj_z &= \frac{E_{opp} dN}{A dt} - \frac{E_{ned} dN}{A dt} \\
 &= (E_{opp} - E_{ned}) \frac{n A dz \cdot F(v) d^3v}{A dt} \quad (n = N/V = \text{part.tetthet}) \\
 &= c_v (T_{opp} - T_{ned}) \cdot n v_z F(v) d^3v \\
 &= -c_v \cdot 2\lambda \cos\theta \frac{\partial T}{\partial z} \cdot n v \cos\theta F(v) v^2 dv \sin\theta d\theta d\phi
 \end{aligned}$$

⇒ Total varmestromtethet:

$$\begin{aligned}
 j_z &= \int dj_z = -2c_v \lambda \frac{\partial T}{\partial z} n \int_0^{2\pi} d\phi \int_0^{\pi/2} \cos^2\theta \sin\theta d\theta \int_0^\infty v F(v) v^2 dv \\
 &= -\frac{1}{3} n \lambda c_v \langle v \rangle \frac{\partial T}{\partial z}
 \end{aligned}$$

Med  $\lambda = (\sqrt{2} n \sigma)^{-1}$  og  $\langle v \rangle = \sqrt{8kT/\pi m}$  :

(123)

$$\kappa = \frac{2}{3} \frac{c_v}{\sigma} \sqrt{\frac{kT}{\pi m}}$$

- Merk:
- $\kappa$  uavh. av  $n$ , dvs uavh. av trykket  $p$
  - bryter sammen når  $\lambda \sim L =$  systemets lineære utstrekning (Knudsen-området); da blir  $\kappa \sim n$

### 10.7 Diffusjonskonstant for gasser

Med varierende tetthet av en gitt type partikler,  $\tilde{n} = \tilde{n}(z)$ , kan netto partikkelstrøm (av denne typen!) pr flate- og fidsenhet beregnes, på tilsvarende vis:

$$\frac{d\tilde{N}}{A \cdot dt} = \underbrace{-\frac{1}{3} \lambda \langle v \rangle}_{=D} \frac{\partial \tilde{n}}{\partial z}$$

(Ficks lov)

Med  $\lambda$  og  $\langle v \rangle$  som ovenfor:

$$D = \frac{2}{3n\sigma} \sqrt{\frac{kT}{\pi m}} \quad (\text{Med } n = \text{total partikletetthet})$$

Teori vs eksperiment:

Luft, 20°C, 1 atm:  $\kappa = 0.026 \text{ W/m}\cdot\text{K}$ ,  $D \approx 2 \cdot 10^{-5} \text{ m}^2/\text{s}$   
(luft) (O<sub>2</sub> i luft)

Kinetisk teori:  $\kappa = (2 \cdot \frac{5}{2} \cdot 1.38 \cdot 10^{-23} / 7.4\pi \cdot (1.5 \cdot 10^{-10})^2) \cdot \sqrt{\frac{1.38 \cdot 10^{-23} \cdot 293}{\pi \cdot 29 \cdot 1.66 \cdot 10^{-27}}}$   
 $\approx 0.014 \text{ W/m}\cdot\text{K}$   
 $D \approx \dots = 1.5 \cdot 10^{-5} \text{ m}^2/\text{s}$  } Ikke så verst!

Vi noterer oss til slutt at  $\kappa/D = n \cdot c_v$  med kinetisk teori.